## HEITZMANN-ZUCKERKANDI



# ANATOMISCHER ATLAS.





3 A.99

22

.

¥-

#### HEITZMANN-ZUCKERKANDL.

## ATLAS

DER

## DESCRIPTIVEN ANATOMIE DES MENSCHEN.

NEUNTE AUFLAGE.



DR CARL HEITZMANN.

# ATLAS

DER

#### DESCRIPTIVEN

## ANATOMIE DES MENSCHEN.

NEUNTE, VOLLSTÄNDIG UMGEARBEITETE AUFLAGE.

HERAUSGEGEBEN VON

#### DR. E. ZUCKERKANDL,

K. K. HOFRAT, PROFESSOR DER ANATOMIE AN DER K. K. UNIVERSITÄT WIEN.

ERSTER BAND: KNOCHEN, GELENKE, BÄNDER, MUSKELN.

MIT 343 ZUMEIST FÄRBIGEN ABBILDUNGEN.



#### WIEN UND LEIPZIG. WILHELM BRAUMÜLLER

K. U. K. HOF- UND UNIVERSITÄTS-BUCHHÄNDLER.

1902.

(Alle Rechte, auch das der Übersetzung, vorbehalten.)

MAY 6 1918

LIBRARY

#### VORWORT.

Es war für mich kein leichter Entschluß, der ehrenvollen Aufforderung, die neue Auflage dieses Werkes zu besorgen. Folge zu leisten. Es ist nämlich eine weniger mühevolle Aufgabe. einen neuen Atlas herzustellen, als einen bereits bestehenden umzuarbeiten, da die Pietät für die Arbeit eines Anderen es nicht zuläßt, ganz und gar seinen eigenen Weg zu gehen. sondern eine bestimmte Marschroute vorschreibt. Dazu kommt noch, daß mich niemals die Lust anwandelte, einen Atlas der beschreibenden Anatomie herauszugeben. Die Freundschaft, die mich mit C. Heitzmann verband, veranlaßte mich aber, von dieser Absicht Abstand zu nehmen und so erscheine ich denn als Herausgeber des Heitzmannschen Atlas.

In Bezug auf die Auswahl der Abbildungen und der Art der Darstellung schien es notwendig, Veränderungen vorzunehmen. hinsichtlich der ich auf den vorliegenden Band verweise; hervorgehoben sei nur, daß die Colorierung des die Muskelfasern enthaltenden Abschnittes für diese Auflage von C. Heitzmann VI Vorwort.

selbst beabsichtigt war. Es gelangt hiedurch ein Wunsch des Dahingeschiedenen zur Ausführung.

Herrn Dr. J. Tandler, der mir bei der Bearbeitung dieses Werkes seine Unterstützung lieh, spreche ich an dieser Stelle meinen herzlichsten Dank aus.

WIEN, im August 1902.

E. ZUCKERKANDL.

## INHALT.

Figur	Seit
1.	Wirbelsäule, Columna vertebralis, von vorne
2.	Wirbelsäule, Columna vertebralis, von der Seite
	Mittlerer Brustwirbel, von der Seite
	Mittlerer Brustwirbel, von oben
	Mittlerer Halswirbel, von oben
6.	Erster Halswirbel, Atlas, von oben
	Zweiter Halswirbel. Epistropheus, von oben
	Zweiter Halswirbel, Epistropheus, von der Seite
	Siebenter Halswirbel, Vertebra prominens, von oben
10.	Erster Brustwirbel, Vertebra thoracalis I, von der Seite
11.	Zehnter, eilfter und zwölfter Brustwirbel, Vertebra thoracalis X, XI, XII, von der
	Seite
12.	Lendenwirbel, Vertebra lumbalis, von der Seite
13.	Kreuzbein, Os sacrum, von vorne
	Kreuzbein, Os sacrum, von hinten
	Sagittalschnitt durch das Kreuzbein
	Steißbein, Os coccygis, von vorne
17.	Steißbein, Os coccygis, von hinten
	Ein Halswirbel, ein oberer, ein mittlerer und ein unterer Brustwirbel. von oben
	gesehen
19.	Erster und vierter Lendenwirbel und erster Kreuzwirbel, von oben, in halber
	Naturgröße
20.	Horizontalschnitt durch einen Lendenwirbel
21.	Hintere Fläche eines Lendenwirbels nach Abtragung des Bogens 16
	Erster Halswirbel. Atlas, eines Kindes, von vorne
	Zweiter Halswirbel, Epistropheus, eines Kindes, von vorne
	Bildung eines Wirbels aus dem Körper und den zwei Bogen
	Fuge zwischen dem Körper und dem Bogen in der Seitenansicht
	Fuge zwischen dem Körper und den Bogen, von oben

VIII Inhalt.

Figur		Seite
27.	Zusammensetzung des Kreuzbeines aus den fünf Kreuzbeinwirbeln	19
	Linke Rippe, Costa vera, von oben gesehen	20
	Rechte Rippe, von unten gesehen	21
	Erste Rippe, von oben	22
	Zweite Rippe, von oben	23
32.	Collum und Capituleum costae, von hinten gesehen	$^{24}$
	Brustbein in Verbindung mit den Rippenbogen	25
	Brustbein, Sternum, von vorne	26
	Brustbein, im Profil mit der Incisurae costales	26
	Brustbein, Sternum, von hinten	26
	Brustbein eines jungen Individuums. Sagittalschnitt	27
	Brustbein eines alten Individuums, Sagittalschnitt	27
	Brustbeine von Neugeborenen	28
	Schädel, Vorderansicht	29
	Schädel, Seitenansicht	30
	Hinterhaupthein, Os occipitale, von innen	31
	Hinterhauptbein, Os occipitale, von außen	32
	Hinterhauptbein, Os occipitale, von unten	33
	Os interparietale	34
46.	Keilbein, Os sphenoidale, von oben	35
	Keilbein, Os sphenoidale, von vorne	36
	Keilbein, Os sphenoidale, eines jugendlichen Individuums, von hinten	37
		38
49.	Sinus sphenoidalis, von oben eröffnet	30
50.	Schädelbasis eines Hundes mit den vom Vomer abzweigenden Seitenplatten, die	90
	den Conchae sphenoidales des Menschen homolog sind	39
	Stirnbein, Os frontale, von vorne	40
	Stirnbein, Os frontale, von hinten und unten	41
	Lateraler Sagittalschnitt durch den Sinus frontalis	42
	Sinus frontalis, von vorne geöffnet	42
	Siebbein, Os ethmoidale, von oben, etwas vergrößert	43
	Siebbein, Os ethnoidale, von unten, etwas vergrößert	44
	Siebbein, Os ethmoidale, von außen, etwas vergrößert	45
	Siebbein mit Conchae sphenoidales, von unten	46
59.	Linkes Seitenwandbein, Os parietale, von außen	47
	Linkes Seitenwandbein, Os parietale, von innen	48
61.	Rechtes Schläfenbein, Os temporale, von außen	49
62.	Äußere Fläche der Felsenbeinpyramide nach Abnahme der Pars tympanica	50
63.	Rechtes Schläfenbein, Os temporale, von oben	51
64.	Rechtes Schläfenbein, Os temporale, von unten	52
65.	Rechtes Schläfenbein, Os temporale, von hinten	53
66.	Rechtes Schläfenbein eines Neugeborenen, von oben gesehen	54
67.	Rechtes Schläfenbein eines Neugeborenen mit dem Annulus tympanicus	54
68.	Schuppe und Annulus tympanicus, von innen gesehen	55
	Rechtes Schläfenbein eines zweijährigen Kindes, von unten gesehen	56
	Rechte Hälfte der inneren Schädelbasis, Basis cranii interna, von oben	57
	Innere Schädelbasis, Basis cranii interna, der rechten Seite mit der das Foramen	
	lacerum ansfüllenden Fibrocartilago basalis	5.8

Inhalt. 4X

Figur	ein
72.	Rechte Hälfte der äußeren Schädelbasis, Basis cranii externa, nach Entfernung
	des Oberkiefergerüstes
73.	Äußere Schädelbasis, Basis cranii externa, eines Kindes sammt Oberkiefergerüste 60
74.	Rechte Hälfte des Schädeldaches, Calvaria, von innen
75.	Linkes Oberkieferbein, Maxilla, von außen
76.	Linkos Oberkieferbein, Maxilla, von innen
77.	Gaumen- und Alveolarfortsätze der Oberkieferbeine, von unten
	Harter Gaumen, Palatum durum, eines Kindes mit erhaltener Sutura incisica 65
79.	Harter Gaumen eines Hundes mit der Zwischenkiefernaht
80.	Gesichtsschädel eines Hundes mit dem Gesichtsteil der Zwischenkiefernaht
	Rechtes Gaumenbein, Os palatinum, von innen
	Rechtes Gaumenbein, Os palatinum, von hinten
	Rechtes Gaumenbein, Os palatinum, von außen
	Nasenbeine, Os nasule, von außen
	Linkes Nasenbein, Os nasale, von innen
	Oberkiefergerüst mit knorpeligem Nasenskelet
	Oberkiefergerüst mit knorpeligem Nasenskelet, von unten gesehen
	Linkes Thränenbein, Os lacrimale, von außen (vergrößert)
	Linkes Thränenbein, Os taerimale, von auben (vergrößert)
	, , , , , , , , , , , , , , , , , , , ,
	Linke untere Nasenmuschel, Concha nasalis inferior (vergrößert). Laterale Seite 75
	Pflugscharbein, Vomer. Laterale Ansicht
	Jochbein, Os zygomaticum, von außen
	Jochbein, Os zygomaticum, von innen
	Unterkiefer, Mandibula, von außen
	Unterkiefer, Mandibula, von innen
	Körper des Unterkiefers mit den Zahnalveolen
	Wände der rechten knöchernen Orbita
	Frontalschnitt durch die Nasen- und Augenhöhlen
	Rechte Augen- und Kieferhöhle und die Siebbeinzellen, von außen
101.	Rechtes Oberkiefergerüste mit der Fossa pterygopalatina
102.	Linke äußere Wand der Nasenhöhle mit den Nasenmuscheln
103.	Äußere Wand der Nasenhöhle nach Entfernung der mittleren Nasenmuschel und
	eines Teiles der unteren
104.	Laterale Wand der Nasenhöhle nach Abtragung der Muscheln und der Siebbein-
	zellen
105.	Horizontalschnitt durch die Nasenhöhle, nahe der Lamina cribrosa, von unten
100	gesehen
106.	Sagittalschnitt durch die Nasenhöhle links von der Mittelebene. Knöcherne Nasen-
- 0 =	scheidewand
	Nasenscheidewand, Septum nasi
108	Sagittalschnitt durch die Schädelbasis eines Neugeborenen mit der Synchondrosis
	intersphenoidalis und sphenooccipitalis
	Fontanellen des Schädeldaches
	Seitenfontanellen
	Os occipitale eines Neugeborenen mit den seitlichen Anteilen der Sutura occipi-
	talis transvensa

X Inhalt.

Figur	Seite
112. Hintere Ansicht eines Schädels mit Nahtknochen in der Sutura sagittalis und	
lambdoidea	92
113. Zungenbein von vorne	93
113 a. Zungenbein von vorne mit teilweise verknöchertem Lig. stylohyoideum	93
114. Zungenbeinapparat der rechten Seite	95
115. Paukenhöhle und Unterkiefer eines Fötus	96
116. Rechtes Schlüsselbein, Clavicula, von vorne	97
117. Rechtes Schlüsselbein, Clavicula, von unten	97
118. Linkes Schulterblatt, Scapula, von vorne	98
119. Linkes Schulterblatt, Scapula, von hinten	99
120. Linkes Schulterblatt, Scapula, vom axillaren Rande her gesehen	100
121. Epiphysen der linken Scapula eines 17jährigen Individuums	101
122. Rechtes Oberarmbein, Humerus, von vorne	102
123. Rechtes Oberarmbein, Humerus, von hinten	103
124. Linkes distales Humerus-Ende einer Katze mit dem Canalis supracondyloideus .	104
125. Linkes distales Ende eines menschlichen Humerus mit Proc. supracondyloideus	105
126. Epiphysen des linken Humerus eines 17jährigen Individuums	106
127. Rechte Ulna, von vorne	107
128. Rechte Ulna, von hinten	107
129. Epiphysen der linken Ulna eines 17jährigen Individuums	108
130. Rechte Speiche, Radius, von vorne	109
131. Rechte Speiche, Radius, von hinten	109
132. Epiphysen des linken Radius eines 17jährigen Individuums	110
133. Linkes Handskelet, volare Ansicht	111
134. Linkes Handskelet, dorsale Ansicht	112
135. Carpus der rechten Seite mit einem Ossiculum centrale. Dorsale Ansicht	
136. Knochen der rechten Handwurzel, Ossa carpi, von der Dorsalseite	114
137. Knochen der rechten Handwurzel, Ossa carpi, von der Volarseite	115
138—144. Handwurzelknochen der proximalen Reihe	116
145-152. Handwurzelknochen der distalen Reihe	117
153—162. Mittelhandknochen der rechten Hand	118
163. Mittelhandknochen, Os metacarpale. Phalangen des rechten Mittelfingers	119
164. Epiphysen des Os metacarpale und der Phalangen des Zeigefingers bei einem	110
17jährigen Individuum	119
165. Das rechte Hüftbein, Os coxae, von außen	120
	122
166. Das rechte Hüftbein, Os coxae, von innen	122
	124
physen	$\frac{124}{125}$
168. Das linke Oberschenkelbein, Femur, von vorne	
169. Das linke Oberschenkelbein, Femur, von hinten	126
170. Condylen und Facies patellaris des Oberschenkelbeines	127
171. Rechter Femur eines 17jährigen Individuums mit Epiphysen, von hinten	127
172. Rechte Kniescheibe, Patella, von vorne	128
173. Rechte Kniescheibe, Patella, von hinten	128
174. Linkes Schienbein, Tibia, von vorne	129
175. Linkes Schienbein, Tibia, von hinten	130
176. Condylen des rechten Schienbeines, von oben	131

Inhalt, X1

Figur		Suite
177.	Rechte Tibia eines 17jährigen Individuums mit Epiphysen, von vorne	131
178.	Linkes Wadenbein, Fibula, von außen	132
179.	Linkes Wadenbein, Fibula, von innen	132
180.	Rechte Fibula eines 17jährigen Individuums mit Epiphysen, von außen	132
181.	Skelet des linken Fußes, dorsale Ansicht	134
	Skelet des linken Fußes, plantare Ansicht	135
	Rechtes Sprungbein, Talus, von vorne und innen	136
	Rechtes Sprungbein, Talus, von außen	130
	Talus mit Os trigonum	137
	Rechtes Fersenbein, Culcaneus, von oben	138
	Rechtes Fersenbein, Calcaneus, eines 17jährigen Individuums mit der Epiphyse .	138
	Rechtes Kahnbein, Os naviculare pedis, von oben	139
	Rechtes Kahnbein, Os naviculare pedis, von vorne	139
	Die drei Keilbeine, Os cuneiforme primum, secundum et tertium der rechten Seite,	100
100.	von oben	139
101		
	Rechtes Würfelbein, Os cuboideum, von oben	140
	Rechtes Würfelbein, Os cuboideum, von unten	140
	Das erste rechte Keilbein, Os cuneiforme primum, von der Fibularseite	141
	Das zweite rechte Keilbein, Os cuneiforme secundum, von der Tibialseite	
	Das zweite rechte Keilbein, Os cuneiforme secundum, von der Fibularseite	
	Das dritte rechte Keilbein, Os cuneiforme tertium, von der Tibialseite	141
	Das dritte rechte Keilbein, Os cuneiforme tertium, von der Fibularseite	141
	-206. Mittelfussknochen, Ossa metatarsalia	
	Os metatarsale eines 17 jährigen Individuums mit der Epiphysis capituli	148
208.	Os metatarsale I. eines 17 jährigen Individuums mit der Epiphysis baseos	148
209.	Knochenkerne eines reifen Neugeborenen	144
210.	Vorderes langes Wirbelsäulenband, Ligamentum long. anterius	145
	Hinteres langes Wirbelsäulenband, Ligamentum long. posterius	145
212.	Baudscheibe, Fibrocartilago intervertebralis	146
	Zwischenbogenbänder, Ligamenta flava	147
214.	Zwischendornbänder, Ligamenta interspinalia	148
	Gelenke zwischen den hinteren Rippenenden und den Wirbeln, Articulationes capi-	
	tuli costac et costotransversariae, von unten	149
216.	Gelenke zwischen den hinteren Rippenenden und den Wirbeln, Articulationes capi-	
	tuli costae et costotransversariae, von vorne	150
217,	218. Gelenke zwischen den vorderen Rippenenden und dem Brustbeine, Articula-	
,	tiones costosternalis, von vorne (Fig. 217) und im Durchschnitte (Fig. 218)	151
219.	Gelenke zwischen den vorderen Rippenenden und dem Brustbeine, Articulationes	
	costosternalis, von vorne	152
220	Membrana atlantooccipitalis anterior	153
	Membrana a'lantooccipitalis posterior	154
	Bänder zwischen Epistropheus, Atlas und Hinterhauptknochen	155
	Bänder zwischen Epistropheus, Atlas und Hinterhauptknochen, vom Wirbelcanale	100
220.	aus gesehen	15G
991	Bänder zwischen Atlas und Epistropheus, von oben	157
	Das Ligamentum apicis dentis und die Ligamenta alaria, nach Abtragung des	101
	Vorderen Halbringes des Atlas	157
	VOLUCION TRADTINGES US AMAS	101

XII Inhalt.

Figur				Seite
226.	Kiefergelenk, Articulatio mandibularis, der rechten Seite			158
	Linkes Kiefergelenk, von innen			159
228.	Das Brustbein-Schlüsselbeingelenk, Articulatio sterno-clavicularis			160
229.	Rechtes Schlüsselbein-Schulterblattgelenk, Articulatio acromioclaricularis .			161
	Rechtes Schultergelenk, von innen			162
	Rechtes Schultergelenk, Articulatio humeri			163
	Horizontalschnitt durch die rechte Schulter in der Höhe des Tuberculu		naju	s 164
233.	Frontaler Schnitt durch die Schulter bei horizontal gestelltem Arme			165
	Gelenkfläche des linken Schulterblattes			165
	Linkes Ellbogengelenk, Articulatio cubiti, von vorne mit geschlossener Kap			166
	Linkes Ellbogengelenk, Articulatio cubiti, von vorne geöffnet			167
	Linkes Ellbogengelenk, Articulatio cubiti, von hinten geöffnet			168
	Das Ligamentum annulare, von oben	•		169
	Sagittalschnitt durch das Ellbogengelenk	•		170
	Volare Bänder des Handgelenkes	•		171
		•		172
	Volare Bänder des Handgelenkes	•		173
	Dorsale Bänder des Handgelenkes	٠		174
	Rechte Handwurzel- und Mittelhandgelenke am Horizontalschnitte			174
244.	Fingergelenke des vierten und fünften Fingers der rechten Hand, von de	rV	olar-	
2 4 5	seite	٠		175
	Männliches Becken mit Bändern, von oben	٠		176
	Männliches Becken mit Bändern, von unten			176
-	Weibliches Becken mit Bändern, von oben	٠	٠.	177
	Weibliches Becken mit Bändern, von unten			177
	Dorsale Bänder der Articulatio sacroiliaca			178
				179
251.	Das Krenzbein-Hüftgelenk, Articulatio sacroiliaca im Horizontaldurchschni-	tte		180
252.	Symphysis ossium pubis, im Frontalschnitte			181
253.	Symphysis ossium pubis, Horizontalschnitt			181
254.	Rechtes Hüftgelenk, Articulatio coxae, von vorne			182
255.	Bänder an der hinteren Seite des Hüftgelenkes			183
256.	Rechtes Hüftgelenk, Articulatio coxae, von vorne, geöffnet			184
257.	Synovialkapsel eines linken Kniegelenkes, von anßen			185
258.	Kniegelenk, von vorne			186
259.	Retinacula patellae, von innen			187
260.	Flügelbänder, Plicae alares, des rechten Kniegelenkes			188
	Kreuzbänder, Ligamenta cruciata, des rechten Kniegelenkes, von vorne.			189
	Hintere Wand der Kniegelenkskapsel			190
	Kreuzbänder, Ligamenta cruciata, des linken Kniegelenkes, von hinten .			191
	Die halbmondförmigen Zwischenscheiben, Menisci			192
	Horizontalschnitt durch das Kniegelenk in der Höhe der Condylen des			
	Oberschenkels			192
266.	Sprunggelenk, von vorne			193
267	Sprunggelenk, von hinten			193
	Dorsale Bänder der Fußgelenke	•		194
	Gelenke der Fußwurzelknochen, Articulationes intertarseae et tarsometatar.			
200.	Horizontalschnitte	,,,,,,,,,,,,,,,,,,,,,,,,,,,,,,,,,,,,,,,	, 111	195

Inhalt. XIII

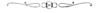
Figur	
270.	Die plantaren Bänder der Fußgelenke
271.	Die plantaren Bänder der Fußgelenke
	Zeheugelenke der vierten und fünften Zehe des rechten Fulies, von der Plantar-
	seite
273.	Sagittalschnitt durch den rechten Fuß
	Os sesamoideum mediale am Sagittalschnitt
	Fascia lumbodorsalis, M. serratus post, inf. und M. splenius capitis et cervicis 2
	Fascia lumbodorsalis und M. serratus posterior superior
	Die laugen Rückenmuskeln
	Die langen Rückenmuskeln und die M. leratores costarum
	II. multifidus und die kurzen Nackenmuskeln
	Die vorderen Bauchmuskeln, M. obliquus ext., M. rectus
	Die vorderen Bauchmuskeln, M. obliquus externus und internus
	Die vorderen Bauchmuskeln, M. transversus, Rectusscheide
	II. transversus abdominis et thoracis, von innen
	Querschnitte durch die vordere Bauchwand
	,
	Muskeln und Fascien der Kopfhaut und des Gesichtes
	Muskeln des Gesichtes
	Muskeln des Unterkiefers
	Muskeln des Unterkiefers (die Mm. pterygoidei), vou innen
	Muskeln des Unterkiefers (die Mm. pterygoidei), von außen
	Der Hautmuskel des Halses
	Die vorderen Halsmuskel, von der Seite
	Die Halsmuskeln
	Die tiefen Halsmuskeln
	Die Zungenmuskeln
	Fascien des Halses
	Die breiten Rückenmuskeln
299.	Mm. rhomboid., Levator scapulae
300.	M. pectoralis major
301.	M. pectoralis minor und M. serratus anterior
302.	M. deltoideus, M. supra- und infraspinatus
303.	Mm teres major, M. teres minor und Mm. supra- und infraspinatus
304.	M. biceps und M. coraco-brachialis
305.	M. brachialis
306.	M. triceps, von innen, und M. subscapularis
	M. triceps, von hinten, M. teres major, M. teres minor und die Achsellücken
	Vorderarmmuskeln an der Beugeseite (I. Schichte)
	Vorderarmmuskeln an der Beugeseite (II. Schichte)
	Vorderarmmuskeln an der Beugeseite (III. Schichte)
	Vorderarmmuskeln an der Beugeseite (IV. Schichte) und M. pronator teres
	Aponeurosis palmaris, M. palmaris brevis
	Muskeln des Daumens, des kleinen Fingers, M. lumbricales
	Muskeln des Daumens und des kleinen Fingers, Mm. interossei
	Muskeln an der Dorsalseite des Vorderarmes
OLU.	

XIV Inhalt.

Figur	Seite
316. Muskeln an der Dorsalseite des Vorderarmes	241
317. Muskeln der Radialseite	242
318. Sehnenscheiden der Fingerbeuger	
319. Sehnenscheiden der Strecker	245
320. Fascien der oberen Extremität	246
321. Fascien der oberen Extremität	247
322. Die äußeren Muskeln der Hüfte	248
323. Die hinteren Muskeln der Hüfte	249
324. Die hinteren Muskeln der Hüfte	250
325. Die vorderen Muskeln der Hüfte und des Oberschenkels	251
326. Die Adductoren, von vorne, M. iliopsoas	252
327. Die hintereu Muskeln des Oberschenkels	253
328. M. adductor magnus nach Entfernung der Beuger. Tiefe Muskeln des Hüftgelenkes	254
329. Muskeln an der vordereu und äußeren Seite des Unterschenkels	255
330. Muskeln und Sehnen am Fußrücken	256
331. Muskeln an der hinteren Seite des Unterschenkels	257
332. Muskeln an der hinteren Seite des Unterschenkels, M. soleus, M. plantaris, M. popliteus	258
333. Muskeln an der hinteren Seite des Unterschenkels, Zehenbeugemuskeln, M. popli-	
teus, M. tibialis post	259
334. Muskeln der Planta pedis, Zehenbeuger	260
335. Muskeln der Planta pedis, Zehenbeuger, Sehne des M. peronaeus longus, Muskeln	
des inneren und des äußeren Fußrandes	262
336. Sehneuverbindung der Zehenbeuger	264
337. Muskeln der Zehenballen	265
338. Muskeln der Zehenballen, Sehne des M. peronaeus longus	266
339. Mm. interossei, M. peronaeus longus	267
340. Fascia lata, Forea ovalis	268
341. Fascia cruris, von vorne und außen	269
	270
343. Aponeurosis plantaris	272

### I.

# KNOCHEN. GELENKE. BÄNDER. MUSKELN.





Massa laterali atlantis Inberentum caroticum X. Brustwirbel XII. Brustwirbel Os sacrum Promontorium Vertebrae cocchigene

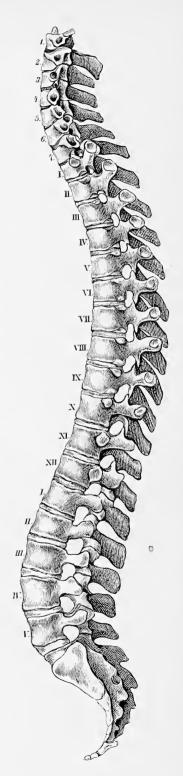
Fig. 1. Die Wirbelsäule, Columna vertebralis, von vorne.

Das Kreuzbein setzt sich in diesem Falle aus sechs, das Steissbein aus vier Wirbeln zusammen.

Fig. 2. Die Wirbelsäule, Columna vertebralis, von der Seite.

Die Wirbelsäule weist folgende constante Krümmungen auf: am Halstheile eine mässige Convexität nach vorne; am Brusttheile eine starke Convexität nach hinten; am Lendentheile eine starke Convexität nach vorne, und am Kreuz- und Steissbeine eine Convexität nach hinten. Der Beckentheil der Wirbelsäule setzt sich gegen den darüber liegenden Abschnitt zwischen dem fünften Lendenwirbel und dem Kreuzbein in Form einer scharfen Knickung ab. Diese Stelle führt den Namen Promontorium.

Die Vertheilung der Foveae costales und das Verhalten der Foramina intervertebralia ist zu beachten.



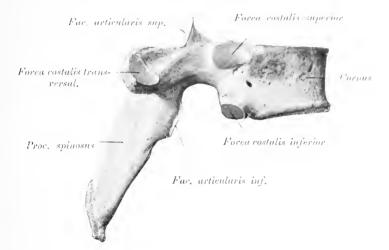


Fig. 3. Mittlerer Brustwirbel, von der Seite.

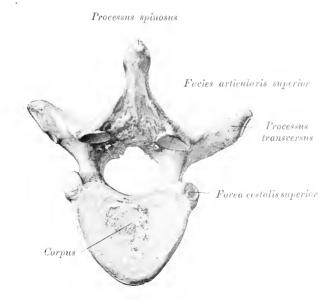


Fig. 4. Mittlerer Brustwirbel. von oben.

An einem typischen Wirbel unterscheidet man: 1. Den Wirbelkörper. Corpus vertebrae, mit der Fovea costalis superior und inferior; 2. den Wirbelbogen. Arcus vertebrae, mit der Incisura vertebralis superior und inferior: 3. die Gelenkfortsätze. Processus articulares superiores et inferiores, mit den Gelenkfacetten; 4. den Processus transversus mit der Fovea costalis transversalis und 5. den Processus spinosus.

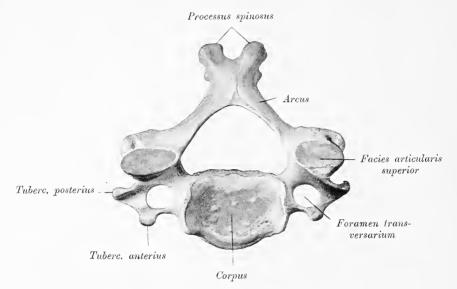


Fig. 5. Mittlerer Halswirbel, von oben.

Die Halswirbel haben querovale gesattelte niedere Wirbelkörper, einen durchlöcherten Querfortsatz, einen kurzen, flachen, gespaltenen *Processus spinosus* und schief nach hinten abdachende Gelenkfacetten. Das Rippenrudiment und der eigentliche Querfortsatz vereinigen sich und schliessen so das *Foramen transversarium* ab. Ersteres endet mit dem *Tuberculum anterius*, letzterer mit dem *Tuberculum posterius*.

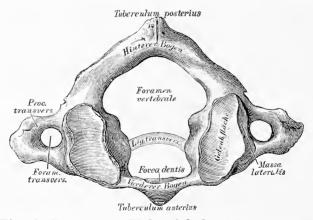


Fig. 6. Der erste Halswirbel, Atlas, von oben.

Der Atlas besteht aus einem vorderen und hinteren Bogen, deren Vereinigungsstellen die Massae laterales bilden; die Gelenkfortsätze lagern nahezu horizontal; die oberen sind ausgehöhlt, die unteren eben. Der Dornfortsatz ist rudimentär und bildet ein stumpfes Höckerchen, Tuberculum posterius; die vordere Bogenhälfte trägt das Tuberculum anterius. In der Mitte der Hinterfläche des vorderen Bogens liegt die Gelenkfläche für den Zahnfortsatz des zweiten Halswirbels, Forea dentis.

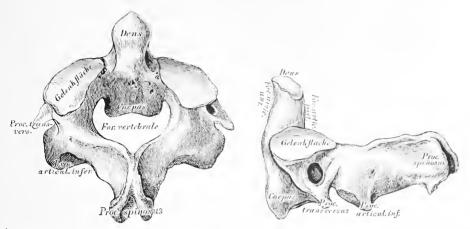


Fig. 7. Der zweite Halswirbel, Fig. 8. Der zweite Halswirbel, Epistropheus, von oben. Epistropheus, von der Seite.

Der Körper besitzt einen Fortsatz, den Zahn, *Dens*, dessen vordere Fläche eine Facette trägt. Nahe dem Zahne liegen die mehr horizontal gestellten oberen Gelenkflächen zur Verbindung mit dem Atlas; die unteren Gelenkflächen fallen schief nach hinten ab. Der Dornfortsatz ist stark gebaut.

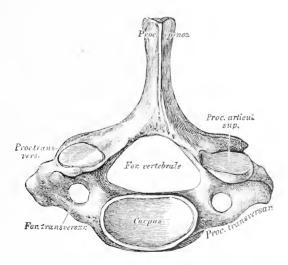


Fig. 9. Der siebente Halswirbel, Vertebra prominens, von oben.

Die Dornfortsätze des dritten bis siebenten Halswirbels nehn en nach unten an Länge zu. Die Zacken des sechsten Dornes sind verkürzt, der siebente Halswirbel hat den längsten, nicht gespaltenen Dorn. Der Processus transversus des sechsten Halswirbels ist charakterisiert durch das stark ausgebildete Tuberculum anterius (T. caroticum), welches umso stärker vorspringt, als am siebenten Halswirbel ein Tuberculum anterius nicht entwickelt ist.

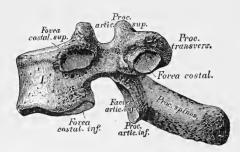


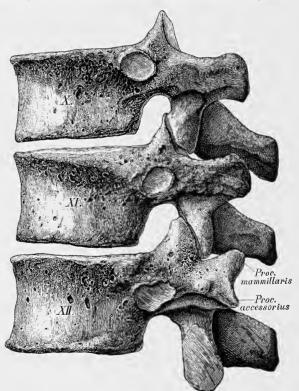
Fig. 10. Der erste Brustwirbel, Vertebra thoracalis I, von der Seite.

Der erste Brustwirbelkörper hat noch die Form eines Halswirbelkörpers, er trägt cranial eine grosse ganze Facette für die erste Rippe, caudal eine halbe für die zweite Rippe. Der zweite Brustwirbel hat cranial noch eine den Halswirbeln entsprechende Form, während er caudal schon assimiliert erscheint.

An den neun oberen Brustwirbeln bilden die randständigen Gelenkgrübchen der Nachbarwirbel mit den Bandscheiben die Foveae costales für die Rippenköpfchen. Das Foramen vertebrale kreisförmig; die Dornfortsätze lang, besonders an den mittleren Brustwirbelu. Die Querfortsätze haben nach vorne gerichtete, überknorpelte Gelenkflächen für die Tubercula costarum. Die Gelenkfortsätze sind senkrecht gestellt und tragen nahezu frontal gelagerte Facetten.

Die Körper der mittleren Brustwirbel sind, wie die Endflächen zeigen, stumpf dreieckig, ihre Dornfortsätze sind stark schief abwärts gerichtet. An den unteren Brustwirbeln ist der Körper grösser und mehr abgerundet; die Dorne sind kürzer, breiter und nicht steil gestellt.

Der zehnte Brustwirbel trägt an der Seite seines Körpers, am oberen Rande zumeist eine unvollkommene Gelenkfläche. durch die untere Gelenkfläche des Körpers des neunten Brustwirbels ergänzt wird. Der Körper des eilften und zwölften Brustwirbels trägt eine vollkommene, tiefer herabgerückte und dem Querfortsatze genäherte Fovea costalis; der Querfortsatz des zehnten Wirbels ist verkürzt, stark nach hinten geneigt und trägt in der Regel eine Fovea costalis, der des eilften Wirbels ist verkürzt und durch das Fehlen der Fovea costalis charakterisiert: der des zwölften ist noch kürzer und in den Proc. mammillaris und Proc. accessorius zerlegt: ferner sind seine unteren Gelenkfortsätze bereits, wie gestellt.



Gelenkfortsätze bereits, wie Fig. 11. Der zehnte, eilfte und zwölfte am Lendenwirbel, sagittal Brustwirbel, Vertebra thoracalis X, XI, XII. gestellt.

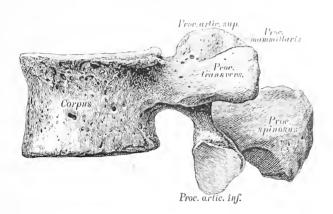


Fig. 12. Lendenwirbel, Vertebra lumbalis, von der Seite.

Der *Proc. transversus* des Lendenwirbel entspricht einem Rippenrudiment [*Proc. costarius*], während der eigentliche Querfortsatz in den *Proc. mammillaris* und accessorius aufgelöst ist.

Vom ersten bis fünften Lendenwirbel werden die Körper breiter und gehen in die querovale Form über, welche weiter unten, am fünften Lendenwirbel am deutlichsten ausgesprochen ist. Der Abstand der unteren Gelenkfortsätze nimmt in der Reihenfolge abwärts zu, so zwar, dass der von ihnen gebildete Winkel oben spitz, abwärts immer stumpfer wird. An dem letzten Lendenwirbel stehen die unteren Gelenkfortsätze fast so weit auseinander wie die oberen, wodurch der Winkel ausgeglichen erscheint.

Der Körper des fünften Lendenwirbels ist keilförmig, der Querfortsatz bildet einen stumpfen Zapfen und die kaum gewölbten unteren Gelenkfortsätze sind nach vorne gerichtet.

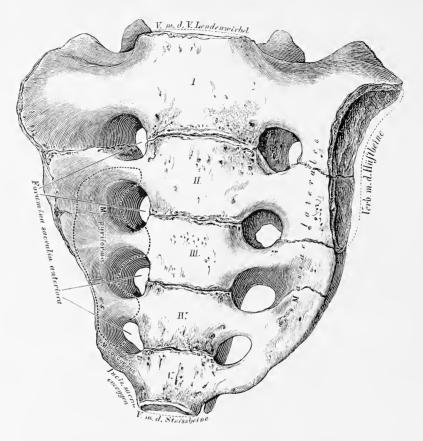


Fig. 13. Das Kreuzbein, Os sacrum, von vorne.

Das Kreuzbein besteht aus fünf unter einander verwachsenen Wirbeln. Man unterscheidet an demselben die Basis, eine vordere, Facies pelvina, und hintere Fläche, Facies dorsalis, und zwei Seitenflächen. Die Basis articuliert mit dem fünften Lendenwirbel. Die vordere Fläche ist concav, mit vier Paar Löchern versehen, Foramina sacralia anteriora; jedes Paar wird durch eine horizontale Leiste, Linea transversa, verbunden, welche die Contactflächen der fünf Wirbelkörper bezeichnen; nach aussen von denselben liegen die Partes laterales. Die nach unten sich nähernden Seitenflächen, die an ihren oberen Enden die Facies auricularis zur Verbindung mit den Hüftbeinen tragen, laufen in eine stumpfe Spitze aus, welche zur Verbindung mit dem Steissbeine dient, Apex oss. sacri.

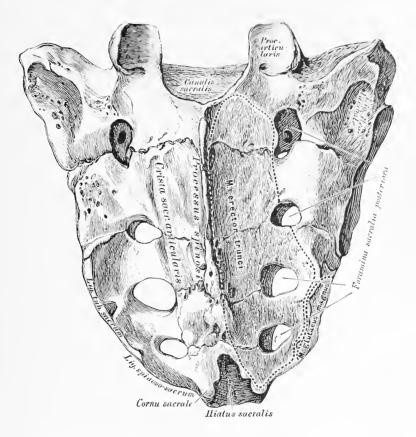


Fig. 14. Das Kreuzbein. Os sacrum. von hinten.

Hinter der Basis liegt der dreieckige Eingang zu dem das Kreuzbein durchbohrenden Canalis sacralis, eine Fortsetzung des Canalis vertebralis; zu beiden Seiten desselben ragen die oberen, nach hinten gerichteten Gelenkfortsätze des ersten Kreuzwirbels empor. Die hintere Fläche ist convex; an derselben verläuft die mittlere Kreuzbeinleiste, Crista sacralis media, entstanden aus der Verwachsung der Dornfortsätze; zu beiden Seiten sind die Cristae sacrales laterales entsprechend den verschmolzenen Proc. transversi. Zwischen der Crista med. und lat. die Crista articularis, aus der Verschmelzung der Gelenkfortsätze entstanden. Am unteren Ende der Crista sacralis media befindet sich die Endöffnung des Canalis sacralis, der Hiatus sacralis: seitlich davon stehen die Cornua sacralia, verkümmerte absteigende Gelenkfortsätze des fünften Kreuzbeinwirbels. Die hinteren Kreuzbeinlöcher, Foramina sacralia posteriora, sind kleiner und unregelmässiger als die vorderen.



Fig. 15. Sagittalschnitt durch das Kreuzbein.

Man sieht das Verhältnis der For. intervertebralia zu den For. sacralia anteriora und posteriora.



Fig. 16. Das Steissbein,
Os coccygis, von vorne.



Fig. 17. Das Steissbein.

Os coccygis, von hinten.

Das Steissbein besteht aus vier (sehr selten fünf) rudimentären Wirbeln. Der erste trägt die *Cornua coccygea*, rudimentäre, aufsteigende Gelenkfortsätze: ebenso verkümmerte *Processus transversi*. Zwischen den Hörnern liegt die Verbindungsstelle des Steissbeins mit der Spitze des Kreuzbeins. Den übrigen Steissbeinwirbeln fehlen auch diese Rudimente.

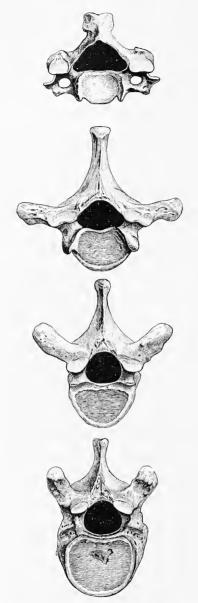


Fig. 18. Ein Halswirbel, ein oberer, ein mittlerer und ein unterer Brustwirbel, von oben gesehen.

Form der Wirbelkörper und Wirbellöcher im Hals- und Brustsegment. Der Wirbelkörper ist am Halse queroval, geht im Bereiche der oberen Brustwirbel in die stumpfdreieckige Form über. Der Wirbeleanal ist in der Halsregion relativ weit, dreieckig, in der Brustregion kreisrund.

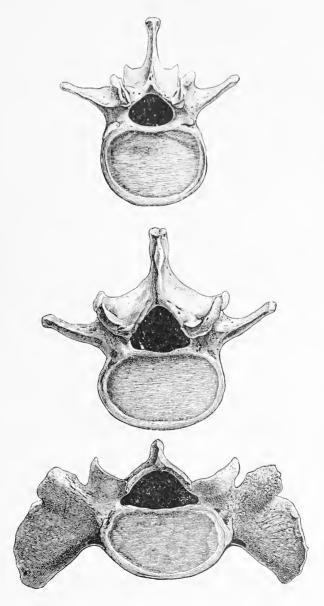


Fig. 19. Der erste, vierte Lendenwirbel und der erste Kreuzwirbel. von oben, in halber Naturgrösse.

Form der Wirbelkörper und Wirbellöcher im Lenden- und Kreuzsegment. Die Körper der Lendenwirbel sind queroval, der Wirbelcanal dreieckig.

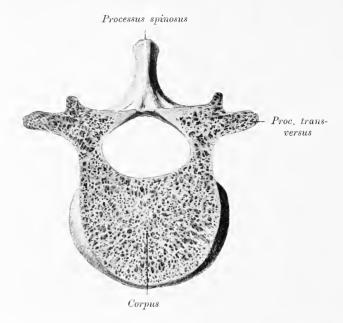


Fig. 20. Horizontalschnitt durch einen Lendenwirbel.

Man sieht die Vertheilung und Anordnung der Spongiosabälkehen und das Verhältnis zwischen Spongiosa und Corticalis.

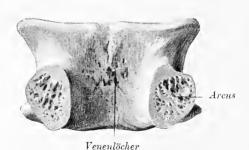


Fig. 21. Hintere Fläche eines Lendenwirbels nach Abtragung des Bogens.

Die genannte Fläche zeigt jederseits von der Mittelebene grosse Venenlücken.



Fig. 22. Der erste Halswirbel. Atlas, eines Kindes.

Die hinteren Bogenhülften und die Massae laterales des Atlas entstehen aus je einem symmetrischen Knochenkerne. In der knorpeligen Anlage des vorderen Bogens findet sich ein medianer, manchmal auch ein paariger Knochenkern, der im achten Lebensjahre mit den Massae laterales verwächst.

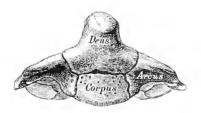
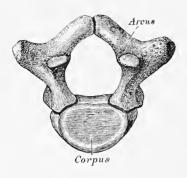


Fig. 23. Der zweite Halswirbel, Epistropheus. eines Kindes.

Der *Epistropheus* entwickelt sich aus vier Stücken: aus dem Körper, dem Zahnfortsatze und den zwei Bogenhälften. Der Zahnfortsatz geht aus dem Knochenkerne des Atlaskörpers hervor, der secundär mit dem Körper des *Epistropheus* verwächst.



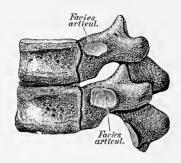


Fig. 24. Bildung eines Wirbels aus dem Körper und den zwei Bogen.

Fig. 25. Die Fuge zwischen dem Körper und dem Bogen in der Seitenansicht.

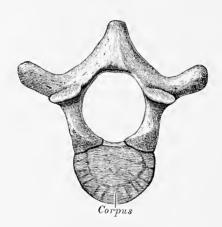


Fig. 26. Die Fuge zwischen dem Körper und den Bogen.

Alle wahren Wirbel, der erste und zweite Halswirbel ausgenommen, entwickeln sich aus 3 Stücken, dem Körper und den beiden Bogenhälften (Fig. 24). Die Bogenstücke verwachsen mit einander bald nach der Geburt (Fig. 26); später, im 3. Lebensjahre, die Bogenstücke mit dem Körper.

Die Fuge zwischen Körper und Bogen verläuft, wie die Seitenansicht (Fig. 25) lehrt, ventral von den Gelenkflächen für die Rippenköpfehen.

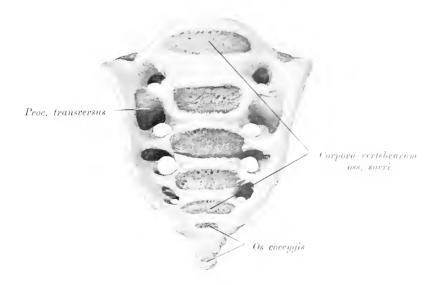


Fig. 27. Zusammensetzung des Kreuzbeines aus den fünf Kreuzbeinwirbeln.

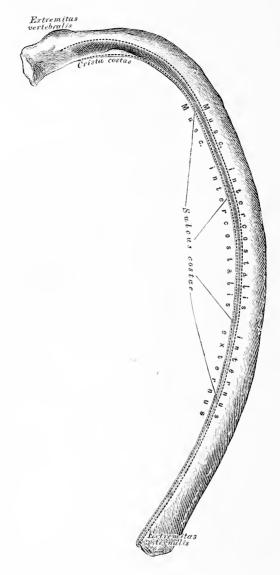


Fig. 28. Linke Rippe, Costa vera, von oben gesehen.

Jede Rippe besteht aus der knöchernen Spange und dem Rippenknorpel. Die Spange jeder typischen Rippe hat eine äussere convexe und eine innere concave Fläche, einen oberen abgerundeten und einen unteren mit einer Furche, Sulcus costae, versehenen Rand, welche sich besonders gegen das Vertebralende der Rippe zu vertieft. Das Vertebralende besitzt das überknorpelte Köpfchen, Capitulum, welches an Rippen, die mit zwei Wirbelgelenkflächen verbunden sind, zwei durch die Crista capituli getrennte Facetten zeigt.

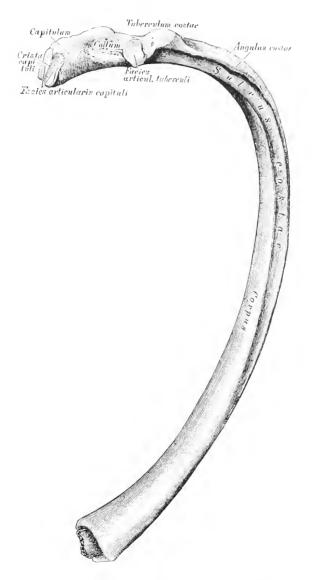


Fig. 29. Rechte Rippe. von unten gesehen.

Seitlich vom Capitulum befindet sich das Tuberculum costae und im Anschlusse an dasselbe die Facies articularis tuberculi für den Querfortsatz. Den zwischen Capitulum und Tuberculum befindlichen Theil nennt man Collum. Lateral vom Tuberculum wird der Rippenkörper von einem rauhen Muskelansatze. Angulus costae, gequert.

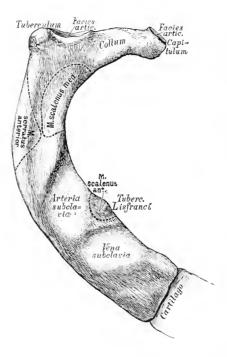


Fig. 30. Die erste Rippe. von oben.

Die erste Rippe ist kurz. stark nach der Kante gekrümmt: sie zeigt eine obere und eine untere Fläche, einen äusseren und einen inneren Rand. Dieselbe besitzt ein rundliches Köpfchen mit einer einzigen Gelenkfläche, wenn der erste Brustwirbel das entsprechende Gelenkgrübchen allein bildet; wenn hingegen das Gelenkgrübchen vom siebenten Hals- und ersten Brustwirbel gemeinsam hergestellt wird, ist auch die Gelenkfläche des Köpfchens eine doppelte. Am inneren Rande befindet sich ein Höcker, das Tuberculum scaleni Listranci; hinter diesem der Salcus für die Arteria subclavia; vor demselben eine Rinne für die Vena subclavia. Der Angulus costae fällt mit dem Tuberculum zusammen.

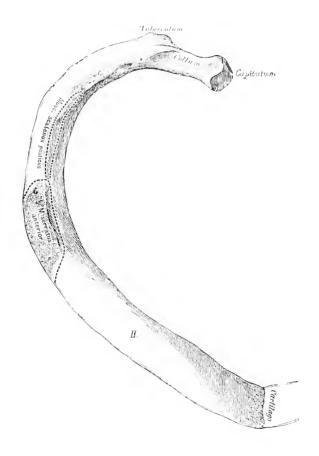


Fig. 31. Die zweite Rippe. von oben.

Die zweite Rippe ist gleichfalls kurz und stark gekrümmt. Der Angalas costat nahe dem Tuberculum stehend. Die zweite Rippe besitzt an ihrer Aussenfläche eine charakteristische Rauhigkeit, Tuberositas costae secundae. für den Ansatz des M. serratus anterior.

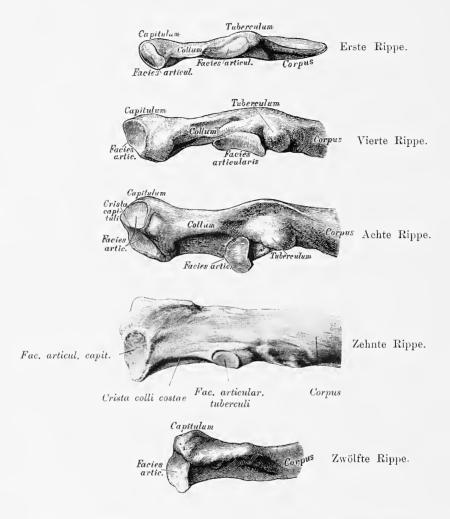


Fig. 32. Collum und Capitulum costae, von hinten gesehen.

An der zweiten bis vierten Rippe ist der Hals mehr cylindrisch, von der fünften an in der Reihe nach unten dagegen mehr prismatisch. An der siebenten bis zehnten Rippe trägt der obere Rand des Halses eine dentliche, aufwärts gerichtete Zacke. Die Anguli costales stehen an den oberen Rippen nahe dem Tuberculum; an den unteren in grösserer Entfernung von diesem. Die oberen zwei oder drei Rippen sind kurz und stark gebogen; die mittleren lang und weniger gekrümmt; die drei unteren sind kurz und flach. Die zehnte Rippe hat eine kleine kreisrunde Fac. articul. tuberculi und häufig nur eine einfache Gelenksfacette am Köpfchen, das plump ist.

Die elfte und zwölfte Rippe enden frei und sind unter allen Rippen am meisten beweglich; sie besitzen ein rundliches Köpfehen mit einer einfachen Gelenkfläche. Das Tuberculum costae fehlt beiden, die rauhe, den Angulus costae bildende Linie fehlt der zwölften Rippe. Ihre Knorpel sind kurz, rundlich und zugespitzt. Die zwölfte Rippe ist die

kürzeste von allen.

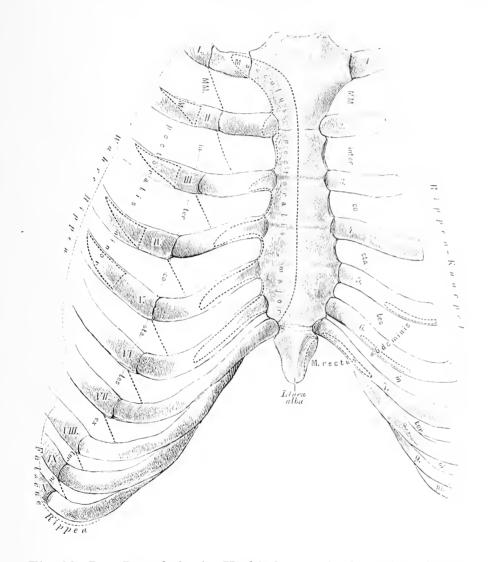
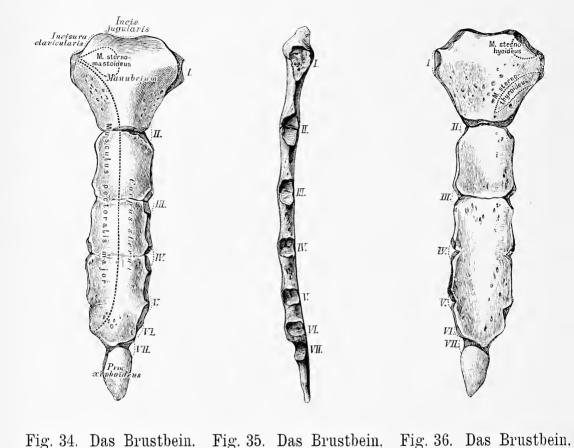


Fig. 33. Das Brustbein in Verbindung mit den Rippenbogen.

Das Brustbein ist an seinen Seitenrändern mit sieben Rippenknorpeln in Verbindung. Nur der erste Rippenknorpel geht unmittelbar in das Manubrium über: die übrigen Rippenknorpel sind mit dem Brustbeine zumeist gelenkig verbunden; die Gelenkgrübehen werden vom zweiten bis siebenten Rippenknorpel immer seichter. Der siebente Knorpel lagert sich in eine kleine, am Uebergange des Mittelstückes in den Schwertfortsatz befindliche Vertiefung.

Die Rippen, deren Knorpel das Brustbein erreicht, heissen wahre. Costae verae: die Rippen hingegen, deren Knorpel sich miteinander verbinden, oder welche frei, ohne Verbindung enden, heissen falsche, Costae spuriae. Wahre Rippen sind die oberen sieben Paare; falsche die unteren fünf Paare,

Sternum, von vorne.



Das Brustbein wird eingetheilt: in den Griff, Manubrium, das Mittelstück, Corpus, und den Schwertfortsatz, Processus xiphoideus.

im Profil mit den Incisurae

costales.

Sternum, von hinten.

Der obere Rand des Griffes bildet die *Incisura jugularis*, neben dieser sind die Gelenkflüchen für das Sternalende des Schlüsselbeins, *Incisurae claviculares*; der untere Rand ist mit dem Mittelstück vereinigt. Das Mittelstück ist aus der Verwachsung von drei oder vier Stücken entstanden. Der Schwertfortsatz erscheint entweder abgerundet oder zugespitzt, auch gespalten oder durchlöchert.

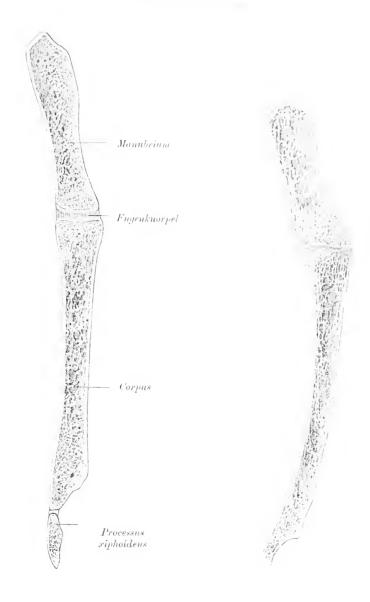


Fig. 37. Sagittalschnitt durch Fig. 38. Sagittalschnitt durch das Brustbein eines jungen das Brustbein eines alten Individuums.

Individuums.

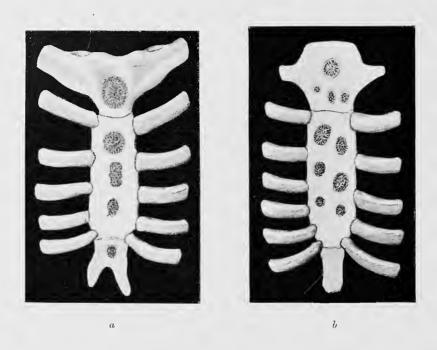


Fig. 39. Brustbeine von Neugeborenen.

Fig.  $39\,a$  mit unpaaren, Fig.  $39\,b$  mit mehreren Knochenkernen im Manubrium und paarigen Kernen im  $Corpus\ sterni.$ 

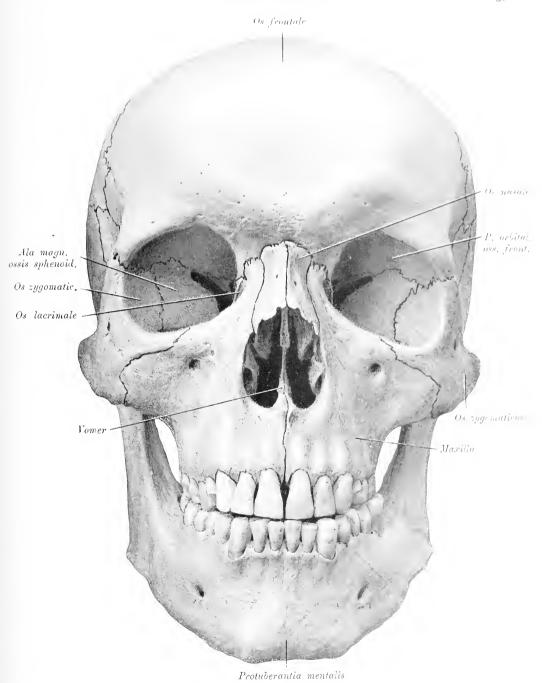


Fig. 40. Schädel. Vorderansicht.

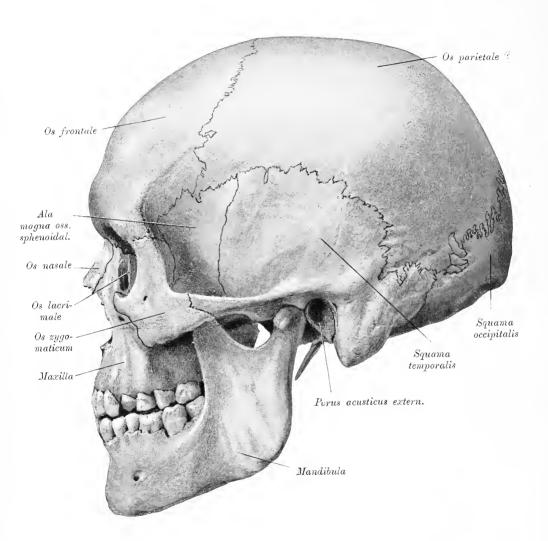


Fig. 41. Schädel, Seitenansicht.

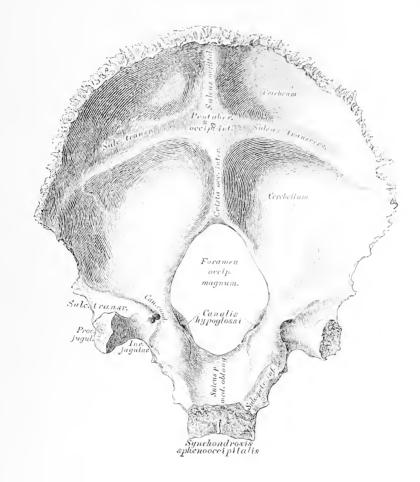


Fig. 42. Hinterhauptbein. Os occipitale. von innen.

Das Hinterhauptbein wird eingetheilt: 1. Grundtheil (Pars basilaris): 2. Schuppentheil (Squama occipitalis): 3. und 4. zwei Seitentheile (Partes laterales).

Grundtheil. Die obere Fläche bildet eine Rinne für die Medulla oblongata. Die vordere Fläche stösst an den Körper des Keilbeins. Synchondrosis sphenooccipitalis: die Seitenflächen sind mit den Schläfebeinpyramiden verbunden.

Schuppentheil. In der Mitte der vorderen Fläche die Protaberantia orcipitalis interna, als Mittelpunkt der Eminentia cruciata: die untere Hälfte des senkrechten Schenkels heisst Crista occipitalis interna für den Sinus occipitalis und die Fals correbelli); die obere Hälfte bildet den Sulcus sagittalis für den Sinus longitudinalis: die beiden Querschenkel begrenzen den Sulcus transversus für den Sinus transversus und Insertion des Tentorium cerebelli). In den beiden oberen Gruben liegen die Hinterlappen des Grosshirns, in den unteren die zwei Hemisphären des Kleinhirns.

Die Partes laterales tragen die Rinne, Salcus petros. int.. für den gleichnamigen Sinus.



Fig. 43. Hinterhauptbein, Os occipitale, von aussen.

Schuppentheil von aussen mit der Protuberantia occipitalis externa, die zum Foramen magnum die Crista occipitalis externa schickt; quer verlaufend beide Lineae nuchae inferiores et superiores (sämmtlich zur Insertion von Muskeln). Die Seitenränder haben ein oberes Segment, Margo lambdoideus, verbunden mit beiden Seitenwandbeinen, und ein unteres Segment, Margo mastoideus, verbunden mit dem Warzentheile des Schläfebeins.

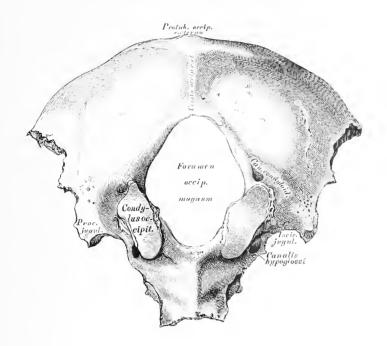


Fig. 44. Hinterhaupthein, Os occipitale, von unten.

Partes laterales. An der oberen Fläche (Fig. 42) das Tuberculum jagulare; an der unteren Fläche die beiden Condyli occipitales zur Gelenkverbindung mit dem ersten Halswirbel; hinter diesen die flachen Fossae condyloideae mit den Mündungen des inconstanten Canal. condyl. Dieser enthält ein Emmissarium Santorini. Vor dem Condyl. occipit. liegt der Canalis hypoglossi.

Der innere Rand der Gelenktheile bildet die seitliche Umrandung des Foramen occipitale magnum; der änssere Rand zeigt die Incisura jugularis, an deren hinteren Ende den Processus jugularis. Bei oberer Ansicht ist der Fortsatz von einer Furche für den Querblutleiter der harten Hirnhaut umgeben.

Das Hinterhauptbein ist mit 6 Knochen verbunden: mit den 2 Seitenwandbeinen, den 2 Schläfenbeinen, mit dem Keilbeine. und mit den ersten Halswirbel, Atlas (Gelenk.



Fig. 45. Os interparietale.

 ${\it Os~occipitale,~an~welchem~durch~eine~Naht,~Sutura~occipitalis~transversa,~das} \\ {\it Os~interparietale~von~der~\"ubrigen~Schuppe~abgetrennt~ist.}$ 

In der Pfeilnaht ein Nahtknochen.

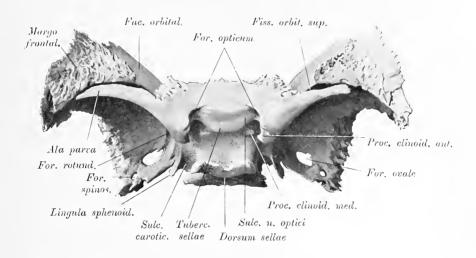


Fig. 46. Keilbein, Os sphenoidale, von oben.

Das Keilbein wird eingetheilt in: a) den Kürper; b) die kleinen Flügel, Alae parvae; c) die grossen Flügel, Alae magnae und d) die flügelartigen Fortsätze, Processus pterygoidei.

- a) Körper. An der oberen Fläche der Türkensattel, Sella turcica (für die Hypophysis cerebri); dessen hintere Wand die Sattellehne, Dorsum sellae, mit den Processus clinoidei posteriores. Die hintere Fläche der Sattellehne geht in die obere Fläche der Pars basilaris ossis occipitalis über Clivus. Vor der Sattelgrube das Tuberculum sellae; beiderseits von diesem die Proc. clinoid. medii. An den Seitenflächen des Körpers der Sulcus caroticus (für die Carotis) mit der Lingula sphenoidalis.
- b) Kleine Flügel. Jeder entspringt vom Körper mit 2 Wurzeln, zwischen diesen das Sehloch, Foramen opticum (für N. opticus und A. ophthalmica); die gegen die Sattellehne gerichteten Enden bilden die Processus clinoidei anteriores.
- c) Grosse Flügel, mit 3 Flächen, Facies cerebralis, orbitalis und temporalis. Die Schädelhöhlenfläche, mit der Furche für A. und V. meningea media. Am hinteren Rande ragt der Dorn, Spina angularis, vor. Das runde Loch, For. rotundum (für den 2. Ast des V. Nervenpaares); das ovale Loch, For. orale (für den 3. Ast des V. Nervenpaares); das Dornenloch, For. spinosum (für die Arteria meningea media). Die Ala magna, welche die laterale Orbitalwand bildet, wird von der Ala parva durch die Fissura orbitalis superior geschieden. (Nerv. III. IV. V/1. VI. Vena ophthalmica.) Die Temporalfläche, welche an der äusseren Schädelfläche liegt, zeigt an der Crista infratemporalis eine stumpfe Knickung.

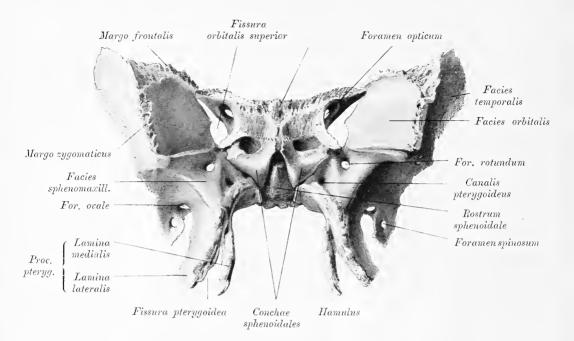


Fig. 47. Keilbein, Os sphenoidale, von vorne.

Körper. An der vorderen Fläche zwei unregelmässige Öffnungen, Aperturae sinuum sphenoidalium, welche in die Keilbeinhöhlen führen und nach unten durch die Conchae sphenoidales begrenzt sind. Zwischen beiden das Rostrum sphenoidale.

d) Die flügelartigen Fortsätze, Processus pterygoidei, bestehen aus zwei Platten, Lamina pterygoidea lateralis und medialis, welche die Fossa pterygoidea zwischen sich fassen; die innere endet mit dem Hamulus pterygoideus. Zwischen den Enden der beiden Lamellen die Fissura pterygoidea. An der Basis des Processus pterygoideus der horizontal verlaufende Canalis pterygoideus Vidii.

Die Conchae sphenoidales sind dreieckige Knochen, welche grösstentheils die vordere und untere Wand des Keilbeinkörpers bilden und die Öffnungen für die Sinus sphenoidales enthalten.

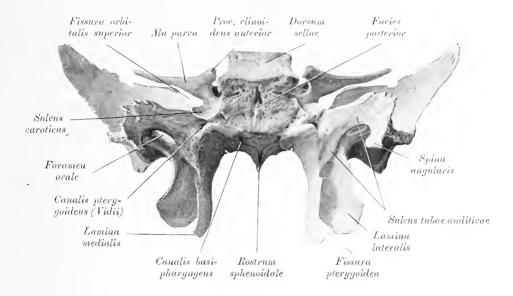


Fig. 48. Keilbein, Os sphenoidale, eines jugendlichen Individuums, von hinten.

Körper. Die hintere Fläche mit dem Basilarstück des Hinterhauptknochens nach dem 18. Lebensjahre verwachsen, vor demselben isolirt, wie im abgebildeten Falle.

Flügelartige Fortsätze: An der oberen Hälfte des hinteren Randes der inneren Lamelle der Sulcus tubae auditivae.

Das Keilbein ist mit sämmtlichen Schädelknochen und 5 Gesichtsknochen verbunden, nämlich mit den 2 Jochbeinen, 2 Gaumenbeinen und dem Vomer.

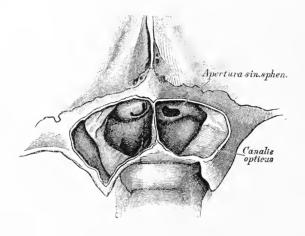


Fig. 49. Der Sinus sphenoidalis, von oben eröffnet.

An der Vorderwand die Apertura sinus sphenoidalis, seitlich der Vorsprung des Canalis opticus, zwischen beiden der geräumige Sinus.

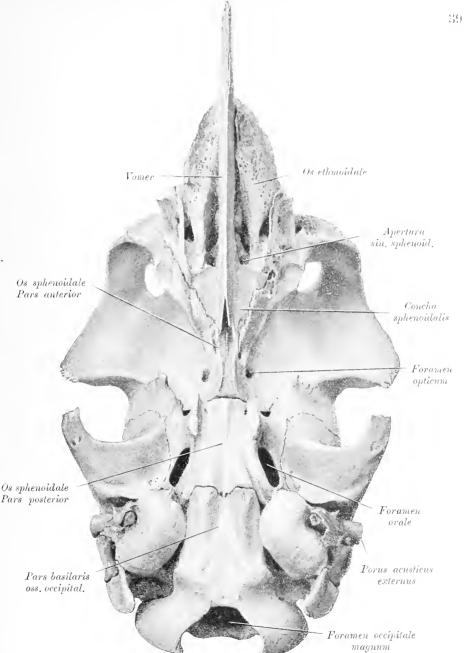


Fig. 50. Schädelbasis eines Hundes mit den vom Vomer abzweigenden Seitenplatten, die den Conchue sphenoidales des Menschen homolog sind.

Das Pflugscharbein trägt jederseits eine in der Abbildung als Concha sphenoidalis bezeichnete Platte, welche von unten her das Siebbein und die Keilbeinnische abschliesst. Indem diese Platten sich beim Menschen vom Vomer abtrennen, werden sie zu den Conchae sphenoidales.

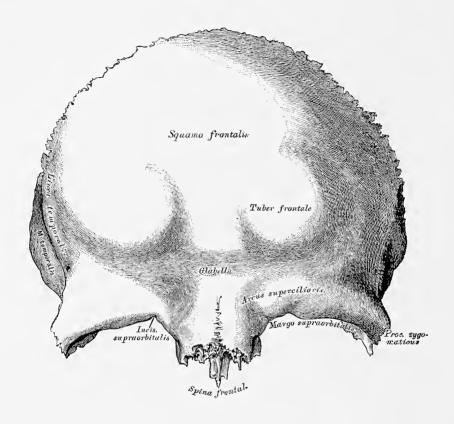


Fig. 51. Stirnbein, Os frontale, von vorne.

Das Stirnbein wird eingetheilt in: 1 Stirnbeinschuppe, Squama frontalis; 2 Augenhöhlentheile, Partes orbitales, und 1 Nasentheil, Pars nasalis.

Am Stirntheile die zwei oberen Augenhöhlenränder, Margines supraorbitales, am inneren Ende derselben die Incisura supraorbitalis (Foramen supraorbitale);
nach aussen der stumpfe Jochfortsatz, Processus zygomaticus. An der vorderen
Fläche des Stirntheiles die Augenbrauenbogen, Arcus superciliares, zwischen denselben die Stirnglatze, Glabella, über denselben die Stirnhügel, Tubera frontalia.
Vom Jochfortsatze zieht die Linea temporalis empor. Am Nasentheile ragt die Spina
frontalis hervor, über derselben befindet sich die tief gezähnte Verbindungsfläche für
die Ossa nasalia und die Stirnfortsätze der Oberkieferbeine.

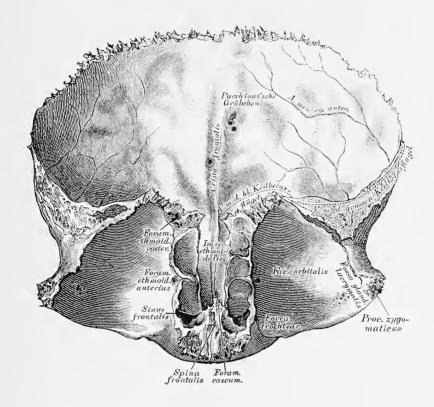


Fig. 52. Stirnbein, Os frontale, von hinten und unten.

Stirnbeinschuppe. Die hintere Fläche durch die *Crista frontalis* in 2 Hälften getheilt; zu beiden Seiten derselben *Pacchioni* sche Grübchen. Der Rand des Stirntheiles, *Margo coronalis*, beginnt hinter dem *Processus zygomaticus* mit einer dreieckigen, zackigen Fläche.

Die beiden Augenhöhlentheile werden durch den Siebbeinausschnitt, Incisura ethmoidalis, von einander getrennt; an der unteren Fläche gegen den Proc. zygomaticus die Thränendrüsengrube, Fossa glandulae lacrimalis; gegen den Nasentheil ein Grübchen, Fovea trochlearis, zuweilen der Hamulus trochlearis; für die Sehne des oberen schiefen Augenmuskels). Der innere Rand zerfällt in zwei Platten, von denen die äussere mit der Lamina papyracea, die innere mit der Lamina cribrosa in Contact steht. Zwischen den beiden Platten die Foveolae ethmoidales. Zwischen der äusseren Platte und der anstossenden Papierplatte des Siebbeins liegen das Foramen ethmoidale anterius und For. ethm. posterius; letzteres auch nur vom Stirnbeine gebildet. Am Nasentheile hinter der Spina frontalis das Foramen caecum.

Das Stirnbein ist mit 12 Knochen verbunden, mit den 2 Seitenwandbeinen, dem Keilbeine, dem Siebbeine, den 2 Nasenbeinen, den 2 Oberkieferbeinen, 2 Thränenbeinen und 2 Jochbeinen.

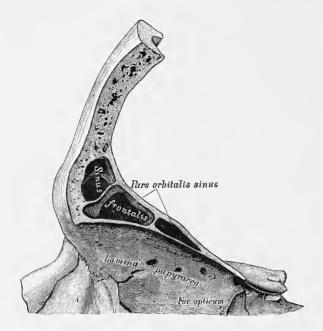


Fig. 53. Lateraler Sagittalschnitt durch den Sinus frontalis.

Der Hohlraum erstreckt sich weit in die Partes orbitales ossis frontalis hinein.

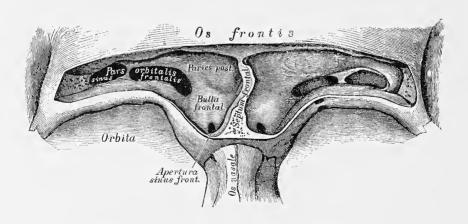


Fig. 54. Sinus frontales, von vorne geöffnet.

Die Bulla frontalis entspricht einer in den Sinus vorgewölbten vorderen Siebbeinzelle. Unterhalb derselben die Apertura sinus frontalis zur Communication mit der Nasenhöhle.

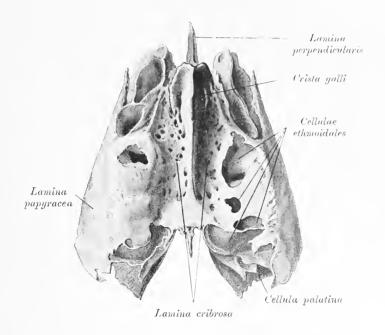


Fig. 55. Siebbein, Os ethmoidale, von oben, etwas vergrössert.

Das Siebbein, Os ethnoidale, wird eingetheilt in: 1. die Siebplatte, Lamina cribrosa; 2. die senkrechte Platte, Lamina perpendicularis; 3. die zelligen Seitentheile, die Siebbeinlabyrinthe.

Die Siebplatte, Fig. 55 und 56, wird durch die Crista ethmoidalis in 2 Hälften getheilt; dieselbe erhebt sich nach vorne zum Hahnenkamm, Crista galli. Die Siebplatte wird durch die Foramina cribrosa durchbohrt, seitlich von denselben befindet sich die Rinne für den Nervus ethmoidalis anterior. Von ihrer unteren Fläche steigt die senkrechte Platte herab, die den oberen Theil der knöchernen Nasenscheidewand bildet.

Das Labyrinth (Fig. 55, 56 und 57) wird eingetheilt in die Cellulae ethmoidales (vordere, mittlere und hintere), die nach aussen durch die Papierplatte, Lamina papyracea, geschlossen werden, nach innen unter den Siebbeinmuscheln, Conchae ethmoidales, mit der Nasenhöhle communicieren. Gewöhnlich sind drei Muscheln vor-

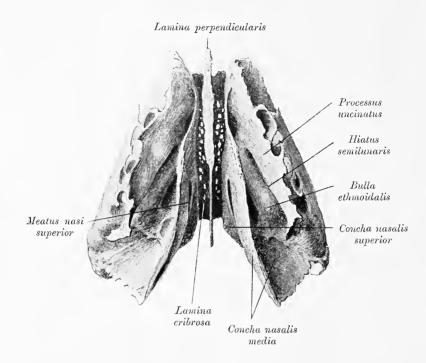


Fig. 56. Siebbein, Os ethmoidale, von unten, etwas vergrössert.

handen, von welchen die mittlere häufig variiert. Zwischen den Muscheln finden sich ein beziehungsweise zwei Siebbeinspalten (Fissurae ethmoidales). Der Proc. uncinatus überragt zwar die untere Muschel (Fig. 58), wird aber gleich der Bulla erst nach Entfernung der Concha ethmoidalis inf., Concha nasalis media seiner ganzen Länge nach sichtbar.

Zwischen Bulla und Proc. uncinatus der Hiatus semilunaris, in welchen das Ostium maxillare und O. frontale einmünden.

Die Cellulae ethnoidales lassen sich nach den Knochen, von denen sie gedeckt werden, in frontale, maxillare, lacrimale und palatinale eintheilen (Fig. 57).

Das Siebbein ist mit 15 Knochen verbunden; mit 4 Schädelknochen: dem Keilbeine, den 2 Conchae sphenoidales, dem Stirnbeine, und 11 Gesichtsknochen: den 2 Nasenbeinen, 2 Oberkieferbeinen, 2 Thränenbeinen, 2 Gaumenbeinen, 2 Nasenmuscheln und dem Pflugscharbeine.

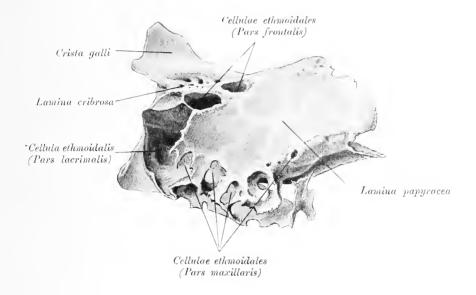


Fig. 57. Siebbein, Os ethmoidale, von aussen, etwas vergrössert.

Die Lamina papyracea grenzt das Siebbeinlabyrinth gegen die Orbita ab. Ein Theil der Siebbeinzellen wird erst durch die Anlagerung der benachbarten Knochen abgeschlossen, so oben durch das Os frontale, unten durch die Maxilla, vorne durch das Os lacrimale und hinten durch das Os palatinum.

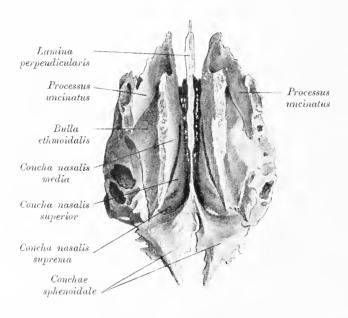


Fig. 58. Siebbein mit Conchae sphenoidales, von unten.

Die Conchae sphenoidales sind mit der Lamina perpendicularis ossis ethmoidalis verwachsen.

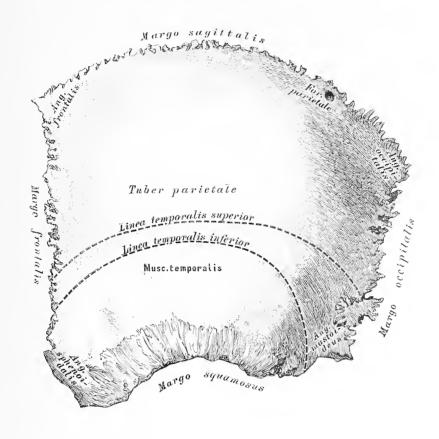


Fig. 59. Linkes Seitenwandbein, Os parietale, von aussen.

An der äusseren Fläche des Seitenwandbeines ragt in der Mitte der Scheitelhöcker, Tuber parietale, vor: sie wird oft durch die Linea temporalis inferior Muskelansatz) in 2 Hälften getheilt. Die Fascia temporalis erstreckt sich bis zur Linea temporalis superior.

Die 4 Ränder sind: der obere, Margo sagittalis, der untere, Margo squamosus; der vordere, Margo frontalis, und der hintere, Margo occipitalis.

Die 4 Winkel sind: der vordere obere. Angulus frontalis; der vordere untere, Angulus sphenoidalis; der hintere obere, Angulus occipitalis, und der hintere untere, Angulus mastoideus.

Am hinteren Viertel des Margo sagittalis befindet sich das Foramen parietale.

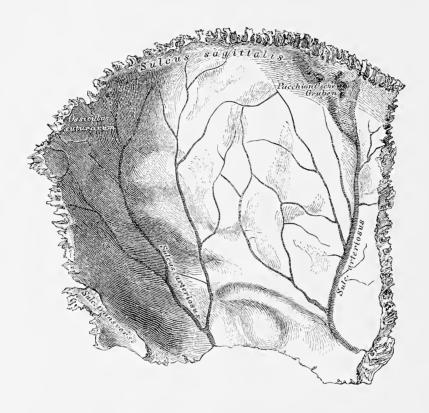


Fig. 60. Linkes Seitenwandbein, Os parietale, von innen.

Die innere concave Fläche zeigt Impressiones digitatae und Juga cerebralia, längs des oberen Randes Pacchioni'sche Gruben, Foveae granulares; ferner 2 baumfürmig verzweigte Gefüssfurchen, Sulci arteriosi (für die Arteria meningea media); endlich 2 venöse Sulci. Der eine längs des oberen Randes bildet mit dem des Knochens der anderen Seite eine Furche für den Sinus sagittalis; der zweite am hinteren unteren Winkel des Knochens für den Sinus transversus.

In der Figur ist im hinteren oberen Winkel ein Naht- oder Schaltknochen, Ossiculum suturarum, seu Wormianum enthalten.

Das Seitenwandbein ist mit 5 Knochen verbunden: mit dem Seitenwandbeine der anderen Seite, mit dem Hinterhauptbeine, dem Stirnbeine, dem Schläfenbeine und dem Keilbeine.

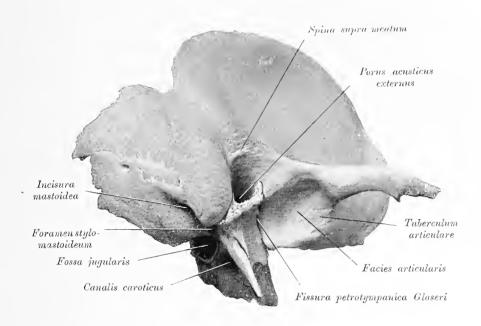


Fig. 61. Rechtes Schläfenbein, Os temporale, von aussen.

Das Schläfenbein wird in 3 Theile getheilt, in: 1. den Schuppentheil (Pars squamosa), 2. den Felsentheil (Pars petrosa), einschliesslich dem Warzentheil (Pars mastoidea) und 3. die Pars tympanica.

Der Schuppentheil hat an der äusseren Fläche vor und über dem äusseren Gehörgang, Porus acusticus externus, den durch 2 Wurzeln gebildeten Jochfortsatz, Processus zygomaticus; zwischen beiden Wurzeln die Gelenkgrube. Facies articularis (für den Kopf des Unterkiefers); vor dieser den Gelenkhügel, Tuberculum articulare. Oberhalb des Por. acustic. ext. die Spina supra meatum.

Der Warzentheil zeigt an der äusseren Fläche den Processus mastoideus, der von unten durch die Incisura mastoidea eingekerbt ist, und von der hinteren Peripherie des äusseren Gehörganges durch die Fissura tympanomastoidea abgegrenzt wird. Die Ränder sind: der obere, zur stark gezackten Nahtverbindung mit dem Angulus mastoideus des Scheitelbeins, und der hintere, zur schwach gezackten Verbindung mit dem unteren Theile des Seitenrandes der Hinterhauptschuppe.

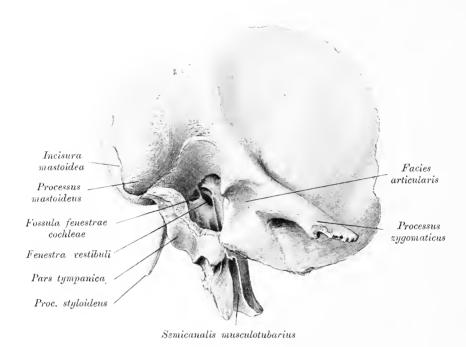


Fig. 62. Aussere Fläche der Felsenbeinpyramide nach Abnahme der Pars tympanica.

Die äussere Fläche des Felsentheiles wird von der *Pars tympanica*, welche von der Gelenkgrube der Schuppe durch die *Fissura petrotympanica* (Glaseri) getrennt wird, verdeckt (Fig. 61).

Nach Abnahme der Pars tympanica erscheint die äussere Fläche der Schläfenbeinpyramide, die Paries labyrinthica der Paukenhöhle. An derselben, oberhalb des Promontorium, die Fenestra vestibuli, dahinter die Fossula fenestrae cochleae, vor dem Promontorium der Sulcus muscularis (M. tensor tympani).



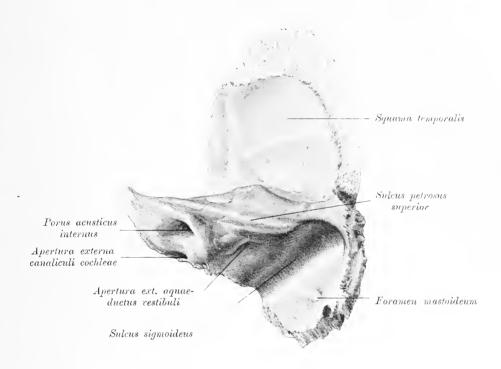


Fig. 63. Rechtes Schläfenbein, Os temporale, von oben.

Der Schuppentheil zeigt an der Innenfläche starke Impressiones digitatae, Juga cerebralia und Gefässfurchen (für die Art. und Vena meningea media).

Der Felsentheil hat 4 Flächen (hintere, äussere, vordere und untere), von welchen die äussere nach Abtragung des Os tympanicum zu Tage tritt (Fig. 62), und 3 Ränder (oberen, vorderen und hinteren).

An der kleinsten inneren Fläche die ovale Mündung des inneren Gehörganges, Porus acusticus internus, hinter derselben die Apertura aquaeductus vestibuli. Die grösste vordere Fläche ist von der Schuppe durch die Fissura petrosquamosa geschieden (Fig. 65, 67), sie hat eine Vorragung, Eminentia canalis semicircularis superioris. Neben der Spitze der Pyramide die innere Öffnung des Canalis caroticus, von welcher eine Rinne (Sulc. n. petros. superf. maior.) zum Hiatus canalis facialis führt. In diese Rinne mündet der Canaliculus petrosus.

Der obere Rand des Felsentheiles ist gefürcht, Sulcus petrosus superior; der hintere Rand durch die Incisura jugularis ausgeschnitten.

Der Warzentheil zeigt an seiner Innenfläche eine breite Furche, Sulcus sigmoideus; ein zuweilen fehlendes Loch, Foramen mastoideum (Santorini sches Emmissarium), führt von dieser Furche zur Aussenfläche des Knochens.

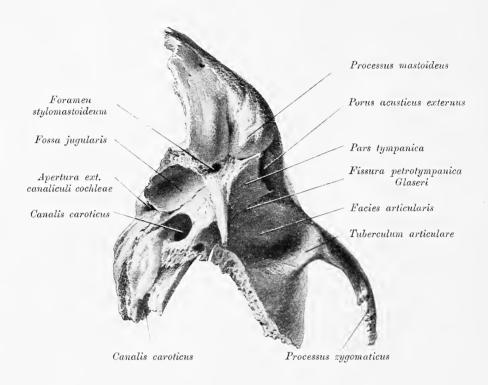


Fig. 64. Rechtes Schläfenbein, Os temporale, von unten.

An der unteren Fläche des Schläfenbeins sieht man medial und hinten von der Pars tympanica den Processus styloideus, zwischen diesem und dem Processus mastoideus das Foramen stylomastoideum.

Medial von der Austrittsstelle des N. facialis die Fossa jugularis, der vorne die untere Öffnung des Canalis caroticus anliegt. Zwischen beiden liegt die Apertura inferior canaliculi tympanici; medial und hinten von dieser die Apertura externa canaliculi cochleae. Zwischen der Pars tympanica und der Pars mastoidea die Fissura tympanomastoidea, zwischen ersterer und der Facies articularis die Fissura petrotympanica Glaseri.

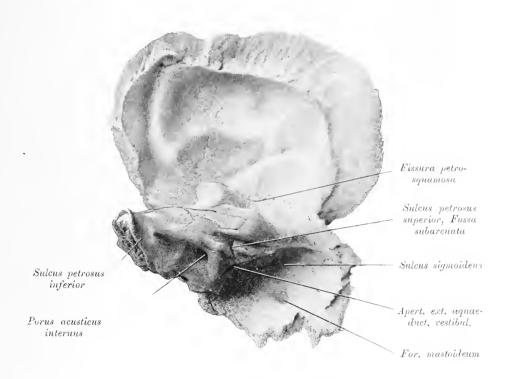


Fig. 65. Rechtes Schläfenbein, Os temporale, von hinten.

Die Reste der Fissura petrosquamosa sind noch sichtbar.

Das Schläfenbein ist mit 5 Knochen in Verbindung: mit dem Hinterhauptbeine, dem Seitenwandbeine, dem Keilbeine, dem Jochbeine und dem Unterkieferbeine Gelenk).

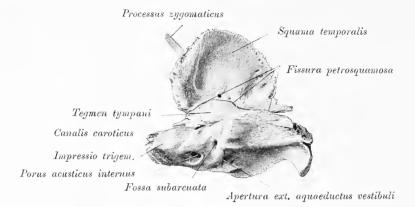


Fig. 66. Rechtes Schläfenbein eines Neugeborenen von oben gesehen.

Die Pars petrosa ist von der Pars squamosa durch die Sutura petrososquamosa und die Fissura squamosomastoidea getrennt.

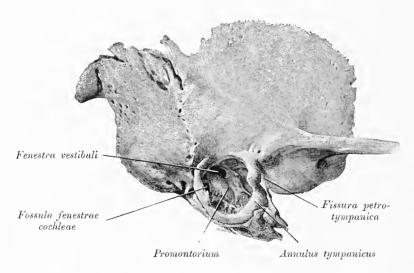


Fig. 67. Rechtes Schläfenbein eines Neugeborenen mit dem *Annulus tympanicus*.

Die über den Warzentheil verlaufende Naht ist die Sutura squamosomastoidea. Der Annulus tympanicus trägt das Trommelfell. Im Cavum tympani sind Theile der äusseren Felsenbeinwand, die Fenestra vestibuli und die Fossula fenestrae cochleae sichtbar.

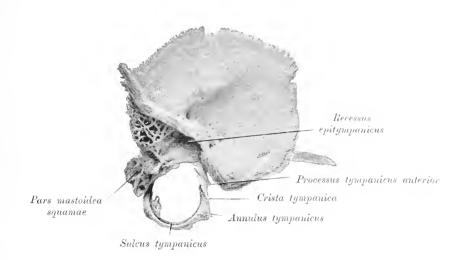


Fig. 68. Schuppe und Annulus tympanicus, von innen gesehen.

Am Annulus sind sichtbar der Sulc. tympanicus für das Trommelfell, ferner der Proc. tympanicus anter., die Crista tympanica und der zwischen beiden gelegene Sulcus malleolaris (Henle) für den langen Fortsatz des Hammers. Der als Pars mastoiden squamae bezeichnete Fortsatz bildet die vordere äussere Deckwand des Warzenfortsatzes und grenzt sich gegen den von der Pars petrosa beigestellten grossen Antheil des Warzenfortsatzes durch die Sutura squamosomastoidea ab.

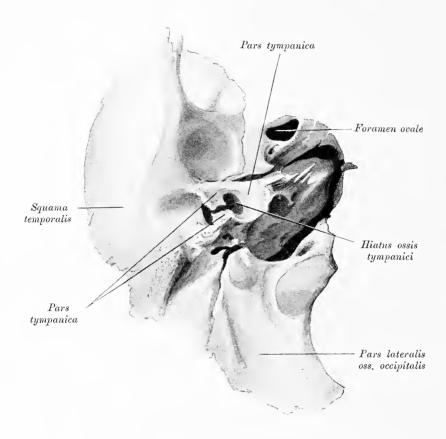


Fig. 69. Rechtes Schläfenbein eines 2jährigen Kindes,

von unten gesehen.

Die Ränder des *Annulus tympanicus* haben sich stark verbreitert. Indem die äusseren Abschnitte später untereinander verwachsen, bleibt zunächst der *Hiatus ossis tympanici* übrig, der sich nachträglich auch schliesst.

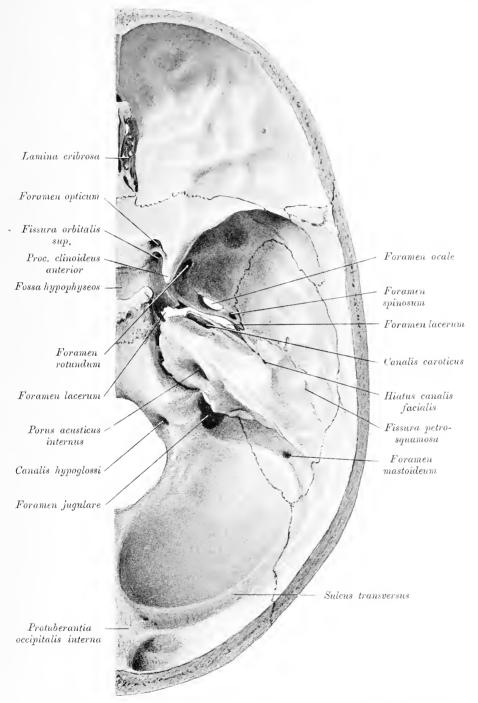


Fig. 70. Rechte Hälfte der inneren Schädelbasis, Basis cranii interna, von oben.

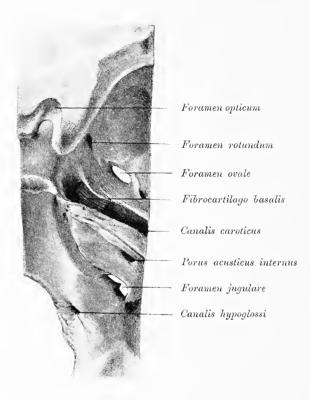


Fig. 71. Innere Schädelbasis, Basis cranii interna, der rechten Seite mit der das Foramen lacerum ausfüllenden Fibrocartilago basalis.

Der Canalis caroticus wurde durch die Abtragung seiner dorsalen Wand weit geöffnet und die das Foramen lacerum verschliessende Fibrocartilago basalis dargestellt.

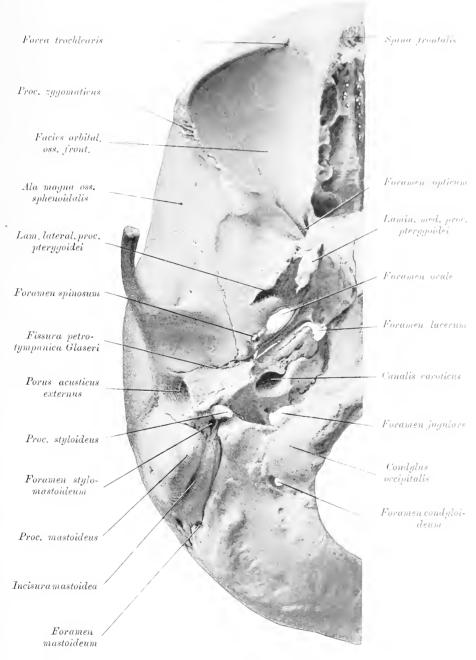


Fig. 72. Rechte Hälfte der äusseren Schädelbasis, Basis cranii externa, nach Entfernung des Oberkiefergerüstes.

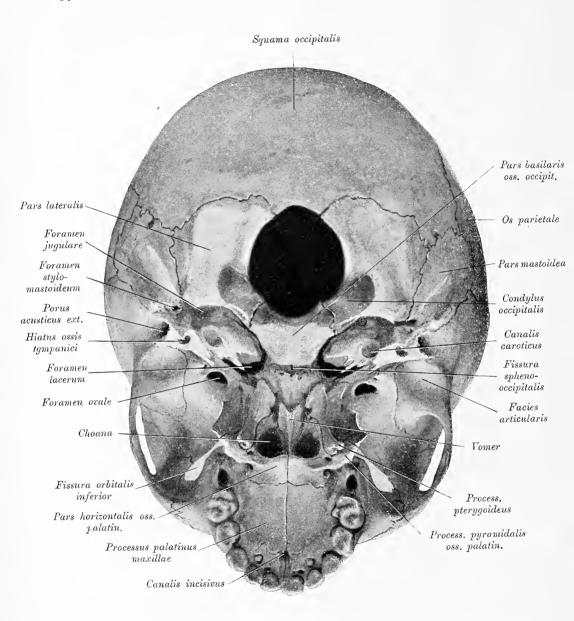


Fig. 73. Äussere Schädelbasis, *Basis cranii externa*, eines Kindes sammt Oberkiefergerüste.

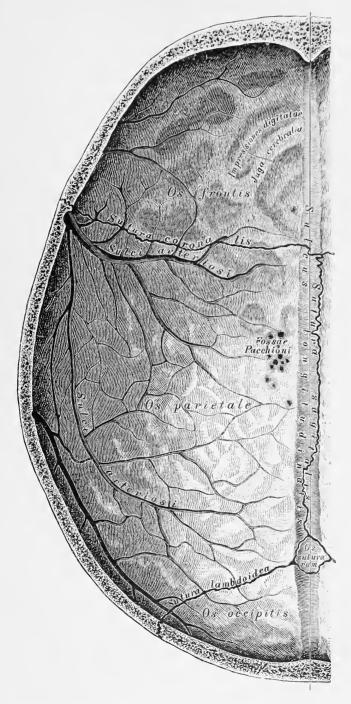


Fig. 74. Rechte Hälfte des Schädeldaches, Calvaria, von innen.

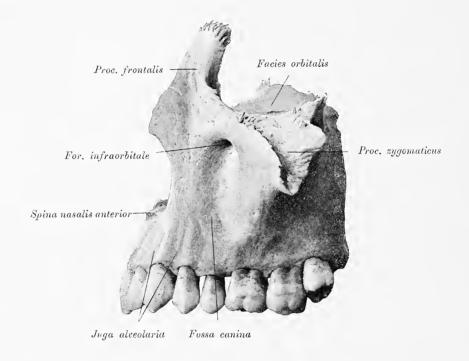


Fig. 75. Linkes Oberkieferbein, Maxilla, von aussen.

Das Oberkieferbein wird eingetheilt: in den Körper und in 4 Fortsätze, den *Processus frontalis*, den *Processus zygomaticus*, den *Processus palatinus* und den *Processus alveolaris*.

Der Körper besitzt 3 Flächen: die Gesichtsfläche, Facies anterior, die Augenhöhlenfläche, Facies orbitalis, und die Nasenfläche, Facies nasalis. Die Gesichtsfläche wird durch eine gegen den Jochfortsatz aufsteigende Erhabenheit in eine vordere und hintere Hälfte getrennt; die vordere concave hat an ihrem oberen Rande das Foramen infraorbitale, unter diesem die Fossa canina; die hintere convexe wird nach hinten durch die Tuberositas maxillaris begrenzt; die an dieser befindlichen Canaliculi alveolares dienen als Zugänge zu Gefüss- und Nervencanälen. Die Augenhöhlenfläche bildet mit ihrem vorderen Rande einen Theil des Margo infraorbitalis; der hintere Rand erzeugt mit dem unteren Rande der Augenhöhlenfläche der Ala magna ossis sphenoidalis die untere Augengrubenspalte, Fissura orbitalis inferior; von derselben geht eine Furche, die sich im weiteren Verlaufe zu einem Canale umwandelt, zum Foramen infraorbitale, der Canalis infraorbitalis.

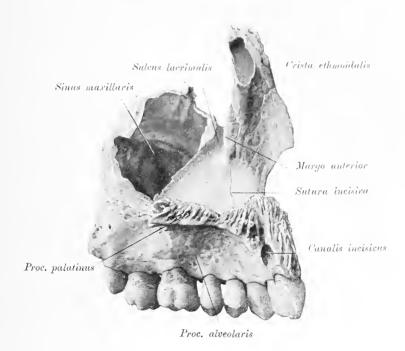


Fig. 76. Linkes Oberkieferbein, Maxilla, von innen.

Die Facies nasalis des Körpers zeigt die grosse Öffnung, Hiatus maxillaris, als Zugang zum Sinus maxillaris Highmori, welche nicht mit der eigentlichen Mündung, dem Ostium maxillare, verwechselt werden darf. Vor dem Hiatus verläuft ein Halbcanal, der Sulcus lacrimalis.

Der Nasenfortsatz des Oberkiefers wird an seiner äusseren Fläche [Fig. 75] durch eine Verlängerung des Margo infraorbitalis in eine vordere und hintere Fläche getheilt; letztere bildet die Thränensackgrube, Fossa sacci lacrymalis, welche sich in den Salcus lacrymalis fortsetzt. Die innere Fläche des Nasenfortsatzes wird durch eine rauhe Leiste, Crista ethmoidalis, quer geschnitten: einen Daumen breit unter dieser zieht quer über die Fläche vom unteren Ende des Salcus lacrymalis nach vorne die Crista conchalis; zwischen beiden Leisten liegt das vordere Ende des mittleren Nasenganges.

Der Jochfortsatz (Fig. 75) hat eine stumpfpyramidenförmige Gestalt und dient zum Ansatze des Jochbeins.

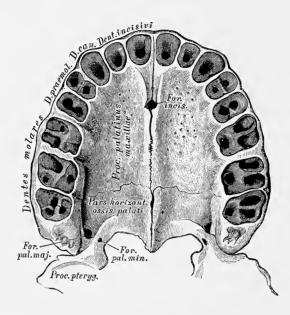


Fig. 77. Die Gaumen- und Alveolarfortsätze der Oberkieferbeine, von unten.

Der Gaumenfortsatz des Oberkiefers bildet mit dem der anderen Seite den vorderen grösseren Theil des harten Gaumens; durch das Zusammentreffen der inneren Ränder beider Gaumenfortsätze entsteht die Crista nasalis, die nach vorne in den vorderen Nasenstachel, Spina nasalis anterior, übergeht. Hinter diesem liegt die Ausmündung des Canalis incisivus. Beide Canales incisivi convergiren und enden an der Unterfläche des harten Gaumens in dem gemeinschaftlichen Foramen incisivum.

Der Zahnzellenfortsatz besitzt jederseits 8 Zellen, Alreoli, für die Aufnahme der Zähne; die äussere Platte desselben zeigt Erhabenheiten, Juga alveolaria. Die 8 vom Oberkieferbeine getragenen Zähne sind: 2 Schneidezähne, Dentes incisivi; 1 Eckzahn, Dens caninus; 2 Backenzähne, Dentes praemolares; 3 Mahlzähne, Dentes molares, deren letzter auch Weisheitszahn, Dens serotinus, genannt wird. Die Alveolen der Molares, sowie auch zuweilen die der Praemolares, sind entsprechend der Wurzelanzahl gefächert.

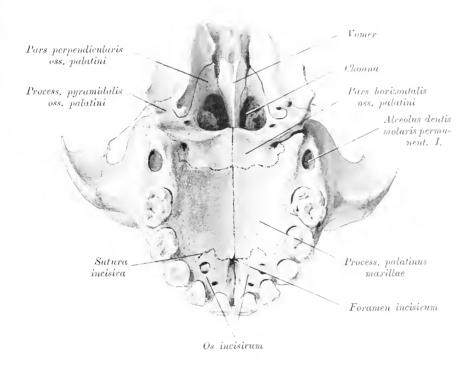


Fig. 78. Harter Gaumen, Palatum durum, eines Kindes mit erhaltener Sutura incisiva.

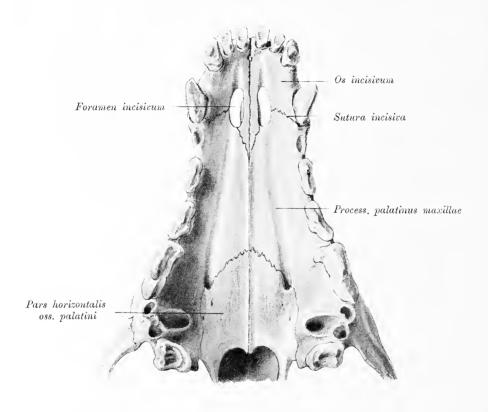


Fig. 79. Harter Gaumen eines Hundes mit der Zwischenkiefernaht.

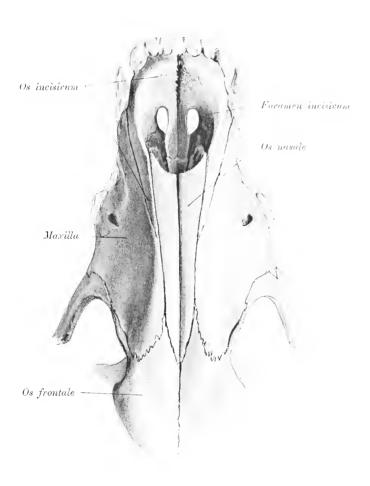


Fig. 80. Gesichtsschädel eines Hundes mit dem Gesichtstheil der Zwischenkiefernaht.

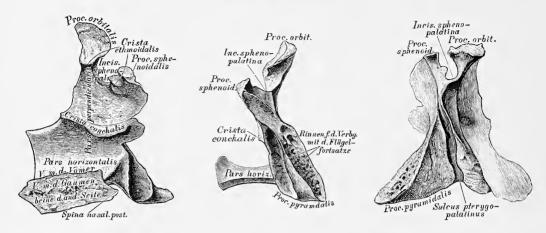


Fig. 81. Rechtes Gaumen- Fig. 82. Rechtes Gaumen- Fig. 83. Rechtes Gaumen- bein, Os palatinum, bein, Os palatinum, bein, Os palatinum, von innen. von hinten. von aussen.

Das Gaumenbein besteht aus zwei zu einander rechtwinkelig gestellten Theilen, der Pars perpendicularis und der Pars horizontalis.

Die Pars perpendicularis zeigt an ihrer Innenfläche 2 horizontale Leisten: die untere, Crista conchalis, zur Anlagerung des Muschelbeines, die obere, Crista ethmoidalis, für die Concha ethmoidalis inferior. Die laterale Fläche enthält den Sulcus pterygopalatinus, welcher mit dem ähnlichen Sulcus des Oberkieferbeines den Canalis pterygopalatinus bildet. Der obere Rand trägt zwei Fortsätze, durch die Incisura sphenopalatina von einander getrennt; der vordere Fortsatz ist der Processus orbitalis (häufig eine Cellula palatina enthaltend), der hintere Fortsatz, Processus sphenoidalis, überbrückt die an der unteren Fläche des Keilbeinkörpers befindliche Längsfurche zu einem Canal, Canalis pharyngeus. Die Incisura sphenopalatina wird durch den Keilbeinkörper zu dem Foramen sphenopalatinum umgestaltet.

Die Pars horizontalis bildet den hinteren Theil des harten Gaumens; der innere Rand (verbunden mit der Pars horizontalis des anderen Gaumenbeins) die Crista nasalis, die nach hinten in die Spina nasalis posterior ausläuft. An der Verschmelzungsstelle der Pars perpendicularis mit der horizontalis steht der in die Incisura pterygoidea des Keilbeins sich einschiebende Processus pyramidalis. Der Fortsatz trägt an seiner Hinterseite zwei Rinnen für die Einlagerung der beiden Lamellen des Processus pterygoideus. Der mit dem Keilbeine und dem Oberkiefer gebildete oder selbständige Canalis pterygopalatinus spaltet sich nach unten laufend in 3 Canäle, die in den 3 Foramina palatina posteriora am harten Gaumen münden.

Das Gaumenbein ist mit 6 Knochen verbunden: 2 Schädelknochen (Keilbein, Siebbein) und 4 Gesichtsknochen (Oberkiefer, untere Nasenmuschel, Pflugscharbein und Gaumenbein der anderen Seite).

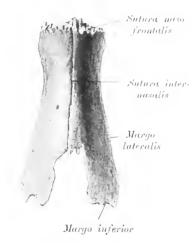


Fig. 84. Nasenbeine, Os nasale, von aussen.

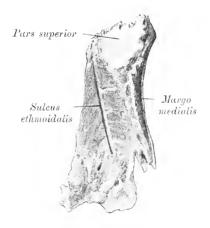


Fig. 85. Linkes Nasenbein, Os nasale, von innen.

Die Nasenbeine liegen zwischen den Stirnfortsätzen der Oberkiefer und berühren sich mit ihren medialen Rändern. Der obere kurze dicke Rand (Pars superior) verbindet sich mit der Pars nasalis ossis frontalis; der untere hilft die Apertura piriformis begrenzen. Der Seitenrand, Margo lateralis, legt sich an den Processus frontalis des Oberkiefers an. Die hintere Fläche sieht gegen die Nasenhöhle und besitzt eine Längsfurche, Sulcus ethmoidalis, für den Nervus ethmoidalis. Ein oder mehrere Löcher, Foramina nasalia, durchdringen die Substanz des Knochens.

Jedes Nasenbein ist mit 4 Knochen verbunden: 2 Schädelknochen, dem Stirnbein und Siebbein; und 2 Gesichtsknochen, dem Oberkieferbeine und dem Nasenbeine der anderen Seite.

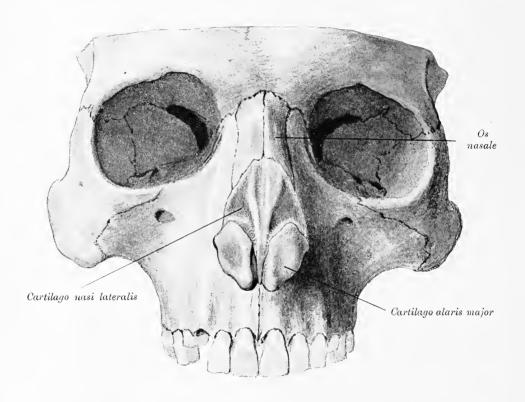


Fig. 86. Oberkiefergerüst mit knorpeligem Nasenskelet.

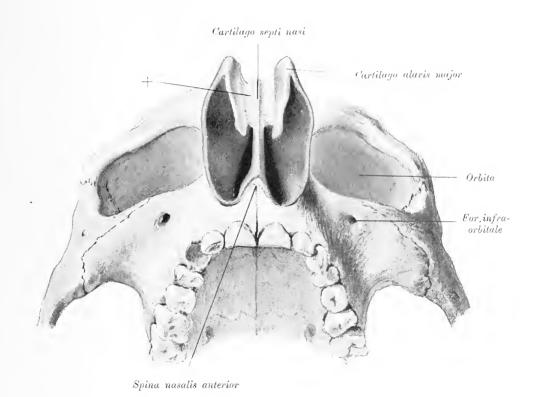


Fig. 87. Oberkiefergerüst mit knorpeligem Nasenskelet, von unten gesehen.

An den Rand der Apertura piriformis schliesst sich der knorpelige Abschnitt des Gesichtsskelettes an. Derselbe besteht aus der Cartilago nasi lateralis und der Cartilago alaris major.

Die Cartilagines nasi laterales zweigen von der Cartilago septi nasi ab.

Die Cartilago alaris ist mit dem Scheidewandknorpel durch Bindegewebe  $\dotplus$  vereinigt.

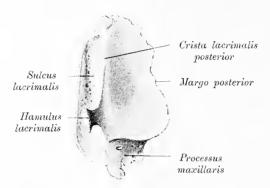


Fig. 88. Linkes Thränenbein, Os lacrimale, von aussen (vergrössert).

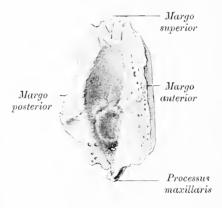


Fig. 89. Linkes Thränenbein, Os lacrimale, von innen (vergrössert).

Das Thränenbein, der kleinste Kopfknochen, zeigt an seiner lateralen Fläche die senkrecht verlaufende Crista lacrimalis posterior, durch welche die Fläche in 2 Abtheilungen zerfällt. Die vordere kleinere ist rinnenförmig ausgehöhlt und bildet mit der ähnlichen Rinne des Processus frontalis des Oberkieferbeins die Thränensackgrube, Fossa sacci lacrimalis, die sich in den Thränennaseneanal, Canalis nasolacrimalis, fortsetzt. Die Crista lacrimalis posterior endet nach unten in den Thränenbeinhaken, Hamulus lacrimalis, welcher bisweilen ganz fehlt. Die mediale Fläche des Thränenbeins deckt die vorderen Siebbeinzellen.

Die Thränenbein ist mit 4 Knochen verbunden: 2 Schädelknochen, dem Stirn- und Siebbeine, und 2 Gesichtsknochen, dem Oberkieferbeine und der unteren Nasenmuschel.



Fig. 90. Linke untere Nasenmuschel, Concha nasalis inferior (vergrössert). Mediale Seite.

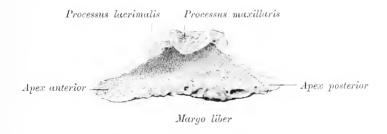


Fig. 91. Linke untere Nasenmuschel, Concha nasalis inferior (vergrössert). Laterale Seite.

Das Muschelbein sitzt an der inneren Wand des Oberkiefer- und des Gaumenbeins; seine concave Seite ist gegen diese Wand, seine convexe Seite gegen die Nasenscheidewand gerichtet. Der untere Rand ist verdickt; am oberen Rande entspringt der Processus maxillaris (Fig. 91), der die Oeffnung der Highmorshöhle verkleinern hilft. Vor diesem Fortsatze steigt der Processus lacrimalis (siehe auch Fig. 102), empor, theilweise den Canalis nasolacrimalis bildend. Der Processus ethmoidalis (siehe Fig. 103) verbindet sich mit dem Processus uncinatus des Siebbeins. Das vordere und hintere Ende des Knochens legt sich an die Crista conchalis des Oberkiefers und des Gaumenbeins an.

Die untere Nasenmuschel ist mit 4 Knochen verbunden: 1 Schädelknochen, dem Siebbein, und 3 Gesichtsknochen, dem Oberkiefer, Gaumenbein und Thränenbein.

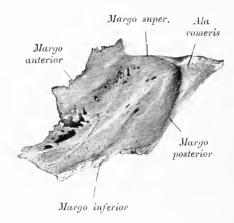


Fig. 92. Pflugscharbein, Vomer.

Laterale Ansicht.

Das Pflugscharbein dient zur Bildung des unteren Theiles der knöchernen Nasenscheidewand. Der obere Rand geht flügelförmig auseinander, Alae vomeris, zwischen beiden Flügeln steckt das Rostrum sphenoidale. Der untere Rand berührt die von beiden Oberkiefer- und Gaumenbeinen erzeugte Crista nasalis. Der vordere längste Rand verbindet sich hinten mit der senkrechten Platte des Siebbeins, vorne mit dem viereckigen Nasenscheidewandknorpel (Fig. 107), der sich in eine Rinne des Vomer einfalzt. Der hintere kürzeste Rand steht frei und bildet das Septum der hinteren Nasenöffnung, wodurch diese in beide Choanen geschieden wird.

Die Pflugschar steht mit 6 Knochen in Verbindung: 2 Schädelknochen, nämlich dem Keilbeine und dem Siebbeine, und 4 Gesichtsknochen, den 2 Oberkieferbeinen und 2 Gaumenbeinen; endlich mit dem viereckigen Nasenscheidewandknorpel der Cartilago septi nasi.

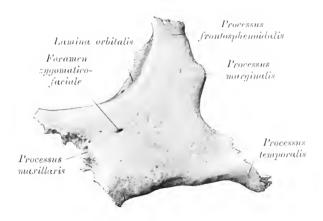


Fig. 93. Jochbein, Os zygomaticum, von aussen.

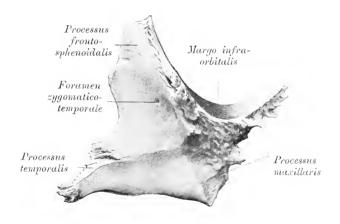


Fig. 94. Jochbein, Os zygomaticum, von innen.

Das Jochbein besteht aus der Wangenplatte, Lamina malaris, die sich nach aufwärts in den Processus frontosphenoidalis, nach vorne in den Processus maxillaris, nach hinten in den Processus temporalis fortsetzt. Am hinteren Rand des Processus sphenofrontalis häufig der Processus marginalis. Der an der Bildung der Orbita betheiligte Abschnitt des Jochbeins heisst Lamina orbitalis.

Die Wangenplatte hat eine Facies malaris und eine Facies temporalis.

An der Lamina orbitalis beginnt der Canalis zygomatico-orbitalis, der sich spaltet und an der Wangenfläche am Foramen zygomatico-faciale, an der Schläfenfläche am Foramen zygomatico-temporale endet.

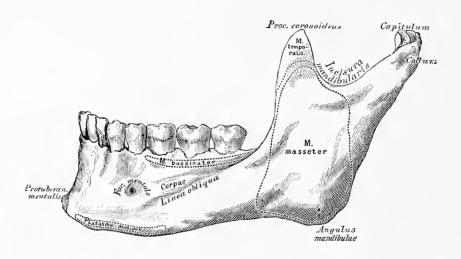


Fig. 95. Unterkiefer, Mandibula, von aussen.

Der Unterkiefer wird eingetheilt in den Körper und in 2 Äste.

In der Mitte der vorderen Fläche des Körpers befindet sich die Protuberantia mentalis; nach aussen von derselben das Kinnloch, Foramen mentale, unter welchem die Linea obliqua zum vorderen Rande des Astes aufsteigt. Der untere Rand, Basis mandibulae, ist breit und trägt den oberen, mit Zahnzellen, Alveoli, versehenen Abschnitt, Pars alveolaris. Die 2 Äste steigen vom hinteren Ende des Körpers empor; ihr hinterer Rand bildet mit dem unteren Rande des Körpers den Unterkieferwinkel, Angulus mandibulae. Am oberen Rande sitzen durch die Incisura mandibularis getrennt 2 Fortsätze auf; der vordere ist der Processus coronoideus, der hintere der Processus condyloideus. Letzterer trägt an einem verschmächtigten Halse (Collum) ein überknorpeltes Köpfehen, Capitulum, für die Gelenkverbindung mit der Fossa glenoidalis des Schläfenbeins. An der Wangenfläche des Unterkieferastes inseriert der M. masseter, am Proc. coronoideus der M. temporalis.

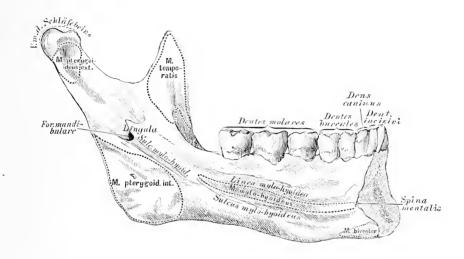


Fig. 96. Unterkiefer, Mandibula, von innen.

Körper. In der Mitte der inneren (hinteren) Fläche desselben ragt der einoder zweispitzige Kinnstachel, Spina mentalis, hervor; unter diesem befinden sich 2 rauhe Eindrücke für den Ursprung je eines vorderen Bauches des M. digastricas, Fossa digastrica. Nach aussen vom Kinnstachel beginnt die Linea mylohyoidea. In den Alveolen des oberen Randes sitzen beiderseits 2 Schneidezähne, 1 Eckzahn, 2 Backenzühne und 3 Mahlzähne.

Äste. Jeder Ast zeigt in der Mitte seiner Innenfläche die Lingula, hinter welcher das Foramen mandibulare liegt, als Anfang eines den Körper durchbohrenden und am Foramen mentale endenden Canales, Canalis mandibularis. Vom Foramen mandibulare zieht eine Nervenrinne schief abwärts, der Sulcus mylohyoideus.



Fig. 97. Körper des Unterkiefers mit den Zahnalveolen.

Die Alveolen der *Molares* sind entsprechend der Wurzelzahl durch frontal gelagerte Scheidewände in je zwei Fächer zerlegt.

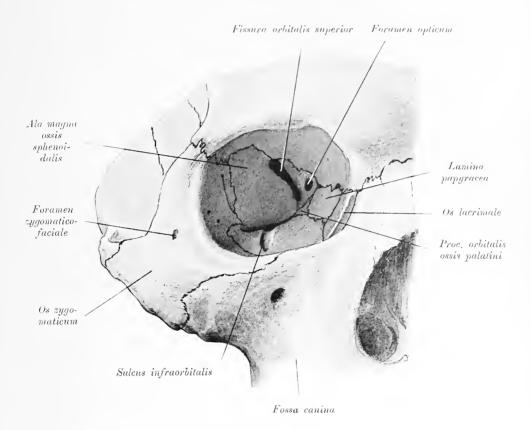


Fig. 98. Die Wände der rechten knöchernen Orbita.

Die äussere Wand der Augenhöhle wird gebildet vom Jochbein, Os zygomaticum, und dem grossen Keilbeinflügel, Ala magna ossis sphenoidalis; die obere Wand von der Augenhöhlenfläche des Stirnbeins, Pars orbitalis ossis frontalis, und dem kleinen Keilbeinflügel, Ala parva oss. sphenoidalis; die innere Wand vom Stirnfortsatz des Oberkieferbeins, Proc. frontalis maxillae, dem Thränenbein, Os lacrimale, und der Lamina papyracea des Siebbeins; die untere Wand von der Augenhöhlenfläche des Oberkiefers, Facies orbitalis maxillae und dem Processus orbitalis des Gaumenbeins. Die Öffnung der Augenhöhle, Aditus orbitae, wird vom Margo supra- et infraorbitalis begrenzt; hinter dem Rande nach oben und aussen liegt die Fossa glandulae lacrimalis.

Löcher und Canäle der Augenhöhle. Zur Schädelhöhle führen: das Foramen opticum, die Fissura orbitalis superior, das Foramen ethmoidale anterius. Zur Nasenhöhle führen: das Foramen ethmoidale posterius, der Ductus nasolacrimalis. Zur Schläfengrube führt: der Canalis zygomatico-temporalis: zur Flügelgaumengrube die Fissura orbitalis inferior. Zum Gesichte führen: der Canalis zygomatico-jacialis, das Foramen supraorbitale (Incisura supraorbitalis) und der Canalis infraorbitalis.

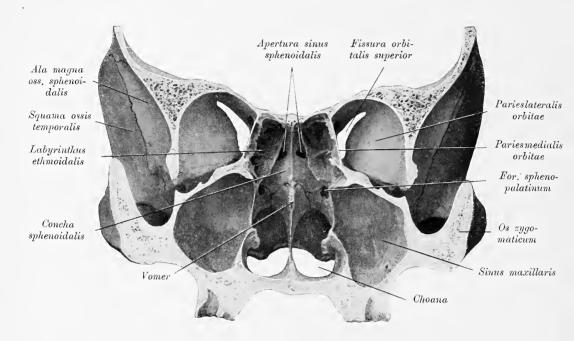


Fig. 99. Frontalschnitt durch die Nasen- und Augenhöhlen.

Man sieht die Topographie der Nasenhöhle, zu den Augen- und Kieferhöhlen; ferner die hintere Wand der Nasenhöhle, reprüsentiert oben durch die vordere Wand der Keilbeinhöhlen, unten durch die Choanen.

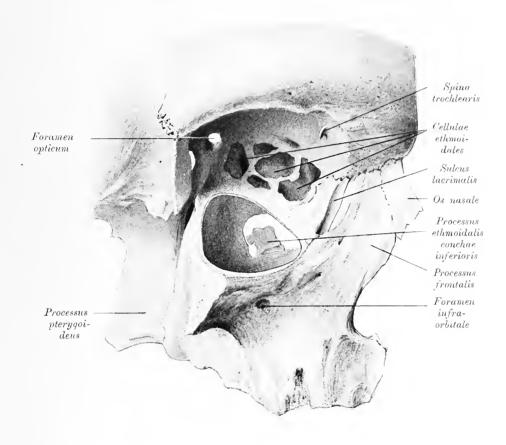


Fig. 100. Rechte Augen- und Kieferhöhle und die Siebbeinzellen, von aussen.

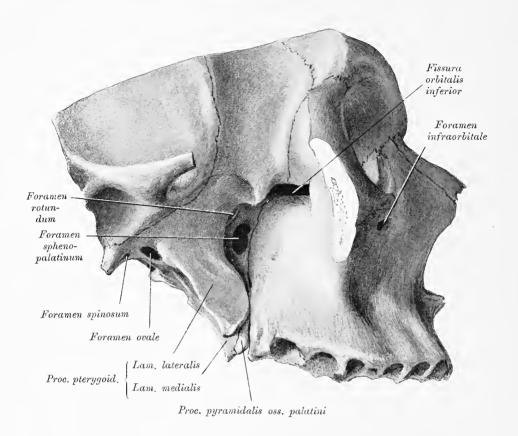


Fig. 101. Rechtes Oberkiefergerüste mit der Fossa pterygopalatina.

Die Schläfengrube, Fossa temporalis, gebildet durch die Schuppe des Schläfenbeins, die Schläfenfläche des grossen Keilbeinflügels, den Jochfortsatz des Stirnbeins und den Stirnfortsatz des Jochbeins, geht an der Crista infratemporalis in die Unterschläfengrube, Fossa infratemporalis, über. Der tiefste Theil dieser Grube, begrenzt unten durch den Flügelfortsatz des Keilbeins und vorne durch den Oberkiefer, gegen die Nasenhöhle durch die senkrechte Lamelle des Gaumenbeins abgeschlossen, wird Flügelgaumengrube, Fossa pterygopalatina, genannt.

Löcher und Canäle der Flügelgaumengrube. Zur Schädelhöhle führt das Foramen rotundum und das Foramen spinosum. Zur Augenhöhle die Fissura orbitalis inferior; zur Nasenhöhle das Foramen sphenopalatinum; zur Mundhöhle der Canalis pterygopalatinus; nach hinten zur Schädelbasis der Canalis pterygoideus Vidii.

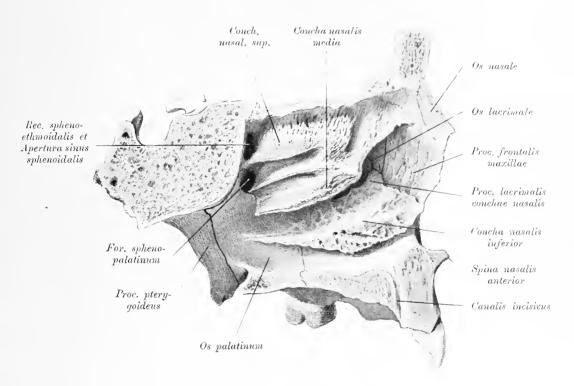


Fig. 102. Linke äussere Wand der Nasenhöhle mit den Nasenmuscheln.

Knöcherne Vorsprünge an den Wänden der Nasenhöhle bilden die Siebbeinmuscheln und das Muschelbein. Zwischen den Muscheln liegen die Nasengänge, Meatus narium, beiderseits drei bis vier, und zwar ein bis zwei obere zwischen den Siebbeinmuscheln; der mittlere zwischen unterer Siebbeinmuschel und dem Muschelbeine; der untere zwischen Muschelbein und dem Boden der Nasenhöhle. In die oberen münden die hinteren Siebbeinzellen; in den mittleren die vorderen Siebbeinzellen, die Highmorshöhle und die Stirnhöhle (in den Hiatus semilunaris); in den unteren der Thränen-Nasengang. Die Keilbeinhöhle mündet in den Recessus sphenoethmoidalis.

Löcher und Canäle der Nasenhöhle. Zur Schädelhöhle führen die Foramina cribrosa und der Salcus ethmoidalis; zur Mundhöhle der Canalis nasopalatinus; zur Flügelgaumengrube das Foramen sphenopalatinum; zur Augenhöhle das Foramen ethmoidale posterius, der Ductus nasolacrimalis; zum Gesichte die Apertura pyriformis; in den Pharynx die Choanen. Der Sinus sphenoidalis beschränkt sich auf eine flache Nische, daher der Keilbeinkörper spongiös (Bildungshemmung). Siehe auch Fig. 103.

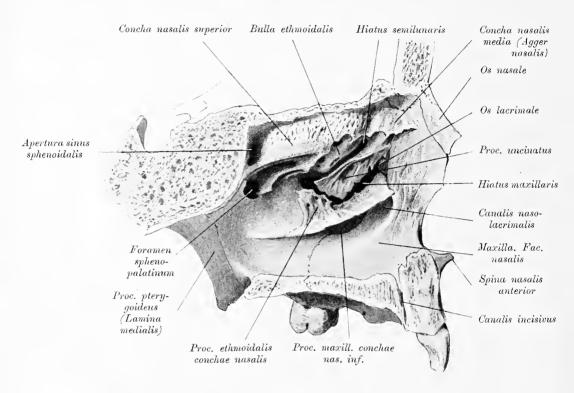


Fig. 103. Äussere Wand der Nasenhöhle nach Entfernung der mittleren Nasenmuschel und eines Theiles der unteren.

Man sieht unter anderen die Bulla ethmoidalis, den Processus uncinatus, den Hiatus semilunaris und den Hiatus maxillaris.

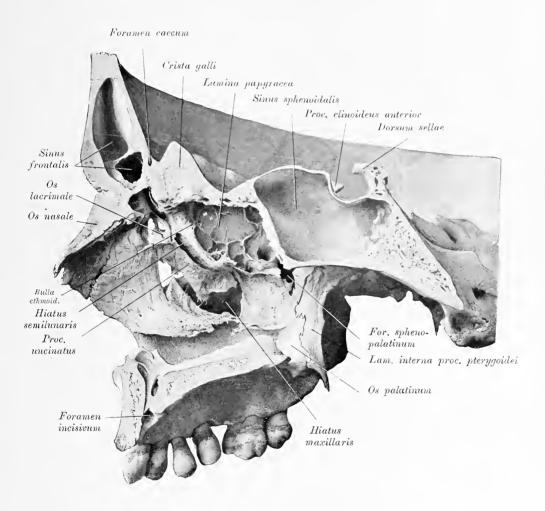


Fig. 104. Laterale Wand der Nasenhöhle nach Abtragung der Muscheln und der Siebbeinzellen.

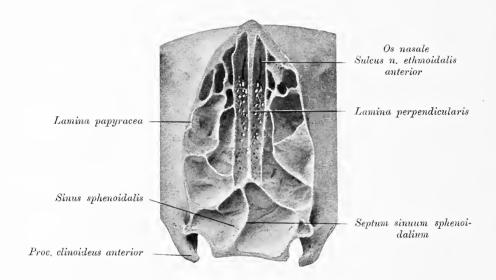


Fig. 105. Horizontalschnitt durch die Nasenhöhle nahe der  $Lamina\ cribrosa,\ {\rm von\ unten\ gesehen}.$ 

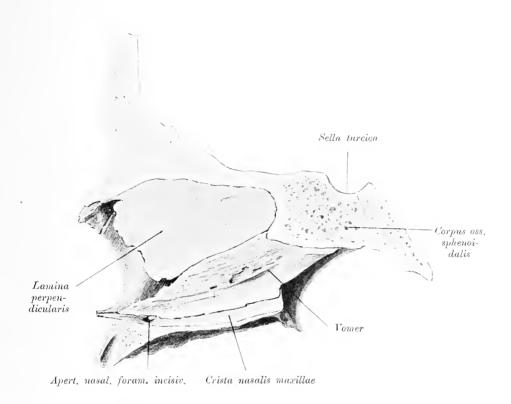


Fig. 106. Sagittalschnitt durch die Nasenhöhle links von der Mittelebene. Knöcherne Nasenscheidewand.

Die Nasenhöhle wird durch die knöcherne Nasenscheidewand, Septum nasi osseum, in zwei Hälften getheilt: dieselbe besteht aus der senkrechten Siebbeinplatte und dem Vomer und geht von der Lamina cribrosa zur Crista nasalis maxillae. Der einspringende Winkel zwischen Lamina perpendicularis und Vomer wird von der Cartilago septi nasi ausgefüllt. Siehe Fig. 107.

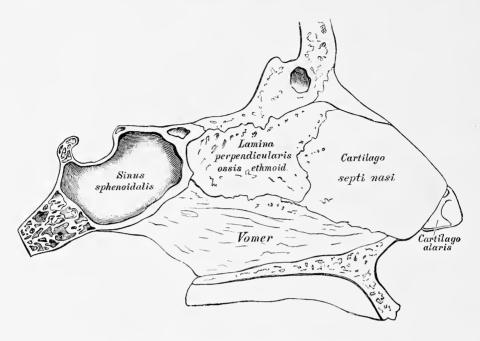


Fig. 107. Die Nasenscheidewand, Septum nasi.

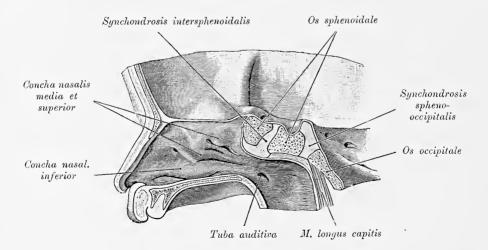


Fig. 108. Sagittalschnitt durch die Schädelbasis eines Neugeborenen mit der Synchondrosis intersphenoidalis und sphenooccipitalis.

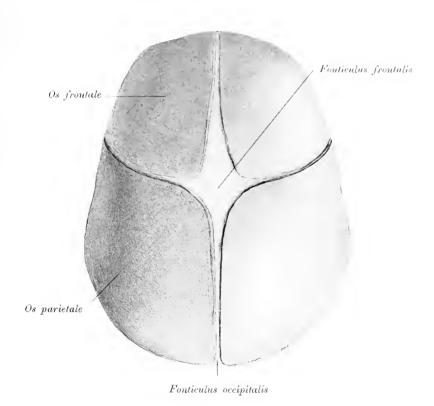


Fig. 109. Fontanellen des Schädeldaches.

Fontanellen. Man zählt 1 Stirn. 1 Hinterhauptfontanelle, 2 Keilbeinund 2 Warzenfontanellen. Die Stirnfontanelle ist von rhombischer Gestalt und erhält sich bis in das zweite Lebensjahr. Die kleinere, dreieckige Hinterhauptfontanelle ist zur Zeit der Geburt fast verschlossen; an die Stellen der Fontanellen treten später Theile der Knochennähte, der Satura coronalis, sagittalis, lambdoidea. mastoidea und die abnorme Satura frontalis. Ist das Gehirn völlig entwickelt, so verschmelzen die Nähte durch Synostosen.

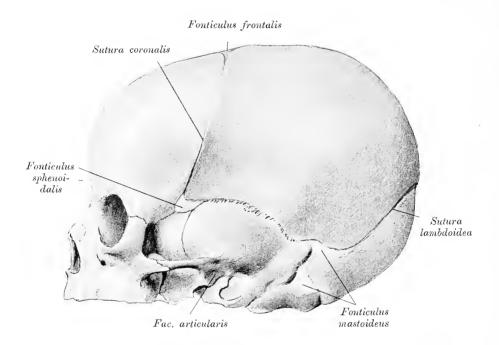


Fig. 110. Seitenfontanellen.

Die beiden Seitenfontanellen, Fonticulus sphenoidalis und mastoideus, verstreichen sehon kurz nach der Geburt. Die Warzenfontanelle enthält knorpelige Füllmasse.

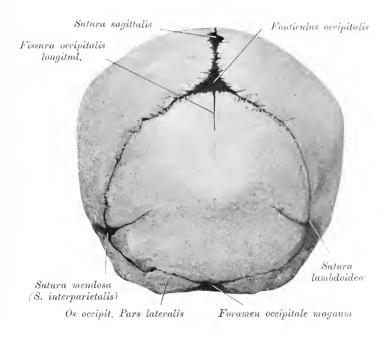


Fig. 111. Os occipitale eines Neugeborenen mit den seitlichen Antheilen der Sutura occipitalis transversa.

Zwischen den Scheitelbeinen und der Spitze der Squama occipitalis die Hinterhauptfontanelle, Fonticulus occipitalis.

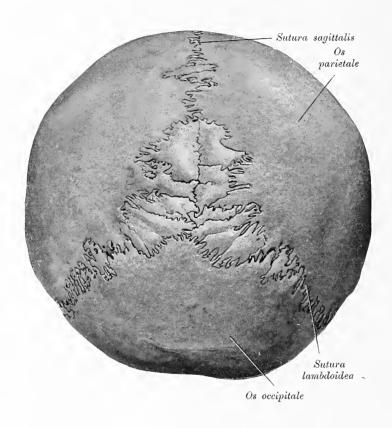


Fig. 112. Hintere Ansicht eines Schädels mit Nahtknochen in der Sutura sagittalis und lambdoidea.

Zungenbein. 93

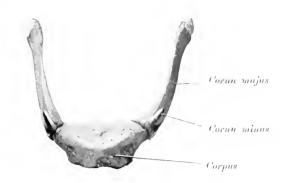


Fig. 113. Zungenbein von vorne.

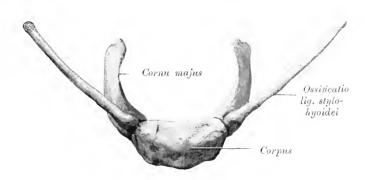
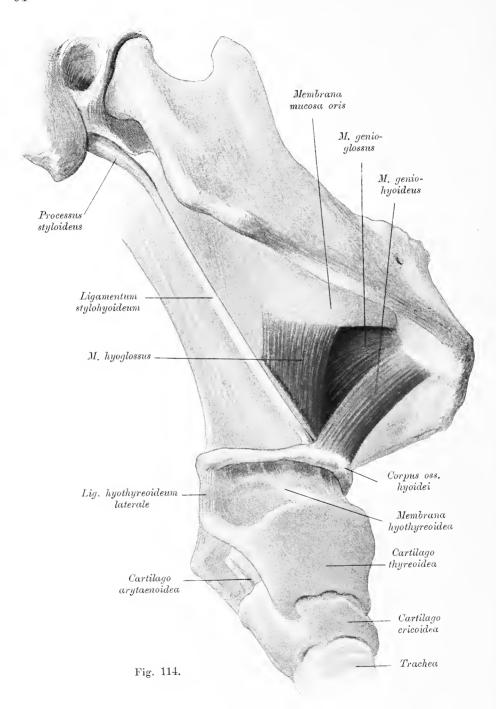


Fig. 113 a. Zungenbein von vorne mit theilweise verknöchertem Lig. stylohyoideum.

Das Zungenbein wird eingetheilt in das Mittelstück und 2 Paar seitliche Hörner. Das Mittelstück trägt an seinen beiden Enden die grossen Hörner, Cornua majora, durch Vermittlung zweier Knorpelfugen: an der Insertionsstelle der grossen Hörner mit dem Mittelstücke sitzen, gelenkig verbunden, die kleinen Hörner, Cornua minora. — Fig. 113 a. Das verknöcherte Lig. stylohyoideum ist mit dem kleinen Zungenbeinhorn verwachsen.



### Fig. 114. Zungenbeinapparat der rechten Seite.

Zum Zungenbeinapparat gehören auch der *Processus styloideus* und das Lig. stylohyoideum. Letzteres verknöchert häufig (Fig. 113a) und kann, als ganzes oder nur theilweise ossificiert, mit dem kleinen Zungenbeinhorn verwachsen.

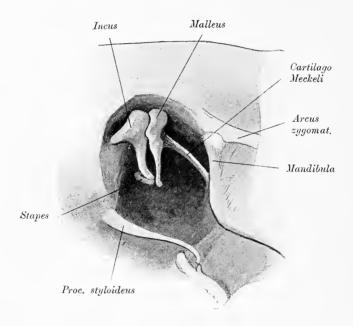


Fig. 115. Paukenhöhle und Unterkiefer eines Fötus.

Vom Hammer geht der allerdings schon zurückgebildete Meckel'sche Fortsatz ab und schliesst sich der Innenfläche des Unterkiefers an. Der noch knorpelige Processus styloideus nähert sich mit seinem distalen Ende dem kleinen Zungenbeinhorne.



Fig. 116. Das rechte Schlüsselbein, Clavicula, von vorne.

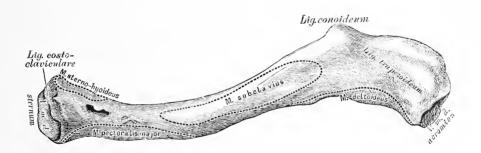


Fig. 117. Das rechte Schlüsselbein, Clavicula, von unten.

Am Schlüsselbein wird unterschieden: das innere Endstück, Extremitas sternalis, dessen sattelförmige Gelenkfläche mit der Incisura clavicularis des Brustbeins durch Vermittlung des Discus articularis verbunden ist; das änssere Endstück, Extremitas acromialis, verbunden mit dem Acromion; und das Mittelstück. Das Schlüsseibein ist S-förmig gekrümmt, so dass die inneren zwei Drittheile nach vorne convex, das äussere Drittel aber nach vorne concav erscheinen.

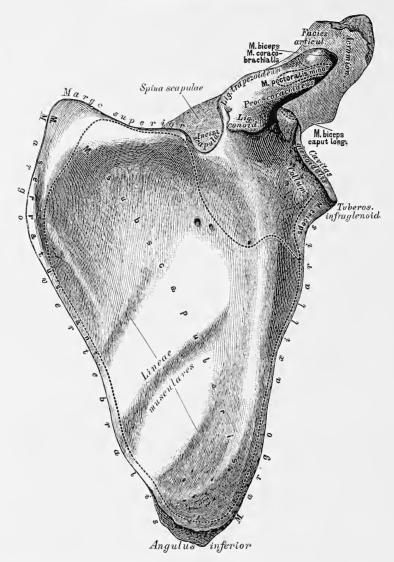


Fig. 118. Das linke Schulterblatt, Scapula, von vorne.

Am Schulterblatt unterscheidet man eine vordere, eine hintere Fläche, einen inneren, vertebralen, äusseren, axillaren, und einen oberen Rand; einen unteren, einen oberen äusseren und einen oberen inneren Winkel, endlich zwei Fortsätze (Acromion und Proc. coracoideus). Der Knochen bedeckt die Hinterfläche der zweiten bis siebenten, beziehungsweise achten Rippe.

Die vordere Fläche ist etwas concav, mit drei bis fünf Leisten, Lineae musculares (zu Muskelansätzen), versehen. Der kürzeste obere Rand besitzt an seinem äusseren Ende die tiefe Incisura scapulae Am oberen äusseren, verdickten Winkel ist die Gelenkgrube für den Oberarmkopf. Cavitas glenoidalis; der eingeschnürte Theil zwischen dieser und dem übrigen Knochen heisst Hals, Collum.

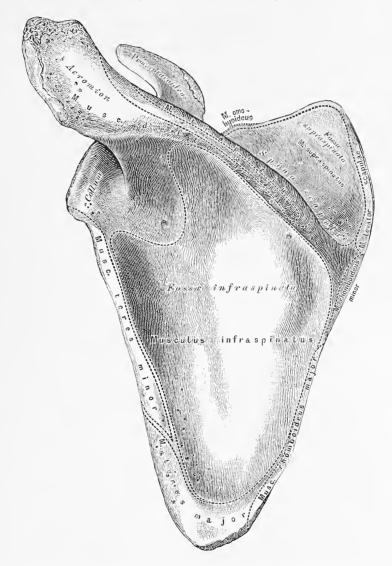


Fig. 119. Das linke Schulterblatt, Scapula, von hinten.

Die hintere Fläche des Schulterblattes wird durch die Schultergräte, Spina scapulae, in die Ober- und Untergrätengrube, Fossa supra- et infraspinata, abgetheilt. Die Schultergräte verlängert sich in die breite, über die Gelenkfläche vorragende Grätenecke, Acromion, welche durch eine Gelenkfläche mit dem Schlüsselbeine verbunden ist. Der zweite Fortsatz heisst Rabenschnabelfortsatz, Processus coracoideus, und entspringt zwischen Incisura scapulae und Cavitas glenoidalis, über welch letztere er sich nach vorne und aussen wegbiegt.

Das Schulterblatt ist durch Gelenke mit dem Schlüsselbeine und dem Oberarmbeine in Verbindung.

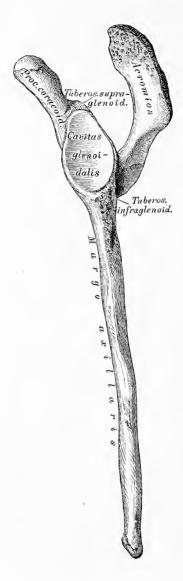


Fig. 120. Das linke Schulterblatt, Scapula, vom axillaren Rande her gesehen.

Der axillare Rand des Schulterblattes ist durch besondere Stärke ausgezeichnet, weil an demselben eine Reihe von Muskeln entspringt. Am oberen Ende, unmittelbar unterhalb der Cavitas glenoidalis, findet sich die Tuberositas infraglenoidalis, an welcher der lange Kopf des M. triceps seinen Ursprung nimmt. Oberhalb der Cavitas glenoidalis springt die Tuberositas supraglenoidalis vor (Ansatzstelle des langen Kopfes des M. biceps).

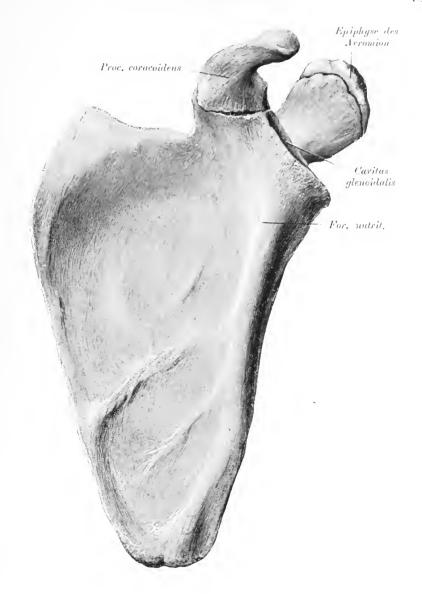
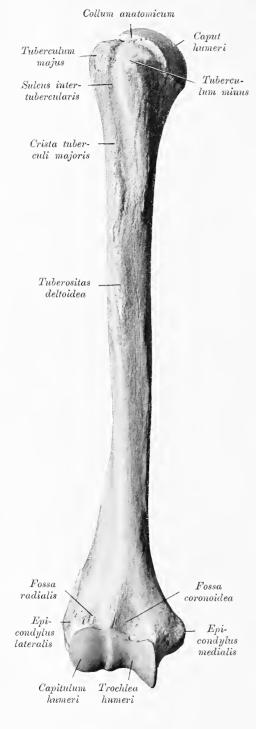


Fig. 121. Epiphysen der linken Scapula eines 17jährigen Individuums.

Abgebildet sind die Epiphyse des Acromion und der noch nicht mit der Scapula verwachsene *Proc. coracoideus*.



# Fig. 122. Das rechte Oberarmbein, *Humerus*, von vorne.

Das Oberarmbein bildet an seinem oberen Ende den überknorpelten Kopf, Caput humeri; die Furche unter demselben heisst das Collum tomicum, während das Collum chirurgicum jenem Theile des Schaftes entspricht, der sich unmittelbar an die Tubercula anschliesst. Unter der Furche springt nach vorne der kleinere Höcker vor, Tuberculum minus, nach aussen der grössere Höcker, Tuberculum majus; zwischen beiden verläuft der Sulcus intertubercularis (für die Sehne des langen Kopfes M. biceps). Von den Höckern zieht die Crista tuberculi majoris und die Crista tuberculi minoris herab.

An der äusseren Fläche des dreiseitigen Mittelstückes liegt die Tuberositas deltoidea (Ansatzstelle des M. deltoideus); am oberen Drittel der inneren Kante das Foramen nutritium.

Am unteren Ende des Oberarmbeines erscheinen: die Rolle, Trochlea, und das Köpfchen, Capitulum humeri; erstere zur Gelenkverbindung mit der Ulna, letzteres zur Gelenkverbindung mit dem Radius.

# Fig. 123. Das rechte Oberarmbein, *Humerus*,

von hinten.

Über der Rolle liegt an der Vorderseite die seichte Fossa coronoidea (für den Processas coronoideus ulnae), über dem Köpfehen die Fossa radialis, an der Hinterseite die tiefe Fossa olecrani (für das Olecranon ulnae).

Oberhalb der Rolle und des Köpfchens ragt nach innen der grössere Epicondylus medialis, nach aussen der kleinere Epicondylus lateralis vor; ersterer dient zum Ansatze der Beugemuskeln, letzterer zum Ansatze der Streckmuskeln der Handund der Fingergelenke. Zwischen der Rolle und dem Epicondylus medialis verläuft an der hinteren Seite eine Furche, Sulcus n. ulnaris

Das Oberarmbein ist gelenkig mit drei Knochen verbunden: mit der *Scapula*, der *Ulna* und dem *Radius*,





Fig. 124. Linkes distales Humerus-Ende einer Katze mit dem Canalis supracondyloideus.

Vom Epicondylus medialis zieht zum Schaft eine Knochenspange und zwischen beiden ist eine Lücke, Canalis supracondyloideus, etabliert zum Durchtritt der Art. brachialis und des N. medianus.

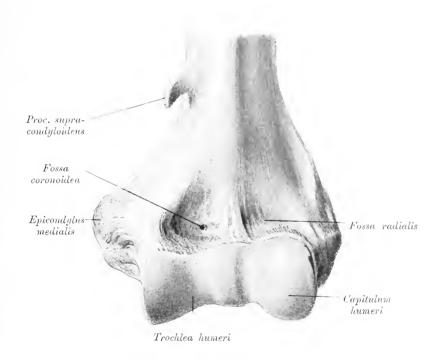


Fig. 125. Linkes distales Ende eines menschlichen Humerus mit Proc. supracondyloideus.

Von der Spange des Canalis supracondyloideus ist als Varietät der proximale Theil, Processus supracondyloideus, erhalten.

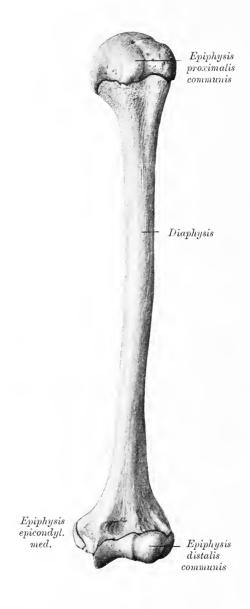


Fig. 126. Epiphysen des linken Humerus eines 17jährigen Individuums.

Das obere Ende der Ułna zeigt einen tiefen Ausschnitt, die Incisura semilunaris: die obere Ecke desselben bildet der Hakenfortsatz, Olecranon, die untere Ecke der Kronenfortsatz, Processus coronoidcus. Seitlich von letzterem befindet sich die Incisura radialis zur Verbindung mit der Circumferentia articularis des Radius: unter demselben die Tuberositas ulnae (zur Anheftung des M. brachialis).

Das dreiseitige Mittelstück schärft sich an der dem Radius zugewendeten Kante zur Crista interossea zu.

Das untere Ende heisst Köpfehen, Capitulum; dasselbe besitzt eine Gelenkfläche, die sich auch auf den dem Radius zugekehrten Rand erstreckt. An seinem hinteren Umfange springt der Processus styloideus ulnae vor. An der dorsalen Seite desselben die Sehnenfurche des M. extens. carpi ulnar.

Die Ulna articuliert mit dem Oberarmbeine und mit dem Radius.

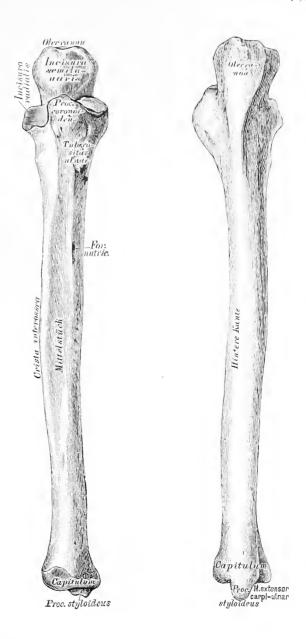


Fig. 127. Die rechte Ulna. von vorne.

Fig. 128. Die rechte Ulna. von hinten.

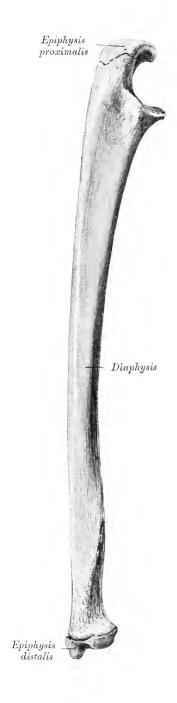


Fig. 129. Epiphysen der linken Ulna eines 17jährigen Individuums.

Die untere Fuge befindet sich knapp oberhalb des Capitulum. Am oberen Ende ist nur die Spitze des *Olecranon* eine Epiphyse.

Das obere Ende des Radius bildet das Köpfehen, Capitulum radii, mit einer missig vertieften Gelenkfläche für das Capitulum humeri. Die Gelenkfläche an der Peripherie des Radius heisst Circumferentia articularis. Der verschmächtigte Theil unter dem Köpfehen ist der Hals. Unter letzterem liegt die Tuberositas radii (für die Insertion des M. biceps).

Das dreiseitige Mittelstück wendet seine schärfste Kante, die *Crista radii*, der entsprechenden Kante der Ulna zu.

Das verbreiterte untere Ende weist eine nach unten gekehrte Gelenkfläche auf, eine zweite halbmondförmige kleine Gelenkfläche, die Incisura ulnaris radii, dort, wo es mit dem Capitulum ulnae zustammenstösst. An diesem Ausschnitte entgegen-Seite gesetzten (äusseren) steht der Processus styloideus radii. Die dorsale Fläche des unteren Endstückes trägt Leitfurchen für Sehnen.

Der Radius ist mit vier Knochen verbunden: dem Oberarmbeine, der Ulna, dem Kahn- und Mondbeine, mit allen gelenkig.

Circumferentia articularis Circum/erentia articularis Collum radii Collum radii Tubero-Tuberositas sitas radii styloideus

Facies articularis carpea

Fig. 130. Rechte Speiche.

Radius, von vorne.

Fig. 131. Rechte Speiche, Radius, von hinten.

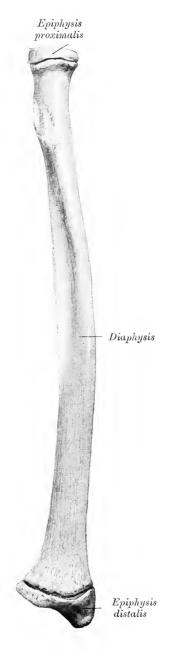


Fig. 132. Epiphysen des linken Radius eines 17jährigen Individuums.



Fig. 133. Linkes Handskelet, volare Ansicht.

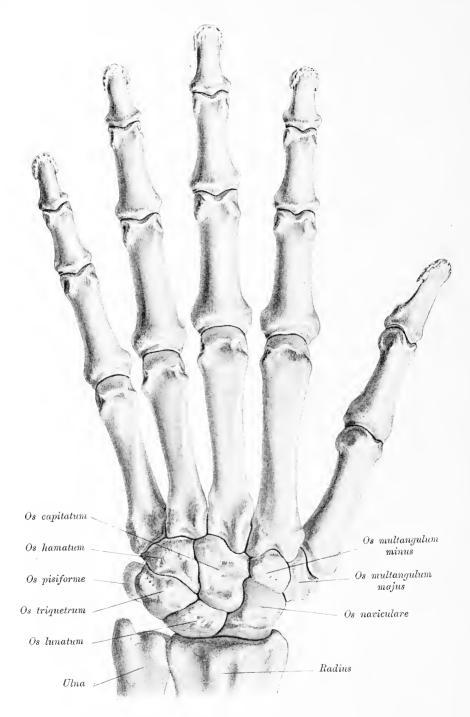


Fig. 134. Linkes Handskelet, dorsale Ansicht.

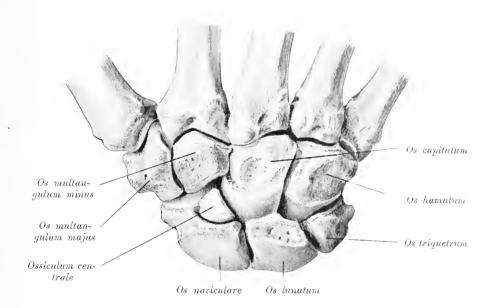


Fig. 135. Carpus der rechten Seite mit einem Ossiculum centrale.

Dorsale Ansicht.

Das für gewöhnlich im Naviculare enthaltene  $Ossiculam\ centrale$  ist in diesem Falle selbständig und articuliert mit dem Naviculare und dem Capitatum.

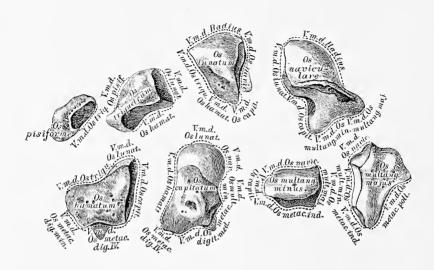


Fig. 136. Die Knochen der rechten Handwurzel, Ossa carpi,

von der Dorsalseite.

Die Handwurzel, Carpus, wird durch acht, in zwei Reihen geordnete kleine Knochen gebildet; diese sind von der Radial- gegen die Ulnarseite hin gezählt:

Obere Reihe: 1. Das Kahnbein, Os naviculare; 2. das Mondbein, Os lunatum; 3. das dreieckige Bein, Os triquetrum; 4. das Erbsenbein, Os pisiforme, welch letzteres nur mit dem Triquetrum articuliert.

Unterè Reihe: 5. Das grosse vielwinkelige Bein, Os multangulum majus; 6. das kleine vielwinkelige Bein, Os multangulum minus; 7. das Kopfbein, Os capitatum; 8. das Hakenbein, Os hamatum.

Die Verbindungen der einzelnen Knochen sind aus der Zeichnung ersichtlich.

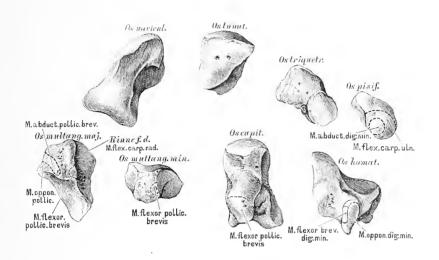


Fig. 137. Die Knochen der rechten Handwurzel, Ossa carpi, von der Volarseite.

An den typischen Handwurzelknochen werden sechs Flächen unterschieden: eine proximale, eine distale Fläche; dann eine Dorsal-, eine Volarfläche; endlich eine Radial- und eine Ulnarfläche. Die Dorsalfläche sämmtlicher Knochen stellt einen convexen, die Volargegend derselben einen concaven Bogen dar. In der Hohlhand bilden die ersten und letzten Knochen der oberen und der unteren Reihe zwei Vorsprünge, Eminentia carpi radialis und ulnaris. Höcker des Os naviculare und des Os multangulum majus bilden den ersteren; das Os pisiforme und der Hamulus des Os hamatum den letzteren.



Fig. 138. Das Kahnbein, Os naviculare, proximale und distale Fläche.



Fig. 139. Das Kahnbein, Os naviculare, proximale und ulnare Fläche.



Fig. 140. Das Mondbein, Os lunatum, proximale und radiale Fläche.



Fig. 141. Das Mondbein, Os lunatum, proximale und ulnare Fläche.



Fig. 142. Das dreieckige Bein, Os triquetrum, Fig. 143. Das dreieckige Bein, Os triquetrum, ulnare und distale Fläche.



Volarfläche.



Fig. 144. Das Erbsenbein, Os pisiforme, mit seiner Gelenkfläche.

## Fig. 138—144. Handwurzelknochen der proximalen Reihe.

Sämmtliche Knochen sind der rechten Handwurzel entnommen.

Radiale Facetten: gelb; ulnare Facetten: blau; proximale Facetten: ungefärbt; distale Facetten: roth.



Fig. 145. Das grosse vielwinkelige Bein,
Os multangulum majus,
distale Flüche.



Fig. 147. Das kleine vielwinkelige Bein,
Os multangulum minus,
distale und radiale Fläche,



Fig. 149. Das Kopfbein. Os capitatum, von der Radialseite.



Fig. 151. Das Hakenbein, Os hamatum, von der Radialseite.



f.d.0s metacarp.indic.

Fig. 146. Das grosse vielwinkelige Bein,
Os multangulum majus,
proximale Fläche.



Fig. 148. Das kleine vielwinkelige Bein,
Os multangulum minus,
proximale und ulnare Fläche.



Fig. 150. Das Kopfbein, Os capitatum, von der Ulnarseite.



Fig. 152. Das Hakenbein, Os hamatum, von der Ulnarseite.

#### Fig. 145—152. Handwurzelknochen der distalen Reihe.

Sämmtliche Knochen sind der rechten Handwurzel entnommen.

Radiale Facetten: gelb; ulnare Facetten: blau; proximale Facetten: roth; distale Facetten: ungefärbt.



Fig. 153. Der Mittelhandknochen des Daumens, von der Dorsalseite.



Fig. 154. Der zweite Mittelhandknochen, von der Dorsalseite.



Fig. 155. Der zweite Mittelhandknochen, von der Palmarseite.



Fig. 156. Der dritte Mittelhandknochen, von der Dorsalseite.



Fig. 157. Der dritte Mittelhandknochen, von der Radialseite.



Fig. 158. Der dritte Mittelhandknochen, von der Ulnarseite.



Fig. 159. Der vierte Mittelhandknochen, von der Radialseite.



Fig. 160. Der vierte Mittelhandknochen, von der Ulnarseite.



Fig. 161. Der fünfte Mittelhandknochen, von der Dorsalseite.



Fig. 162. Der fünfte Mittelhandknochen, von der Palmarseite.

### Fig. 153—162. Mittelhandknochen der rechten Hand.

Radiale Facetten: gelb; ulnare Facetten: blau; proximale Facetten: ungefärbt.



Fig. 163. Mittelhandknochen, Os metacarpale, Phalangen des rechten Mittelfingers.

von der Dorsalseite.



Phalanx II.

Phalanx III.



Fig. 164. Epiphysen des Os metacarpale und der Phalangen des Zeigefingers bei einem 17jährigen Individuum.

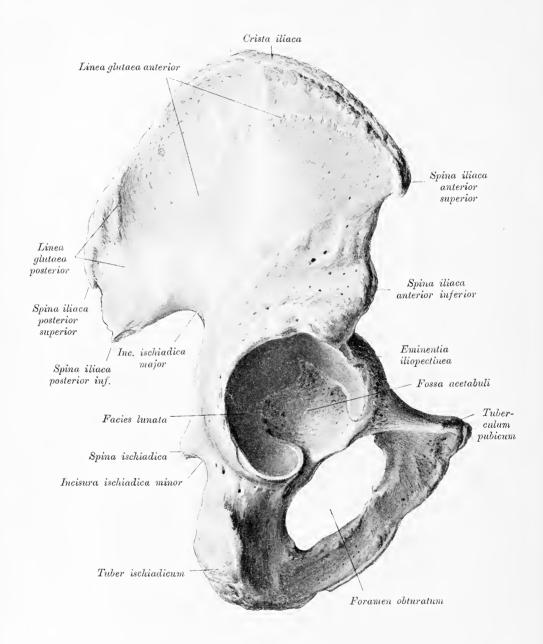


Fig. 165.

#### Fig. 165. Das rechte Hüftbein. Os corue, von aussen.

Das Hüftbein wird eingetheilt: in das Darmbein, Os ilium, das Sitzbein.
Os ischii, und das Schambein, Os pubis.

Das Darmbein zeigt an seiner äusseren Fläche hinten die Linea glutaea posterior, vorne und oben die Linea glutaea anterior und oberhalb der Gelenkpfanne die Linea glutaea inferior. Der obere Rand. Crista iliaea, hat eine äussere, mittlere und innere Lefze (Lahium); der vordere und hintere Rand sind ausgeschnitten und jeder hat zwei Spinae: hinter der Spina posterior inferior die tiefe Incisura ischiadica major. Das Sitzbein zeigt einen Körper, einen oberen und einen unteren Ast: die Spina ischiadica begrenzt die Incisurae ischiadicae gegen einander. Der obere Ast endet mit dem Sitzknorren, Taber ischiadicum; zwischen diesem und der Spina ischiadica befindet sich die Incisura ischiadica minor. Vom Sitzknorren an erhebt sich der untere Ast.

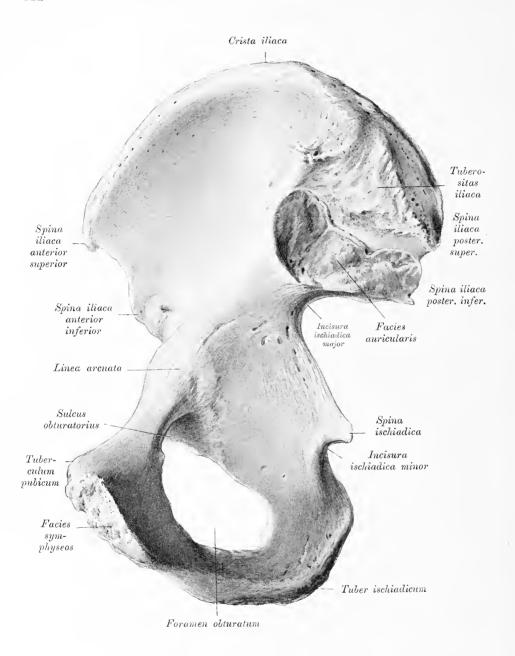


Fig. 166.

#### Fig. 166. Das rechte Hüftbein, Os coxae, von innen.

Die innere Fläche des Darmbeines wird durch die Linea arcuata in eine untere und obere Hälfte gesondert; letztere bildet am vorderen Theile die Fossa iliaca, am hinteren Theile die ohrmuschelförmige Verbindungsstelle, Facies auricularis, für das Kreuzbein; darüber ist die rauhe Tuberositas iliaca zum Ansatze von Bändern.

Das Schambein besitzt einen oberen und einen unteren Ast. Der erstere bildet an seinem äusseren Ende, wo dieses an die Basis des Darmbeines stösst. die Eminentia iliopectinea, sein innerer Rand heisst Schambeinkamm, Pecten ossis pubis; dieser Kamm setzt sich in die Linea arcuata fort und endet nach innen als Schambeinhöcker, Tuberculum pubicum. Der obere Ast geht unter Bildung eines Winkels in den unteren über.

An der Stelle, wo das Darm-, Sitz- und Schambein zusammenstossen, höhlt sich die Pfanne, das Acetabulum, aus Fig. 165; ihr Rand wird durch die Incisura acetabuli unterbrochen. Die Pfannenhöhle besitzt an ihrem Grunde eine rauhe, knorpelfreie Grube, Fossa acetabuli, die bis zur Incisura herabreicht. Die überknorpelte Stelle wird als Facies lunata bezeichnet.

Unter der Pfanne liegt das Foramen obturatum.

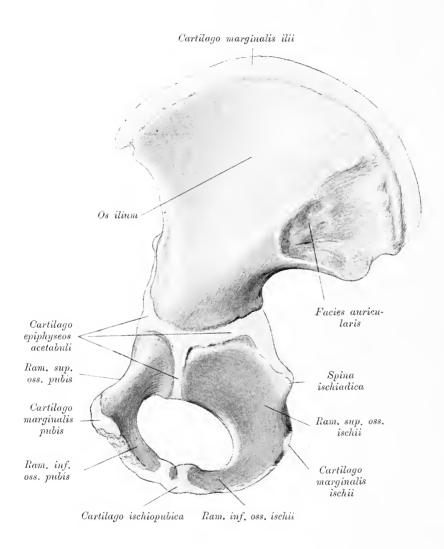


Fig. 167. Rechtes Hüftbein eines eirea 4 Jahre alten Kindes mit Knorpelfugen und Epiphysen.

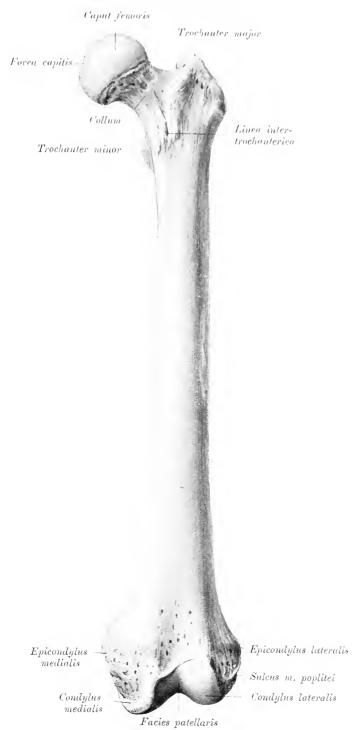


Fig. 168. Das linke Oberschenkelbein, Femur, von vorne.



# Fig. 169. Das linke Oberschenkelbein, Femur,

von binten

Das obere Ende des Oberschenkelbeines bildet der an einem Halse sitzende Kopf. Caput femoris, mit einem Grübchen, Forea capitis, zur Anheftung des Lig. teres. An der Übergangsstelle des Halses in das-Mittelstück stehen die beiden Rollhügel, der grosse äussere, Trochanter major, und der kleine innere, Trochanter minor; dieselben sind vorne durch die Linea intertrochanterica vereinigt. Nach innen vom grossen Trochanter liegt die Fossa trochanterica.

An der hinteren Fläche des Mittelstückes springt die in zwei Lefzen (Labia) gespaltene Linea aspera femoris vor, deren Labium laterale oben die ihrer Ausbildung nach variable Tuberositas glutaea bildet.

Vom Trochanter major zieht hinten die Crista intertrochanterica zum Trochanter minor.

Das untere Ende ist mit zwei Knorren, Condylus lateralis und Condylus medialis, versehen. Die Knorren sind an der hinteren Seite durch die Fossa intercondyloidea von einander getrennt. An der Seitenfläche eines jeden Condylus befindet sich ein Epicondylus. Unter dem lateralen Epicondylus liegt der Sulcus m. poplitei.

Das Oberschenkelbein ist mit drei Knochen gelenkig verbunden: mit dem Hüftbeine, dem Schienbeine und der Kniescheibe.

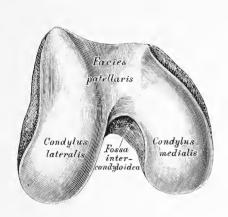


Fig. 170. Condylen und Facies patellaris des Oberschenkelbeines.

Die vorderen Enden der beiden Condylen werden durch das Segment einer Rolle, Facies patellaris, verbunden, an welchem die Kniescheibe articuliert. Flache Leisten grenzen die drei Gelenkkörper gegen einander ab.

Fig. 171. Rechter Femur eines 17jährigen Individuums mit Epiphysen, von hinten.



Epiphysis trochant major

Epiphysis distalis



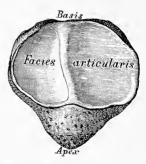


Fig. 172. Die rechte Kniescheibe, Fig. 173. Die rechte Kniescheibe, Patella, von vorne.

Patella, von hinten.

An der Kniescheibe wird die Basis und die Spitze, eine vordere rauhe und eine hintere, aus zwei glatten Gelenkfacetten bestehende Fläche unterschieden, mit welch letzterer der Knochen auf der *Facies patellaris* articuliert. Von den beiden Facetten ist die laterale die grössere.

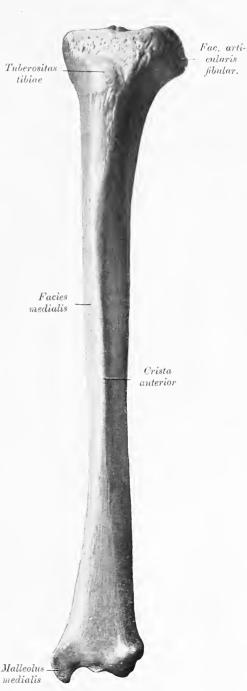


Fig. 174. Das linke Schienbein, *Tibia*, von vorne.

Das Mittelstück schärft sich vorne zum Schienbeinkamme, Crista anterior tibiae, zu. Das obere Ende verdickt sich zu den Schienbeinknorren, Condyli tibiae; zwischen den Gelenkflächen derselben ragt die Eminentia intercondyloidea vor. Unter den Knorrenrändern liegt vorne die Schienbeinrauhigkeit, Tuberositas tibiae. Am unteren Ende hebt sich der starke innere Knöchel, Malleolus medialis, ab.



Fig. 175. Das linke Schienbein, Tibia, von hinten.

Das Mittelstück zeigt an seiner hinteren Fläche oben die rauhe Linea poplitea, neben dem unteren Ende dieser Linie ein grosses Foramen nutritium. Der äussere Knorren besitzt an seinem seitlichen Umfange eine Gelenkfläche für das Wadenbeinköpfchen, Facies articularis fibularis. Am unteren Ende liegt gegenüber dem inneren Knöchel ein Ausschnitt, Incisura fibularis, für das Wadenbein.

Das Schienbein articuliert mit drei Knochen: dem Oberschenkelbeine, dem Wadenbeine und dem Sprungbeine.

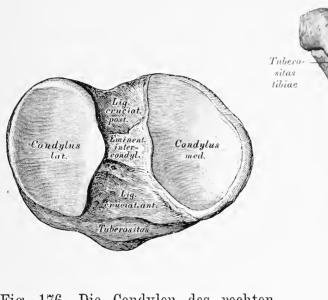


Fig. 176. Die Condylen des rechten Schienbeines, von oben.

Das nicht überknorpelte Mittelfeld zwischen den beiden Knorren wird durch die Eminentia intercondyloidea in zwei rauhflächige Vertiefungen, eine vordere und eine hintere, getheilt, von welchen das vordere, beziehungsweise das hintere Kreuzband entspringt.

Fig. 177. Rechte *Tibia* eines 17jährigen Individuums mit Epiphysen, von vorne.



Epiphysis proximalis

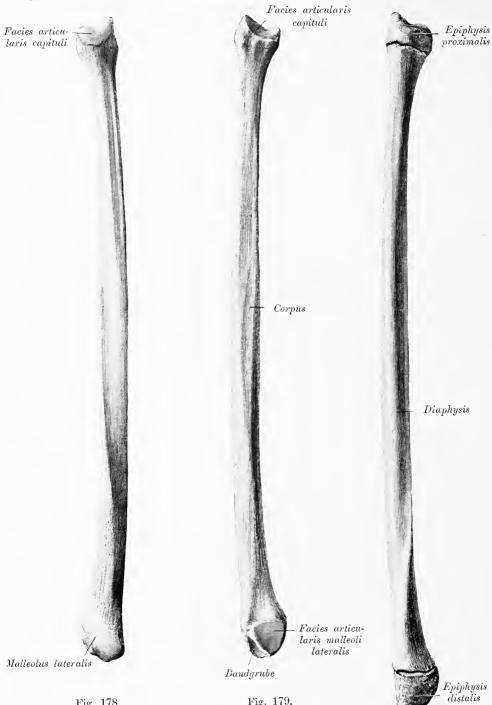


Fig. 179.

Fig. 178.

Fig. 180.

Fig. 178. Das linke Wadenbein, Fibula, von aussen.

Fig. 179. Das linke Wadenbein. Fibula, von innen.

Am Mittelstück heisst die vordere, schärfste Kante *Crista jibulae auterior;* das obere Ende bildet das Köpfehen, *Capitulum*, das untere Ende den äusseren Knöchel, *Malleolus lateralis*.

Das Wadenbein articuliert nur mit zwei Knochen: dem Schienbeine und dem Sprungbeine.

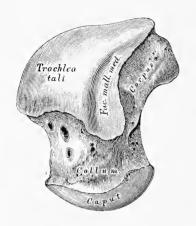
Fig. 180. Rechte Fibula eines 17jährigen Individuums mit Epiphysen, von aussen.



Fig. 181. Skelet des linken Fusses, dorsale Ansicht.



Fig. 182. Skelet des linken Fusses, plantare Ansicht.



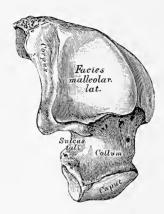


Fig. 183. Das rechte Sprung- Fig. 184. Das rechte Sprung-bein, Talus, von vorne und innen. bein, Talus, von aussen.

Am Sprungbeine, Talus, wird der Körper, der Hals und der Kopf unterschieden. Die obere Fläche des Körpers trägt die überknorpelte Rolle zur Gelenkverbindung mit dem Schienbeine; die innere kleine überknorpelte Fläche ist sichelförmig und dient zur Gelenkverbindung mit dem Malleolus medialis, während die grössere äussere dreieckige Seitenfläche in Gelenkverbindung mit dem Malleolus lateralis steht. Die untere concave Gelenkfläche des Körpers articuliert mit dem Fersenbeine.

Die vordere Fläche des Körpers geht in den Hals über und dieser in den Kopf; ersterer ist an der unteren Fläche zur Verbindung mit dem Sustentaculum des Fersenbeines, letzterer zur Verbindung mit dem Kahnbeine überknorpelt. Von innen und hinten nach aussen und vorne verläuft eine Rinne, der Sulcus tali.

Das Sprungbein steht mit vier Knochen in Gelenkverbindung: mit dem Schienbeine, dem Wadenbeine, dem Fersenbeine und dem Kahnbeine.

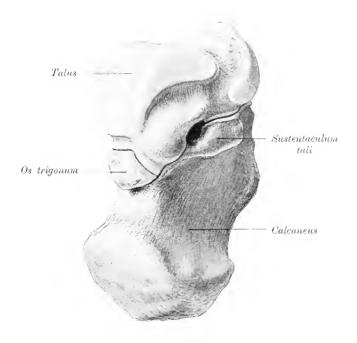


Fig. 185. Talus mit Os trigonum.

Das Tuberculum laterale des Processus posterior tali soll dem Os lunatum der Hand homolog sein. In vielen Fällen bleibt dieser Abschnitt, Os trigonum, selbstständig und ist durch straffes Bindegewebe mit dem Talus vereint.



Fig. 186. Das rechte Fersenbein, Calcaneus, von oben.

Das Fersenbein, unter dem Sprungbeine gelegen, verlängert sich nach hinten zur Hake, Calx, welche mit dem Fersenhöcker, Tuber calcanei, endet. An der oberen Fläche befindet sich eine laterale Gelenkfläche zur Verbindung mit dem Sprungbeinhöcker; vor derselben verläuft der Sulcus calcanei, welcher mit dem entsprechenden Sulcus tali den Sinus tarsi erzeugt. Die mediale Gelenkfläche am Sustentaculum, welche nicht selten zweigetheilt ist, dient zur Verbindung mit dem Sprungbeinkopf. Die vordere überknorpelte Gelenkfläche dient zur Verbindung mit dem Os cuboideum.

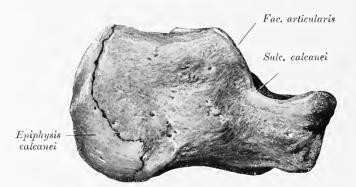


Fig. 187. Rechtes Fersenbein, Calcaneus, eines 17jährigen Individuums mit der Epiphyse.

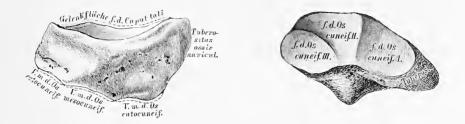


Fig. 188. Das rechte Kahnbein,
Os naviculare pedis, von oben.

Os naviculare pedis, von vorne.

Os naviculare pedis, von vorne.

Die hintere Fläche des Kahnbeines dient zur Verbindung mit dem Kopfe des Sprungbeines; die vordere Fläche ist in drei Facetten getheilt zur Verbindung mit den drei Keilbeinen: am inneren Rande ragt die *Tuberositas ossis navicularis* vor. Das Kahnbein articuliert mit vier Knochen: mit dem Sprungbeine und den drei Keilbeinen, bisweilen auch mit dem Würfelbeine.

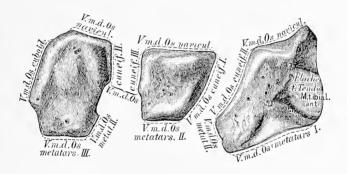
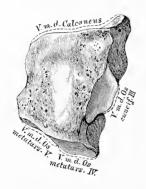


Fig. 190. Die drei Keilbeine, Os cuneiforme primum, secundum et tertium der rechten Seite, von oben.

Die drei Keilbeine, Ossa cuneiformia, sind vor dem Kahnbeine gelagert. Das grösste erste oder innere Keilbein, Entocuneiforme, wendet seine Schneide nach oben und nimmt von hinten nach vorne an Höhe zu; dasselbe ist mit vier Knochen gelenkig verbunden: mit dem Kahnbeine, dem mittleren Keilbeine, dem ersten und zweiten Mittelfussknochen.

Das kleinste zweite oder mittlere Keilbein, *Mesocuneiforme*, wendet seine Schneide gegen die Plantarfläche, die quadratische Fläche dorsalwärts; es articuliert mit vier Knochen: dem Kahnbeine, dem inneren und äusseren Keilbeine und dem zweiten Mittelfussknochen.

Das dritte oder äussere Keilbein. *Ectocuneiforme.* besitzt eine näherungsweise rechteckige Rückenfläche; es steckt zwischen fünf Knochen, mit welchen es gelenkig verbunden ist: dem Kahnbeine, mittleren Keilbeine, dem Würfelbeine, dem zweiten und dritten Mittelfussknochen.





bein, Os cuboideum, von oben.

Fig. 191. Das rechte Würfel- Fig. 192. Das rechte Würfelbein, Os cuboideum, von unten.

Das Würfelbein ist vor dem Fersenbein am äusseren Fussrande gelegen. An der unteren Fläche ragt ein stumpfer Höcker vor, Tuberositas ossis cuboidei, vor welchem eine etwas nach innen und vorne gerichtete Rinne verläuft; dieselbe dient zur Aufnahme der Sehne des M. peronaeus longus. An constanten Gelenkflächen weist das Würfelbein auf: eine hintere zur Verbindung mit dem Fersenbeine; eine innere für das dritte Keilbein; zwei vordere für die Basen des vierten und fünften Mittelfussknochens. Bisweilen kommt eine fünfte sehr kleine Gelenkfläche an der Innenseite des Knochens vor, zur Gelenkverbindung mit dem Kahnbeine.



Fig. 193. Das erste rechte Keilbein.

Os cuneiforme primum, von der Fibularseite.



Fig. 194. Das zweite rechte Fig. 195. Das zweite rechte Keilbein, Os cuneiforme secundum, Keilbein, Os cuneiforme secundum, von der Tibialseite.



von der Fibularseite.



von der Tibialseite.



Fig. 196. Das dritte rechte Keil- Fig. 197. Das dritte rechte Keilbein, Os cuneiforme tertium, bein, Os cuneiforme tertium. von der Fibularseite.

Fibulare Gelenksfacetten: blau; tibiale Gelenksfacetten: roth; distale Gelenksfacetten: gelb.



Fig. 198, Der Mittelfussknochen der grossen Zehe, Os metatarsale primum, von der Plantarseite.



Fig. 199. Der zweite Mittelfussknochen, Os metatarsale secundum, von der Tibialseite.



Fig. 200. Der zweite Mittelfussknochen. Os metatarsale secundum, von der Fibularseite.



Fig. 201. Der dritte Mittel- Fig. 202. Der dritte Mittelfussknochen, Os metatarsale tertium, von der Tibialseite.



fussknochen, Os metatarsale tertium, von der Fibularseite.



Fig. 203. Der vierte Mittelfussknochen, Os metatarsale quartum, von der Tibialseite.



Fig. 204. Der vierte Mittelfussknochen, Os metatarsale quartum, von der Fibularseite.



Fig. 205. Der fünfte Mittelfussknochen, Os metatarsale quintum, von der Tibialseite.



Fig. 206. Der fünfte Mittelfussknochen. Os metatarsale quintum, von der Fibularseite.

Fig. 198—206. Mittelfussknochen, Ossa metatarsalia. Sämmtliche Mittelfussknochen sind der rechten Seite entnommen.

Fibulare Gelenksfacetten: blau; tibiale Gelenksfacetten: roth; proximale Gelenksfacetten: gelb.



Fig. 207. Os metatarsale eines 17jährigen Individuums mit der Epiphysis capituli.



Fig. 208. Os metatarsale I. eines 17jährigen Individuums mit der Epiphysis baseos.

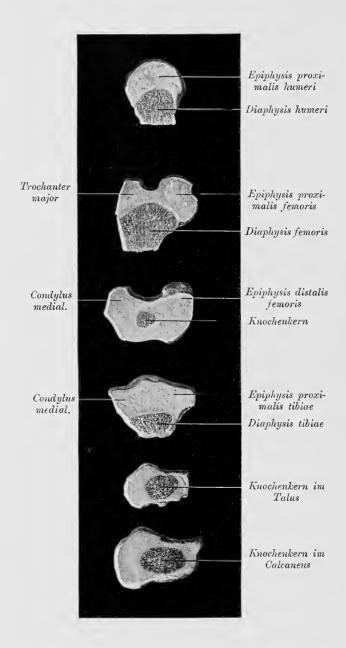
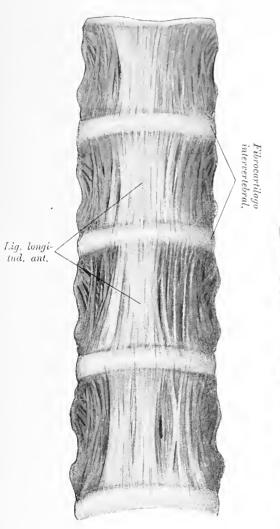
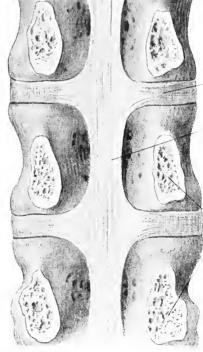


Fig. 209. Knochenkerne eines reifen Neugeborenen.





Fibrocartilago interrertebralis

Ligamentum longitudinale posterius

> Arcus vertebrarum

Fig. 210. Das vordere lange Wirbelsäulenband, Ligamentum long. anterius.

Fig. 211. Das hintere lange Wirbelsäulenband, Ligamentum long. posterius.

Das Lig. longitudinale anterius entspringt vom Atlas, verläuft anfangs schmal, später breiter werdend an der vorderen Fläche der Wirbelsäule und verliert sich im Periost des Kreuzbeins. Das schwächere Lig. longitudinale posterius verläuft an der hinteren Fläche der Wirbelkörper, also im Canalis vertebralis vom Epistropheus an bis zum Kreuzbein; dasselbe verbreitert sich etwas an jeder Zwischenwirbelscheibe.

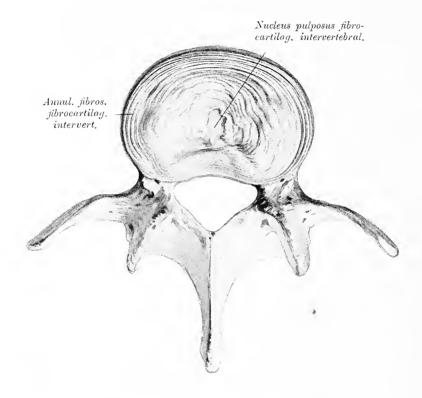


Fig. 212. Bandscheibe, Fibrocartilago intervertebralis.

Jede Zwischenwirbelscheibe besteht aus einem breiten Faserringe, Annulus fibrosus, welcher einen weicheren, am Durchschnitt etwas hervorquellenden Kern, Nucleus pulposus, einschliesst. Mit dem Faserringe ist das Lig. longitudinale anterius und posterius verwachsen.

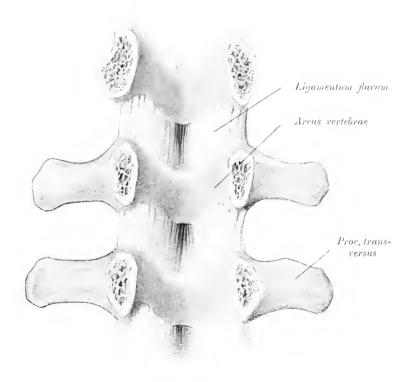


Fig. 213. Die Zwischenbogenbänder. Ligamenta fluva.

Die gelben Bänder bestehen aus elastischen Fasern und sind zwischen je zwei Wirbelbogen ausgespannt, so dass sie vom unteren Rande des oberen Bogens zur hinteren Fläche des unteren Bogens ziehen.

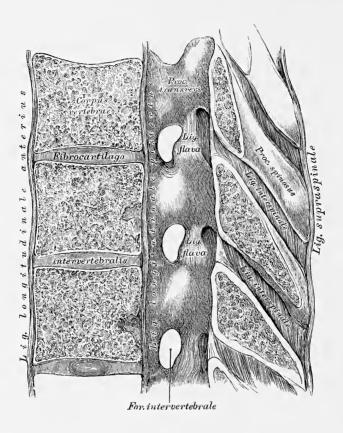


Fig. 214. Die Zwischendornbänder, Ligamenta interspinalia.

Die Ligamenta interspinalia liegen zwischen je zwei Dornfortsätzen; ihr hinterer, verdickter Rand bildet die Spitzenbänder, Ligamenta supraspinalia. Die Spitzenbänder verlaufen vom siebenten Halswirbel bis herunter zur Crista sacralis media; vom siebenten Halswirbel bis zur Protuberantia occipitalis externa bilden sie das starke Nackenband, Ligamentum nuchae.

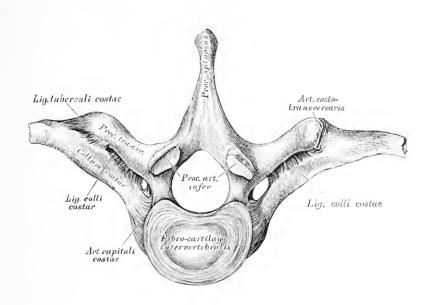


Fig. 215. Gelenke zwischen den hinteren Rippenenden und den Wirbeln. Articulationes capituli costae et costotransversariae, von unten.

Zwischen den Rippenhöckern und den Wirbelquerfortsätzen befinden sich die Articulationes costotransversariae; sie fehlen an der elften und zwölften Rippe. Diese Gelenke werden von dünnen Kapseln umschlossen und verstärkt durch folgende Hilfsbänder: durch das von der Umgebung des Tuberculum costae zur Spitze des Processus transversus des Wirbels ziehende starke Ligamentum tuberculi costae.

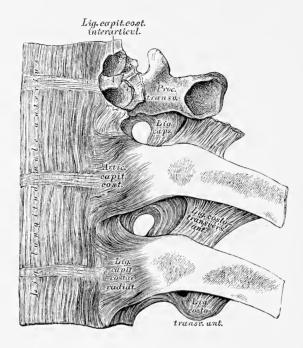
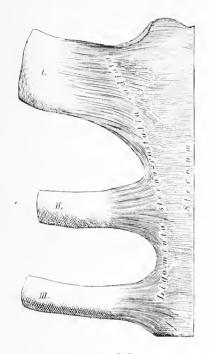


Fig. 216. Gelenke zwischen den hinteren Rippenenden und den Wirbeln, Articulationes capituli costae et costotransversariae,

von vorne.

Zwischen den Rippenköpfehen und den Gelenkgrübehen der Wirbelkörper befinden sich Gelenke, Articulationes capituli costae, umschlossen von einer Kapsel und bedeckt durch das vordere Hilfsband, Ligamentum capituli costae radiatum. Wenn das Gelenkköpfehen der Rippe (zweite bis zehnte Rippe) zwei Gelenkflächen besitzt, dann wird die Gelenkböhle durch das Ligamentum interarticulare (Fortsetzung der Zwischenwirbelscheibe zur Crista capituli) in zwei Theile getheilt. Die Gelenkhöhle der elften und zwölften Rippe ist immer einfach, die der ersten Rippe gewöhnlich einfach.



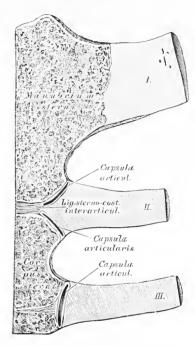


Fig. 217.

Fig. 218.

## Fig. 217 u. 218. Gelenke zwischen den vorderen Rippenenden und dem Brustbeine. Articulationes costosternales,

von vorne (Fig. 217), im Durchschnitte (Fig. 218).

Die Gelenke zwischen den vorderen Rippenenden und dem Brustbeine kommen an der zweiten bis siebenten Rippe vor; der Knorpel der ersten Rippe geht ohne Gelenk in das Manubrium sterni über (Gelenk hier sehr selten). Jedes dieser Gelenke besteht aus einer Capsula articularis, welche an der Vorderseite durch fibröse Bänder bedeckt wird, Ligamenta sternocostalia radiata.

Die Gelenkhöhle zwischen dem Knorpel der zweiten Rippe und dem Sternum ist gewöhnlich durch eine Fortsetzung des zwischen Manubrium und Corpus sterni befindlichen Knorpels zweigetheilt. Die Höhlen der übrigen Costosternalgelenke sind häufig einfach.

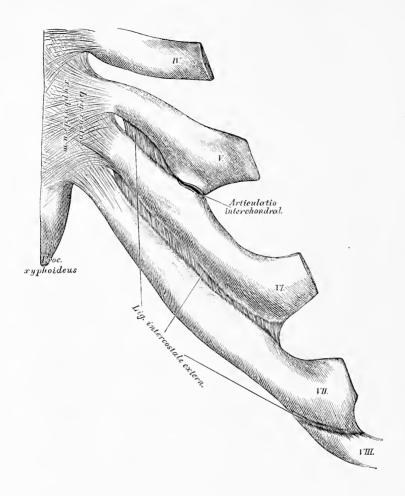


Fig. 219. Gelenke zwischen den vorderen Rippenenden und dem Brustbeine, Articulationes costosternales,

von vorne.

Zwischen den Knorpeln der fünften bis siebenten Rippe und dem Schwertfortsatz des Brustbeines ist das *Ligamentum costoxiphoideum* ausgespannt. Gelenkhöhlen mit Synovialkapseln finden sich bisweilen auch an jenen Stellen vor, wo ein Rippenknorpel an den anderen anstösst, *Articulationes interchondrales*.

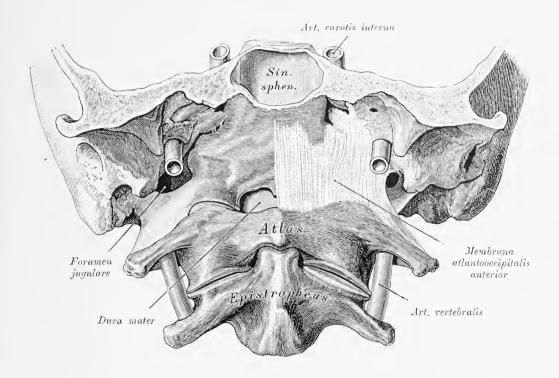


Fig. 220. Membrana atlantooccipitalis anterior.

Der Raum zwischen dem vorderen Halbringe des Atlas und dem vorderen Umfange des Foramen magnum des Hinterhauptbeines wird durch die Membrana atlantooccipitalis anterior ausgefüllt.

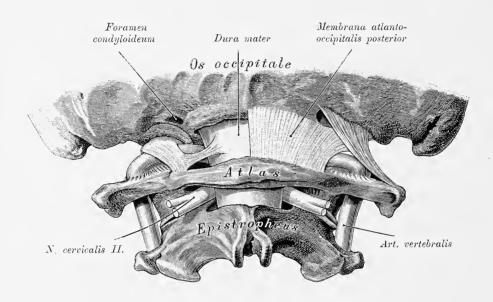


Fig. 221. Membrana atlantooccipitalis posterior.

Der Raum zwischen dem hinteren Halbringe des Atlas und dem hinteren Umfange des Foramen occipitale magnum wird durch die Membrana atlantooccipitalis posterior verschlossen; dieselbe ist schwächer als das vordere Verstopfungsband und wird an seinem äusseren Rande beiderseits durch die Arteria vertebralis, welche im Bogen vom Foramen transversarium des Atlas zum Foramen occipitale magnum hinaufzieht, perforiert.

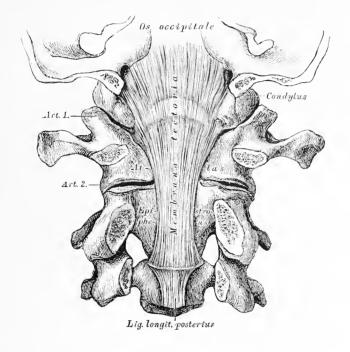


Fig. 222. Bänder zwischen Epistropheus, Atlas und Hinterhauptknochen.

Der Bandapparat zwischen Epistropheus, Atlas und Hinterhaupt wird im Rückenmarkscanale von einer fibrösen Membran gedeckt, die oberhalb des vorderen Randes des Foramen occipitale magnum entspringt und am unteren Rande des Körpers des Epistropheus endet, unmittelbar am Beginne des Ligamentum longitudinale posterius. Man nennt dieses Band Membrana tectoria.

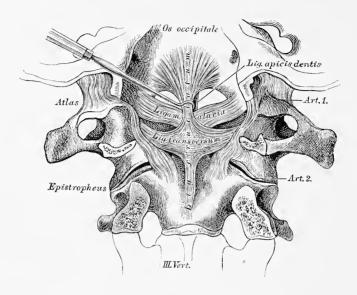


Fig. 223. Die Bänder zwischen Epistropheus, Atlas und Hinterhauptknochen. vom Wirbelcanale aus gesehen.

Das starke Querband, Ligamentum transversum atlantis, drückt den Zahnfortsatz des Epistropheus an die Gelenkfläche des vorderen Halbringes des Atlas. Vom oberen Rande dieses Bandes geht ein Bandschenkel zum vorderen Rande des Foramen occipitale magnum und ein ähnlicher Schenkel von dessen unterem Rande zum Körper des Epistropheus: die senkrechten Schenkel bilden mit dem Lig. transversum das Kreuzband, Ligamentum cruciatum. Der Zahn selbst wird an den vorderen Umfang des Foramen occipitale magnum durch zwei Seitenbänder, Ligamenta alaria, fixiert. Am Bilde sind auch die Gelenkkapseln der Hinterhaupt-Atlasgelenke dargestellt. Keine mechanische Bedeutung hat das Lig. apicis dentis, welches im jugendlichen Zustande Reste der Chorda dorsalis enthält. Der obere senkrechte Schenkel des Kreuzbandes ist etwas bei Seite gezogen, um das Lig. apicis zur Anschauung zu bringen.

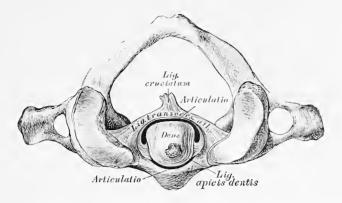


Fig. 224. Die Bänder zwischen Atlas und Epistropheus, von oben.

Durch das um den Zahn des Epistropheus im Bogen gespannte Lig. transversum atlantis wird die Öffnung des Atlas in einen vorderen kleineren und hinteren grösseren Raum getheilt; ersterer ist für den Zahn des Epistropheus bestimmt, letzterer für das Rückenmark. Zwischen der Vorderfläche des Zahnes und der Gelenkfläche des vorderen Halbringes des Atlas, ebenso zwischen der Hinterfläche des Zahnes und dem darüber gespannten Lig. transversum sind Synovialkapseln.

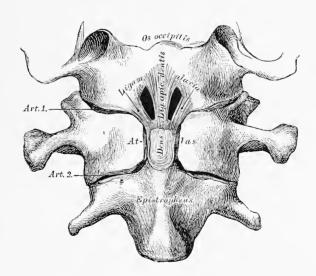


Fig. 225. Das Ligamentum apicis dentis und die Ligamenta alaria, nach Abtragung des vorderen Halbringes des Atlas.

Das Lig. apicis dentis zieht von der Spitze des Zahnes zum vorderen Rande des Hinterhauptloches; die Ligamenta alaria verlaufen von beiden Seiten der Zahnspitze zu den Seitenrändern des Hinterhauptloches und zur Innenfläche der Processus condyloidei.

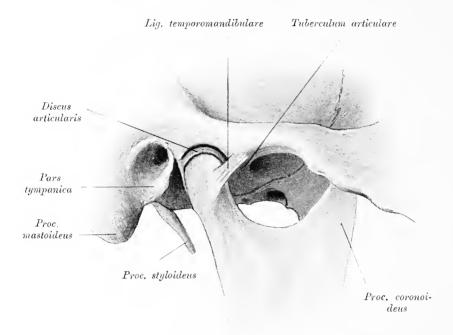


Fig. 226. Das Kiefergelenk, Articulatio mandibularis, der rechten Seite.

Die knöchernen Theile, welche das Kiefergelenk constituieren, sind: die Facies articularis, die Fossa mandibularis, das Tuberculum articulare des Schläfebeines und das Capitulum des Unterkiefers. Die Weichtheile des Gelenkes sind: die dünne und laxe Gelenkkapsel, das äussere Seitenband, Lig. temporomandibulare und der Zwischenknorpel, Discus articularis.

Das Lig. temporomandibulare ist ein kurzes, breites Band, welches vom Processus zygomaticus des Schläfebeines schief nach hinten und unten zum Halse des Gelenkfortsatzes des Unterkiefers geht; die Innenfläche dieses Bandes steht in Verbindung mit dem Zwischenknorpel und der Gelenkkapsel. Das innere Seitenband und das Lig. stylomandibulare haben mit dem Gelenksmechanismus nichts zu thun.

Kiefergelenk 159



Fig. 227. Das linke Kiefergelenk. von innen.

Das *Ligamentum sphenomandibulare* ist ein langes schmales Band, nicht verbunden mit der Gelenkkapsel: dasselbe zieht von der *Spina angularis* des Keilbeines zur *Lingula* des Unterkiefercanales.

Das *Ligamentum stylomaxillare* geht vom Griffelfortsatze des Schläfebeines zum Winkel und hinteren Rand des Unterkieferastes.

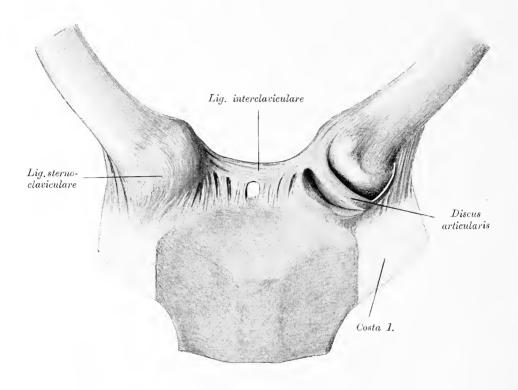


Fig. 228. Das Brustbein-Schlüsselbeingelenk, Articulatio sternoclavicularis.

Die fibröse Kapsel dieses Gelenkes ist besonders an der vorderen Fläche stark; die Verstärkung wird Lig. sternoclaviculare genannt; die Gelenkhöhle ist durch einen Zwischenknorpel, Discus articularis, abgetheilt, dessen Peripherie mit der fibrösen Kapsel innig verbunden erscheint. Als Verstärkungsbänder dienen: das zwischen beiden Schlüsselbeinen ausgespannte Ligamentum interclaviculare und das vom ersten Rippenknorpel zur unteren rauhen Fläche der Extremitas sternalis des Schlüsselbeines ziehende Ligamentum costoclaviculare.



Fig. 229. Das rechte Schlüsselbein-Schulterblattgelenk,

Articulatio aeromioclaricularis.

Die fibröse Kapsel dieses Gelenkes wird durch das *Ligamentum acromio-claviculare* verstärkt; in der Gelenkhöhle findet sich ein Zwischenknorpel in verschiedenem Grade entwickelt vor.

Das Schlüsselbein wird an den *Proc. coracoideus* durch das kräftige *Ligamentum coracoclaricularc* befestigt, dessen dorsaler dreieckiger Theil *Ligamentum conoideum*, dessen ventraler viereckiger Theil *Ligamentum trapezoideum* heisst.

Zwischen dem Acromion und dem Processus coracoideus ist als fibröses Gewölbe das starke Ligamentum coracoacromiale ausgespannt. Die Incisura scapulae am oberen Rande des Schulterblattes wird durch das Ligamentum transversum superius in ein Loch (zum Durchtritte des Nerv. suprascapularis) umgewandelt.

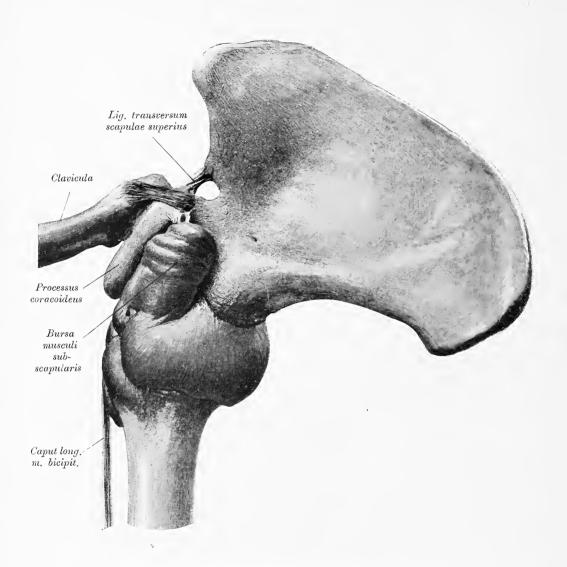


Fig. 230. Das rechte Schultergelenk, von innen.

Der Gelenkraum ist injiciert. Man sieht die stark ausgedehnte Bursa musculi subscapularis, sowie an der Sehne des Biceps die Vagina mucosa intertubercularis. Das Gelenk befindet sich infolge der Injection in der Mittellage.

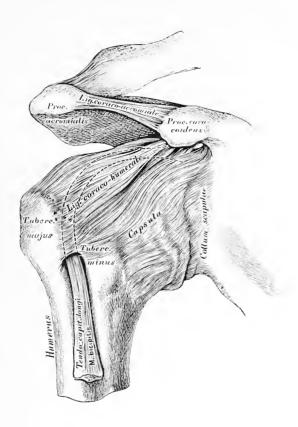


Fig. 231. Das rechte Schultergelenk. Articulatio humeri.

Das Schultergelenk ist von einer fibrösen Kapsel eingehüllt, deren Verstärkungsband als Ligamentum coracohumerale bezeichnet wird. Das Gelenk ist allseitig frei, nur am oberen Umfange wird es durch das brückenförmig zwischen Acromion und Proc. coracoideus ausgespannte Lig. coracoacromiale überwölbt. Die fibröse Kapsel, welche vom Umfange der Cavitas glenoidalis des Schulterblattes bis zum anatomischen Halse des Oberarmbeines reicht, übersetzt den Sulcus intertubercularis zwischen beiden Oberarmbeinhöckern, wodurch die Furche in einen Canal umgewandelt wird.

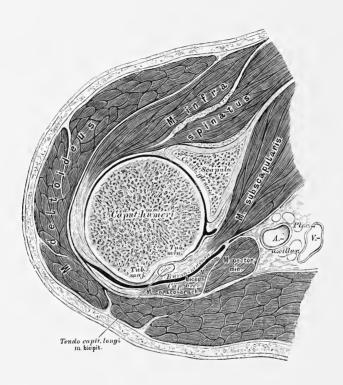


Fig. 232. Horizontalschnitt durch die rechte Schulter in der Höhe des Tuberculum majus.

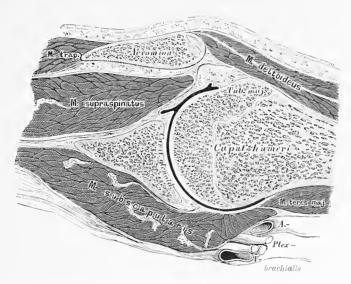


Fig. 233. Frontaler Schnitt durch die Schulter bei horizontal gestelltem Arme.

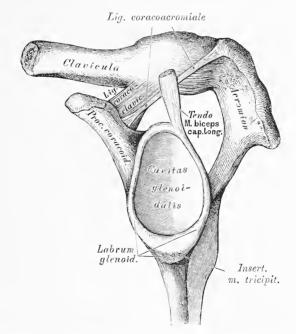


Fig. 234. Die Gelenkfläche des linken Schulterblattes.

Die überknorpelte Gelenkfläche wird durch Ansatz eines fibrocartilaginösen Ringes, Labrum glenoidale, vergrössert. Die Ursprünge des M. biceps (Caput longum) und des M. triceps (Caput longum) sind sichtbar.

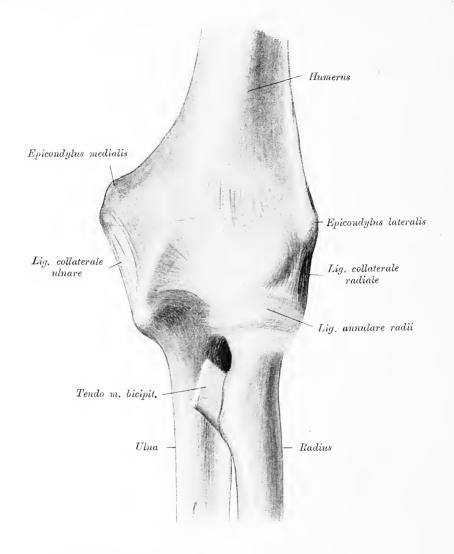


Fig. 235. Das linke Ellbogengelenk, Articulatio cubiti, von vorne mit geschlossener Kapsel.

Das Ellbogengelenk wird durch drei Knochen constituiert: das Oberarmbein, die Ulna und den Radius; dasselbe besteht auch aus drei Theilen, und diese sind:

1. Die Articulatio humeroulnaris, gebildet einerseits von der Rolle des Oberarmbeines, andererseits von der Incisura semilunaris der Ulna (Beugung—Streckung):

2. die Articulatio humeroradialis, gebildet einerseits vom Capitulum des Oberarmbeines, andererseits von der napfförmigen Gelenkfläche des Capitulum radii (Beugung-Streckung, Drehung);

3. die Articulatio radioulnaris superior, gebildet einerseits von der überknorpelten Circumferentia articularis radii, andererseits von der Incisura radialis der Ulna (Pronation—Supination).

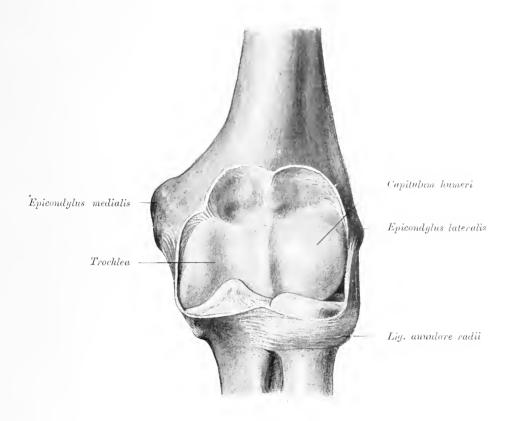


Fig. 236. Linkes Ellbogengelenk, Articulatio cubiti, von vorne geöffnet.

Die drei das Ellbogengelenk zusammensetzenden Gelenkkörper besitzen eine gemeinsame fibröse Kapsel, welche oberhalb der Rolle und des Capitulam humeri inseriert und bis an den Rand der Incisura semilunaris der Ulna herabreicht; an dem Radius ist dieselbe nicht direct befestigt, sondern geht in das Ringband, Ligamentum annulare, über, welches das Radiusköpfchen umgreift und am vorderen und hinteren Ende der Incisura radialis der Ulna haftet. Auch von den zwei Seitenbändern. Lig. collateralia, ist nur das innere direct an der Ulna befestigt; das äussere geht in das Ligamentum annulare radii über.

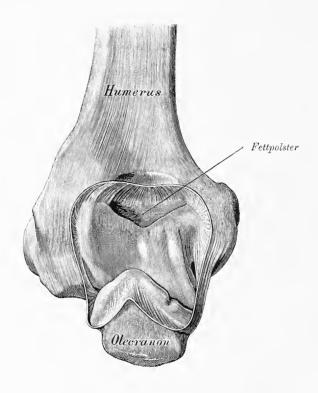


Fig. 237. Linkes Ellbogengelenk, Articulatio cubiti, von hinten geöffnet.

Der Vorderarm befindet sich in gebeugter Stellung. Man sieht die Rolle, das Olecranon, den Fettpolster oberhalb der Rolle und die Insertionslinie der Kapsel. Das Capitulum mit dem Radius liegen ventral.

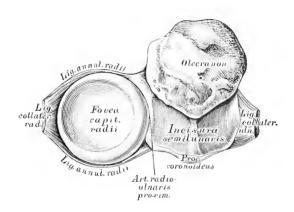


Fig. 238. Das Ligamentum annulare, von oben.

Der Halbmondausschnitt, *Incisura semilunaris*, umfasst die Rolle des Oberarmbeines; der diesen Ausschnitt in zwei Hälften theilende First entspricht der Furche der Rolle. Der Gelenknapf des Radiusköpfchens, *Fovea capituli radii*, gleitet auf dem *Capitulum* des Oberarmbeines, sowohl bei Beugung und Streckung, wie bei Pronation und Supination.

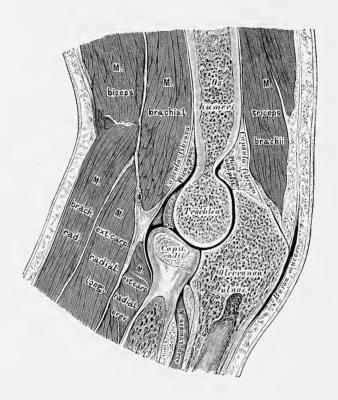


Fig. 239. Sagittalschnitt durch das Ellbogengelenk.

Die *Plicae synoviales*, deren Substrat von Fettpolstern gebildet wird, füllen die *Fossa olecrani* und *F. coronoidea* aus; vgl. auch Fig. 237.

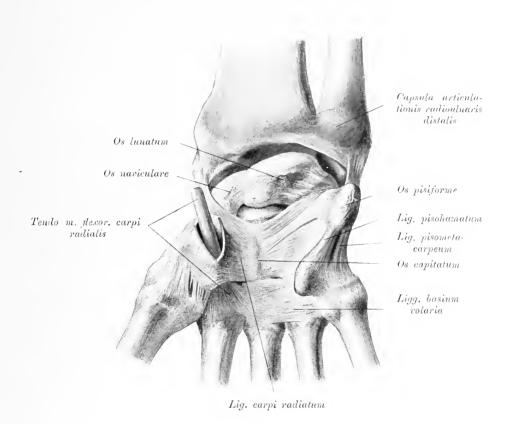


Fig. 240. Volare Bänder des Handgelenkes.

Das Ligamentum radiocarpale volare wurde entfernt und dadurch das Radiocarpalgelenk geöffnet. Präpariert sind die Bänder des Intercarpal- (das vom Capitatum ausstrahlende Lig. radiatum) und des Carpometacarpalgelenkes sowie die Sehnenscheide des M. flexor carpi radialis.

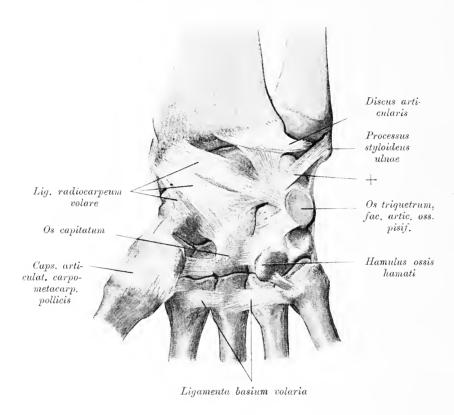


Fig. 241. Volare Bänder des Handgelenkes.

Dargestellt sind: das Lig. radiocarpale volare, die Ligg. basium volaria, sowie die nach Abtragung des Lig. radiat. zum Vorschein kommenden tiefen Bänder. Vom Proc. styloideus zieht ein starkes Bändehen (+) zum Os triquetrum.

Handgelenk. 173

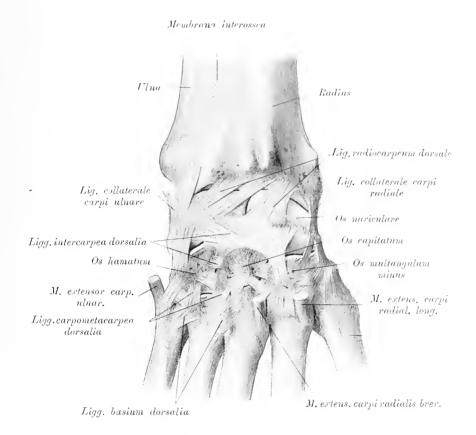


Fig. 242. Dorsale Bänder des Handgelenkes.

Die fibröse Kapsel der Articulatio radiocarpalis wird an der Dorsalseite durch das Ligamentum radiocarpeam dorsale verstärkt, welches vom Radius zur ersten Reihe der Carpalknochen zieht. Zwischen Processus styloideus radii und Os naciculare ist das Ligamentum collaterale radiale ausgespannt; zwischen Processus styloideus ulnar und Os triquetrum das Ligamentum collaterale ulnare. Die Articulatio intercarpea und die Articulatio carpometacarpea werden durch kurze straffe Bänder verstärkt.

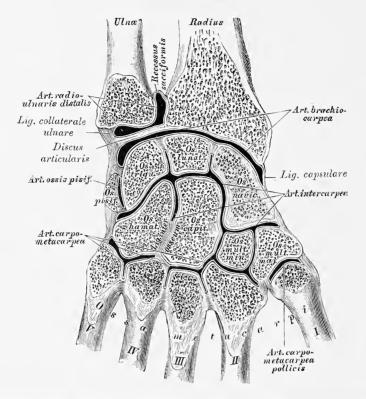


Fig. 243. Die rechten Handwurzel- und Mittelhandgelenke

An der Handwurzel kommen folgende Gelenke in Betracht:

- 1. Die Articulatio radioulnaris distalis zwischen Capitulum ulnae, Incisura semilunaris radii und oberer Fläche des Discus articularis (Pronation—Supination):
- 2. die Articulatio radiocarpalis seu Articulatio carpi zwischen der unteren Gelenkfläche des Radius, der unteren Fläche des Discus articularis einerseits und der gewölbten oberen Fläche der drei ersten Handwurzelknochen der oberen Reihe andererseits (in beiden Beugung Streckung und Randbewegungen);
- 3. die *Articulatio intercarpea* zwischen der oberen und unteren Handwurzelreihe (Beugung, Streckung und Randbewegungen);
  - 4. die Articulatio ossis pisiformis, isoliert;
- 5. die Articulatio carpometacarpea der vier letzten Mittelhandknochen mit der unteren Handwurzelreihe (straffe Gelenke);
- 6. die Articulatio carpometacarpea pollicis, isoliert (Sattelgelenk, Beugung Streekung, Ab- und Adduction).

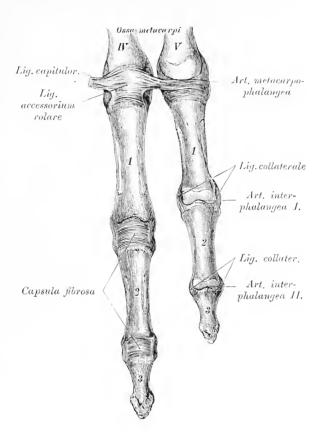


Fig. 244. Die Fingergelenke des vierten und fünften Fingers der rechten Hand, von der Volarseite.

An jedem Finger wird unterschieden:

- 1. Die Articulatio metacarpophalangea zwischen Köpfehen des Mittelhandknochens und Basis der ersten Phalanx; die fibröse Kapsel ist an der Volarseite stark verdickt Ligamentum accessorium volare; die Seitenbänder schwach. Die Art. metacarpophalangea pollicis ist ein Winkelgelenk (Beugung Streckung); die übrigen Finger besitzen daselbst freie Gelenke (Beugung Streckung, Ab- und Adduction;
- 2. die Articulatio interphalangea prima zwischen Trochlea der ersten und Basis der zweiten Phalanx (Beugung Streckung);
- 3. die Articulatio interphalangea secunda zwischen Trochlea der zweiten und Basis der dritten Phalanx (Beugung Streckung). 2. und 3. haben starke Seitenbänder.

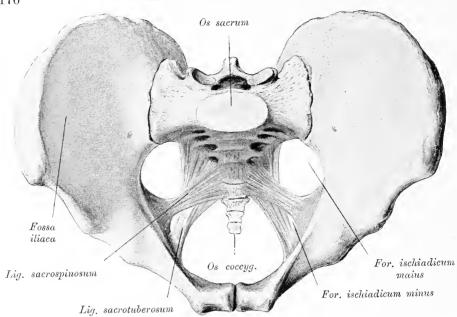


Fig. 245. Männliches Becken mit Bändern, von oben.

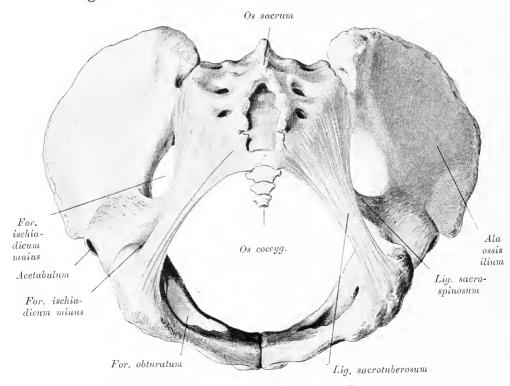


Fig. 246. Männliches Becken mit Bändern, von unten.

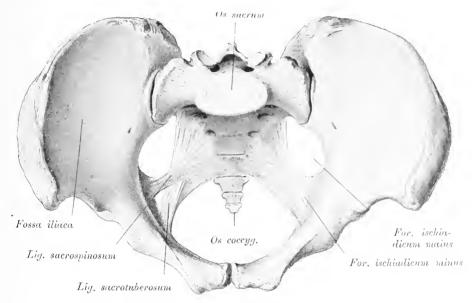


Fig. 247. Weibliches Becken mit Bändern. von oben.

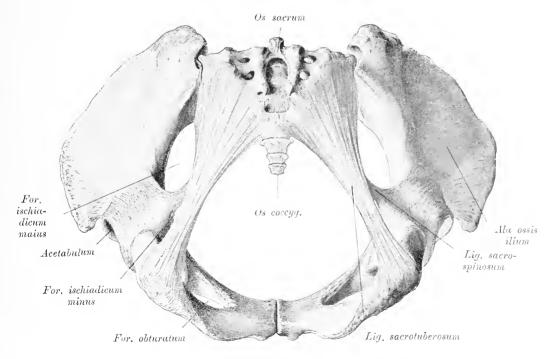


Fig. 248. Weibliches Becken mit Bändern, von unten.

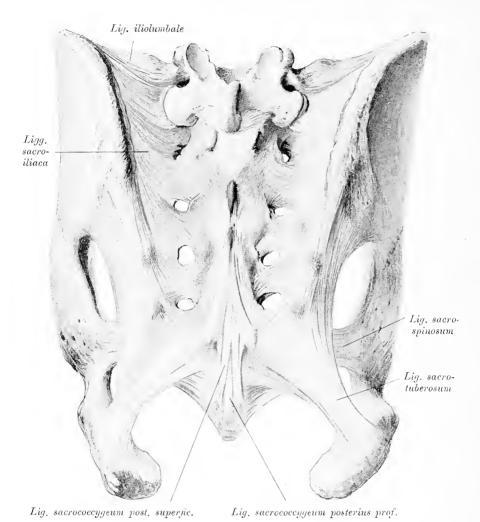


Fig. 249. Dorsale Bänder der Articulatio sacroiliaca.

Zu diesen Bändern gehören die *Ligamenta sacroiliaca posteriora*; ferner die *Ligamenta sacrotuberosa* und *sacrospinosa*. Siehe auch Fig. 248.

Ein schwaches *Ligamentum sacroiliacum anterius* findet sich als Verstärkung der vorderen Kapselwand, während das *Ligamentum sacroiliacum posterius*, eingeschoben zwischen der *Tuberositas ossis ilii* und der *Massa lateralis* des Kreuzbeines, durch

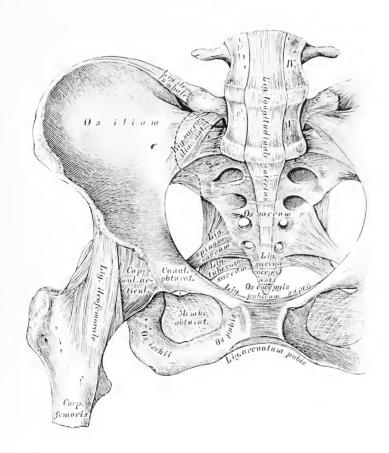


Fig. 250. Ventrale Bänder der Articulatio sacroiliaca.

besondere Stärke auffällt. Als Verstärkungsbänder treten überdies an der Vorderseite das vom Querfortsatze des fünften Lendenwirbels zum Hüftbein ziehende, in zwei Schenkel getheilte Ligamentum iliolumbale: an der hinteren Seite das Ligamentum sacroiliacum longum et breve auf. Zwischen Hüft- und Kreuzbein sind ferner ausgespannt: das Sitzknorren-Kreuzbeinband, Ligamentum sacrotuberosum, vom Sitzknorren zur Spina posterior inferior des Darmbeines und zum Rande des Kreuz- und Steissbeines verlaufend, und das Sitzstachel-Kreuzbeinband, Ligamentum sacrospinosum, von der Spina ossis ischii zum Rande des Kreuz- und Steissbeines gehend. Diese beiden Bänder helfen das Foramen ischiadicum maius und Foramen ischiadicum minus bilden.

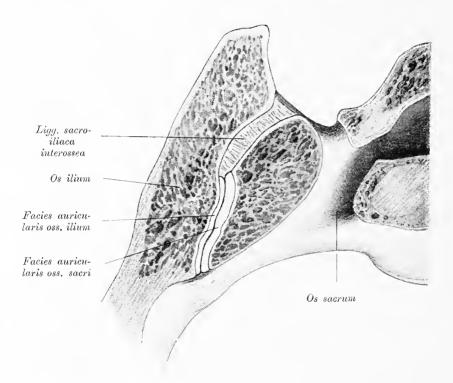


Fig. 251. Das Kreuz-Hüftbeingelenk, Articulatio sacroiliaca, im Horizontal-Durchschnitte.

Das Lig. sacroiliacum gliedert sich in eine oberflächliche und eine tiefliegende Portion. Erstere ist auf Fig. 249, letztere auf Fig. 251 zu sehen.

Os pubis

Lig. arcuatum pubis

Fig. 252. Die Symphysis ossium pubis, im Frontalschnitte.

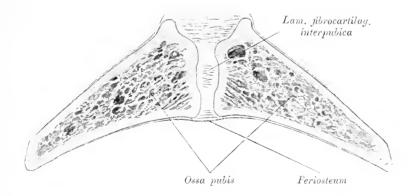


Fig. 253. Symphysis ossium pubis. Horizontalschnitt.

Der Schnitt ist in Fig. 252 senkrecht, in Fig. 253 horizontal durch die Symphyse geführt und zeigt den zwischen den Knochen liegenden Faserknorpel, Lamina zibrocartilaginea interpubica, der einen weicheren Kern und eine kleine Höhle besitzt. Verstärkungsbänder sind das Lig. pubicum superius und das Lig. arcuatum pubis.

182 Hüftgelenk.

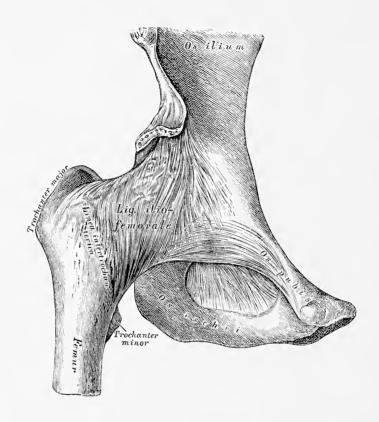


Fig. 254. Das rechte Hüftgelenk, Articulatio coxae, von vorne.

Die fibröse Kapsel des Hüftgelenkes inseriert am Umfange des knöchernen Pfannenrandes einerseits und an der Vorderseite des Oberschenkelknochens an der Linea intertrochanterica andererseits. Als Verstärkung der vorderen Kapselwand dient das kräftige, von der Spina anterior inferior des Darmbeines entspringende Ligamentum iliofemorale Bertini, welches zur Linea intertrochanterica herabsteigt.

Hüftgelenk.

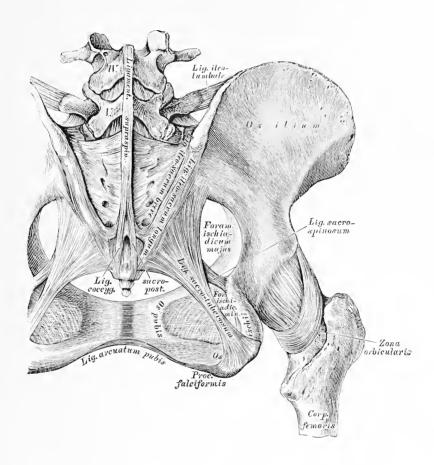


Fig. 255. Bänder an der hinteren Seite des Hüftgelenkes.

Die Lüngsfasern der Kapsel werden von schrüg verlaufenden Bündeln gekreuzt, deren Zone als Zona orbicularis bezeichnet wird.

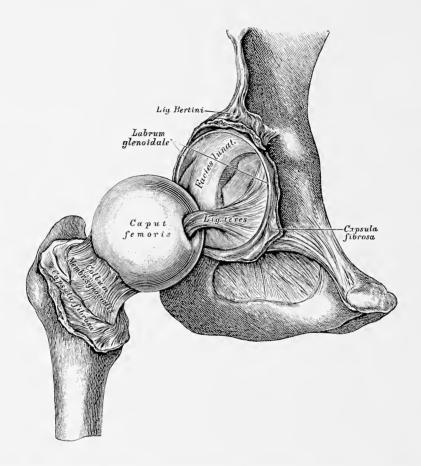


Fig. 256. Das rechte Hüftgelenk, Articulatio coxae, von vorne, geöffnet.

Am knöchernen Umfange der Pfanne haftet ringsum ein faserknorpeliger Ring, Labrum glenoidale; an der Stelle der Incisura acetabuli bildet dieser Ring eine Brücke. Von der Foveola des Oberschenkelkopfes zieht zur Fossa acetabuli das runde Band, Ligamentum teres. Die fibröse Kapsel des Hüftgelenkes ist in der Figur aufgeschnitten und zurückgelegt dargestellt; es wird ersichtlich, dass an der vorderen Seite der Schenkelhals vollständig von dem synovialen Theile der Kapsel eingehüllt ist.

Kniegelenk, 185

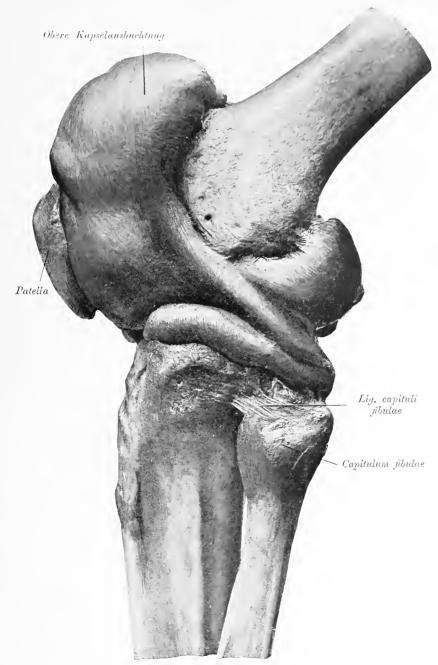


Fig. 257. Synovialkapsel eines linken Kniegelenkes. von aussen.

Am injicierten Gelenk wurde die fibröse Kapsel sammt den Verstärkungsbändern entfernt. Die Synovialkapsel heftet sich nahe der Knorpelgrenze an, nur an der Facies patellaris greift sie höher hinauf.

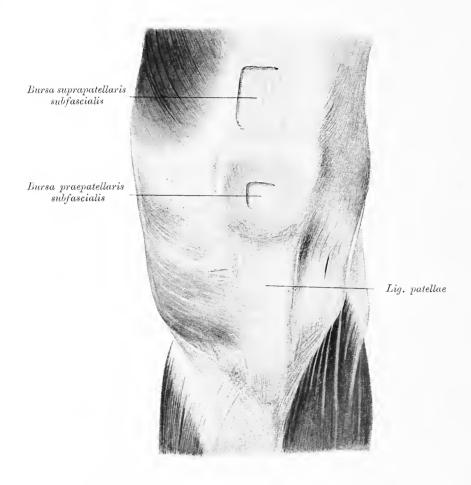


Fig. 258. Kniegelenk, von vorne.

Die fibröse Kapsel des Gelenkes wird zu beiden Seiten des *Lig. patellae* durch Fortsätze der Quadricepssehne, *Retinacula patellae* genannt, gebildet, welche an den Knorren der *Tibia* sich festsetzen.

Kniegelenk. 187

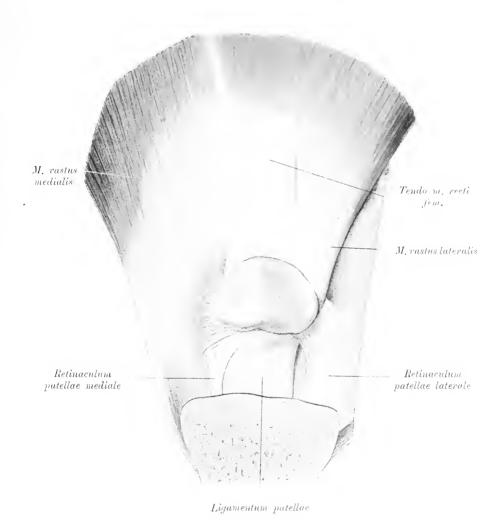


Fig. 259. Retinacula patellae, von innen.

M. quadriceps mit der Patella von innen präpariert. Oberes Ende der Tibia frontal durchschnitten. Die Synovialmembran wurde entfernt, um die fibrösen Kapselabschnitte zu zeigen.

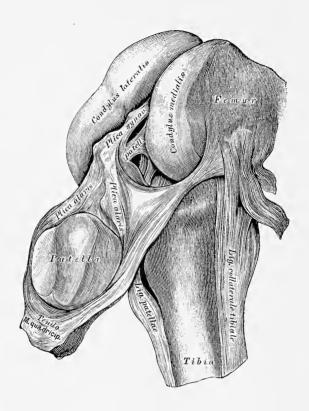


Fig. 260. Die Flügelbänder, *Plicae alares*, des rechten Kniegelenkes.

Die das Kniegelenk auskleidende Synovialhaut erzeugt seitlich von der Patella zwei Falten, die wulstig, reichlich mit Fett versehen erscheinen und in ein dünnes Band, Plica synovialis patellaris, übergehen, welches von der Insertionsstelle des Ligamentum cruciatum anterius zur Fossa intercondyloidea des Oberschenkelbeines zieht.

Kniegelenk, 189

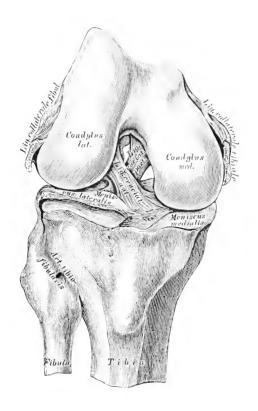


Fig. 261. Die Kreuzbänder, Ligamenta cruciata, des rechten Kniegelenkes. von vorne.

Die Kreuzbänder haften einerseits an den Innenflächen der Oberschenkelcondylen und andererseits vor und hinter der Eminentia intercondyloidea des Schienbeines. Das vordere Kreuzband, Ligamentum cruciatum anterius, zieht von der Innenfläche des Condylus lateralis zur Grube vor der Eminentia intercondyloidea; das hintere
Kreuzband, Ligamentum cruciatum posterius, von der äusseren Fläche des Condylus
medialis zur Grube hinter der Eminentia intercondyloidea.

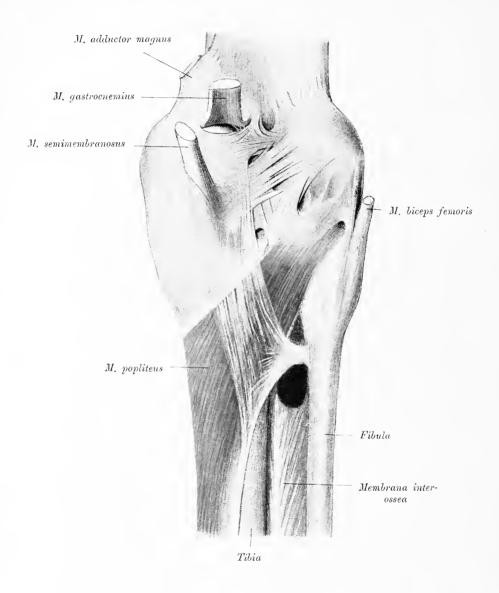


Fig. 262. Hintere Wand der Kniegelenkskapsel.

In das schräg von aussen oben nach innen unten ziehende Lig. popliteum obliquum strahlt die Sehne des M. semimembranosus ein. Die Kapsel ist überdies mit der Fascie des M. popliteus verbunden.

Kniegelenk. 191

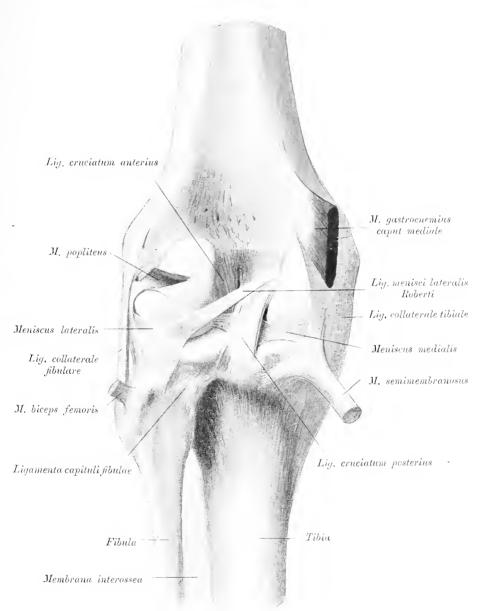


Fig. 263. Die Kreuzbänder. Ligamenta cruciata. des linken Kniegelenkes. von hinten.

Der laterale Meniscus verbindet sich mit der lateralen Fläche des Condylus medialis femoris durch das Ligamentum menisci lateralis Roberti,

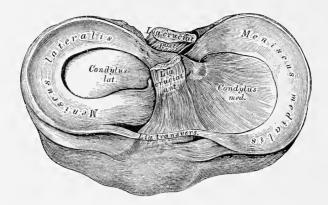


Fig. 264. Die halbmondförmigen Zwischenscheiben, Menisci.

Der convexe verdickte Rand eines jeden Meniscus ist gegen die Kapsel gerichtet, der concave zugeschärfte Rand gegen die Eminentia intercondyloidea der Schienbeinknorren. Der innere Meniscus ist schwächer gekrümmt und mit dem Ligamentum collaterale tibiale verwachsen. Die vorderen Enden dieser Knorpel sind durch ein Ligamentum transversum verbunden, dieselben inserieren vor, die hinteren Enden hinter der Eminentia intercondyloidea.

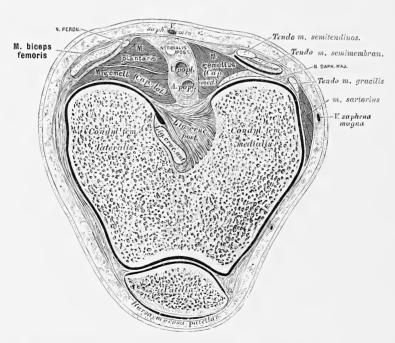


Fig. 265. Horizontalschnitt durch das Kniegelenk in der Höhe der Condylen des rechten Oberschenkels.



Fig. 266. Sprunggelenk, von vorne.

Membrana interossea cruris



Fig. 267. Sprunggelenk, von hinten.

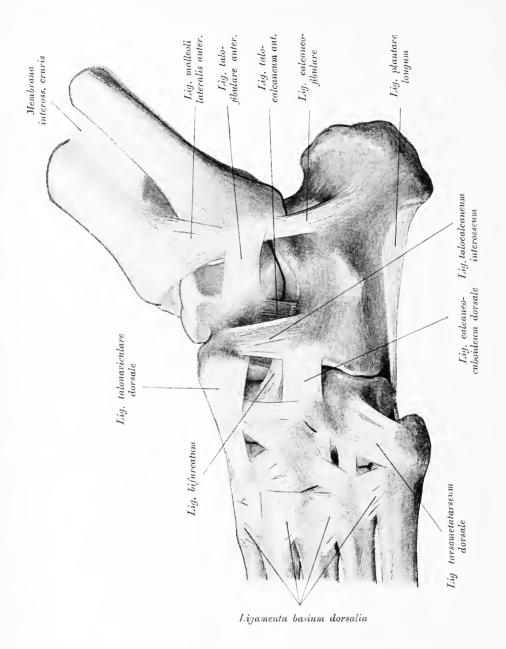


Fig. 268. Die dorsalen Bänder der Fussgelenke.

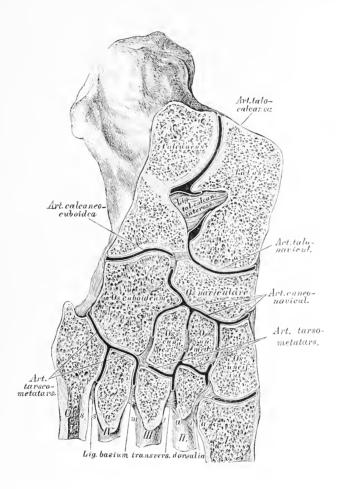


Fig. 269. Die Gelenke der Fusswurzelknochen.

Articulationes intertarseae et tarsometatarseae, im Horizontalschnitte.

Von den Fusswurzelgelenken besitzen gemeinschaftliche Synovialkapseln: 1. die Articulatio talonavicularis; 2. die Articulatio calcaneocuboidea; 3. die drei Articulationes naviculocuneiformes; 4. die Art. naviculocuboidea und cubocuneiformis; 5. die Articulatio cuneometatarsea secunda et tertia; 6. die Articulationes cubometatarseae und 7. die Articulatio cuneometatarsea prima.

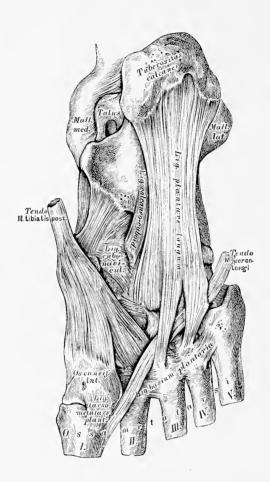


Fig. 270. Die plantaren Bänder der Fussgelenke.

Das Lig. plantare longum überbrückt die Furche des Os cuboideum, in welcher die Sehne des M. peronaeus longus verläuft. Die Sehne des M. tibialis posterior strahlt mit diesem lateralen Antheil in die tiefen Bänder ein.

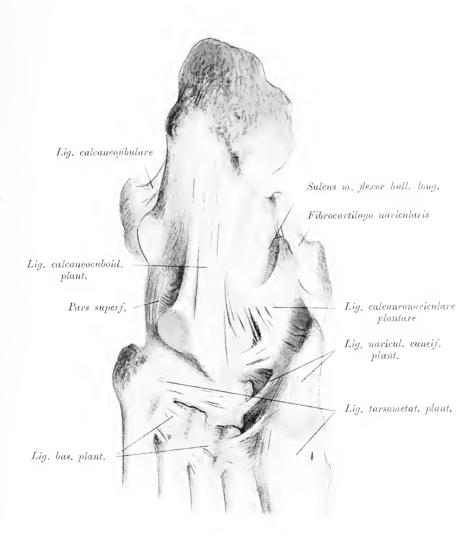


Fig. 271. Die plantaren Bänder der Fussgelenke.

Die den Sulcus ossis cuboidei überbrückenden Antheile des Lig. plantare longum, sowie die Bündel des M. tibialis posterior, welche zu den Basen der Mittelfussknochen ziehen, wurden abgetragen.

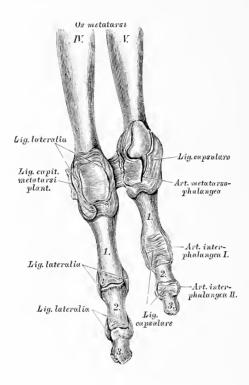


Fig. 272. Die Zehengelenke der vierten und fünften Zehe des rechten Fusses, von der Plantarseite.

Wie an den Fingern, unterscheidet man an den Zehen: 1. die Articulatio metatarsophalangea; 2. die Art. interphalangea prima; 3. die Art. interphalangea secunda. Sümmtliche Gelenke besitzen Ligamenta lateralia; die Art. metatarsophalangeae an der Plantarflüche überdies rollenartig gefurchte Verdickungen der Gelenkkapsel (Ligamentum transversum). In diese Verdickung der Kapsel sind an der grossen Zehe zwei Sesambeine, Ossa sesamoidea, eingetragen (siehe Fig. 274).

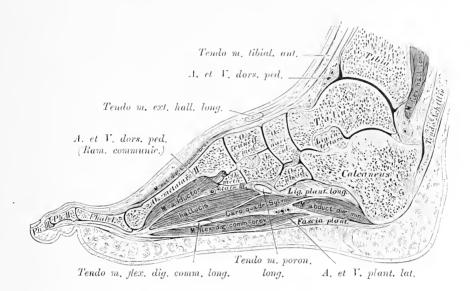


Fig. 273. Sagittalschnitt durch den rechten Fuss in der Ebene der zweiten Zehe. 1/2 nat. Grösse.

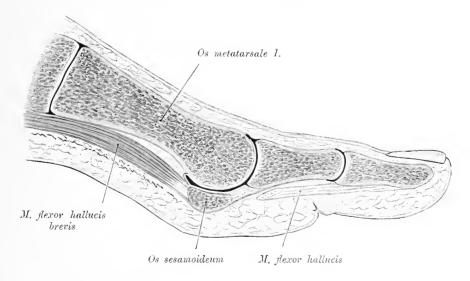


Fig. 274. Os sesamoideum mediale am Sagittalschnitt.

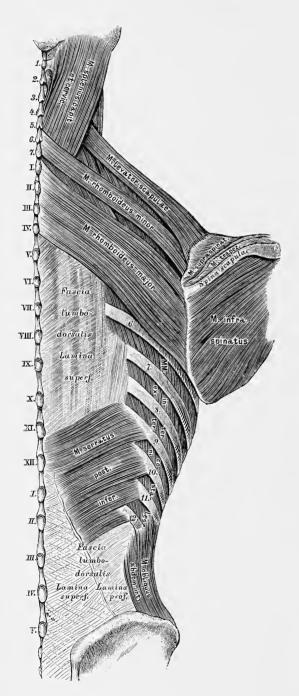


Fig. 275. Fascia lumbodorsalis, M. serratus post. inf. und M. splenius capitis et cervicis.

M. serratus posterior inferior. Urspr.: Fascia lumbodorsalis in der Gegend des XI., XII. Brustu. I., II. Lendenwirbels. Insert.: an der 8.—12. Rippe.

Innervation: N. intercostales, Ram. ventrales.

M. splenius capitis et cervicis. Urspr.: Dornfortsätze des 3. Halsbis V. Brustwirbels. Insert.: Linea nuchae superior des Hinterhauptbeines, hinterer Rand des Processus mastoideus des Schläfenbeines; Querfortsätze der zwei oder drei oberen Halswirbel. (Dreher des Kopfes und des Halses.)

Innervation: N. occipitalis magnus.

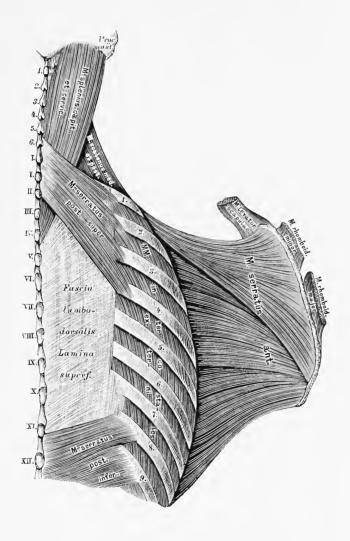
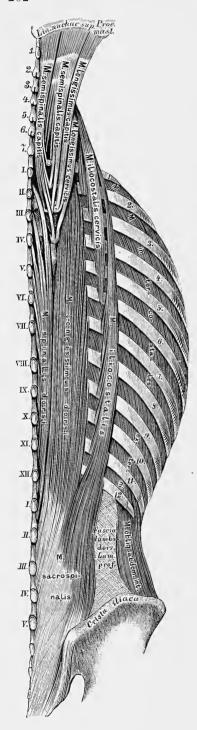


Fig. 276. Fascia lumbodorsalis und M. serratus posterior superior.

M. serratus posterior superior. Urspr.: Dornfortsätze des 6., 7. Hals- und I., II. Brustwirbels. Insert.: 2.—5. Rippe. Rippenheber.)

Innervation: N. intercostales. Rami ventrales.



## Fig. 277. Die langen Rückenmuskeln.

M. sacrospinalis, der gemeinschaftliche Rückgratstrecker. Urspr.: hintere Fläche des Kreuzbeines, *Tuberositas*, und hinterer Theil der *Crista iliaca*, Dornfortsätze der Lendenwirbel.

In der Gegend des I. Lendenwirbels theilt sich der Muskel in den:

a) M. iliocostalis, der mit zwölf Zacken an den zwölf Rippen inseriert; von den sechs bis sieben unteren Rippen kommen Verstärkungsbündel. Die analogen Bündel von den fünf bis sechs oberen Rippen vereinigen sich zum M. iliocostalis cervicis, der zu den Querfortsätzen des 6.—4. Halswirbels geht.

b) M. longissimus dorsi inseriert mit zehn Zacken an den Tuberculis der Rippen (ohne I. und XII.) und den Querfortsätzen der Brustwirbel. Seine Fortsetzung ist der M. longissimus cervicis; derselbe kommt von den Querfortsätzen der vier oberen Rücken- und zwei unteren Halswirbel und geht zu den Querfortsätzen der fünf oberen Halswirbel. (Beiderseits wirkend Strecker, einerseits wirkend Dreher der Wirbelsäule.)

Der Kopftheil des M. longissimus wird bezeichnet als: M. longissimus capitis. Urspr.: Quer- und Gelenkfortsätze der vier unteren Hals- und drei oberen Brustwirbel. Insert.: hinterer Rand des Proc. mastoideus. (Rückwärtszieher und Dreher des Kopfes.)

M. spinalis dorsi. Urspr.: Dornfortsütze der zwei oberen Lenden- und drei unteren Brustwirbel. Insert.: an den Dornfortsützen des VIII.—П. Brustwirbels. (Strecker.)

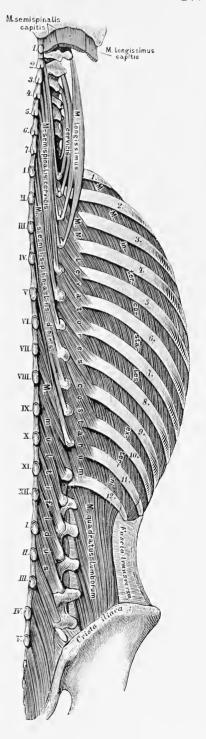
## Fig. 278. Die langen Rückenmuskeln u. die M. levatores costarum.

M. spinalis cervicis. Geht von den Dornfortsätzen der unteren Hals- und der oberen zwei Brustwirbel zu den Dornfortsätzen der oberen Halswirbel, ohne Atlas. (Strecker.)

M. semispinalis dorsi. Urspr.: Querfortsätze des VI.—X1. Brustwirbels. Insert.: mit sechs Sehnen an den Dornfortsätzen des 7. Hals- und der fünf oberen Brustwirbel. (Seitwärtsbieger und Dreher der Wirbelsäule.)

M. semispinalis cervicis. Urspr.: Querfortsätze der oberen Brustwirbel. Insert.: mit vier Zacken an den Dornfortsätzen des 2.—5. Halswirbels.

Der M. semispinalis capitis. Urspr.: mit sieben Bündeln von den Querfortsätzen der vier unteren Hals- und drei oberen Brustwirbel und den Gelenkfortsätzen des 3.—6. Halswirbels; Inscriptiones tendineae. Insert.: zwischen Linea nuchae sup. und inf. des Hinterhauptbeines. (Rückwärtszieher des Kopfes.)



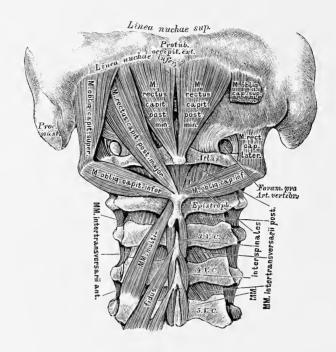


Fig. 279. M. multifidus und die kurzen Nackenmuskeln.

Musculus multifidus: Urspr.: von der Crista sacralis lateralis und vom Processus spinosus des V. Lendenwirbels bis zum Proc. transvers. des 4. Halswirbels und zum Dornfortsatz des 2. Halswirbels.

MM. levatores costarum, die Rippenheber (Fig. 278). Urspr.: Querfortsätze des 7. Hals- bis XI. Brustwirbels. Insert.: an der nächst unteren Rippe. An den unteren Rippen sind die MM. levatores costarum longi, die zur zweitnächsten Rippe gehen.

MM. interspinales. Mit Ausnahme des III.—X. Brustwirbels zwischen je zwei Dornfortsätzen gelagert.

MM. intertransversarii, zwischen je zwei Querfortsätzen; an den Hals- und Lendenwirbeln beiderseits doppelt als MM. intertransversarii antici et postici; an den oberen Brustwirbeln fehlend, an den unteren beiderseits einfach.

Innervation der Rückenmuskeln: Rami posteriores der Spinalnerven.

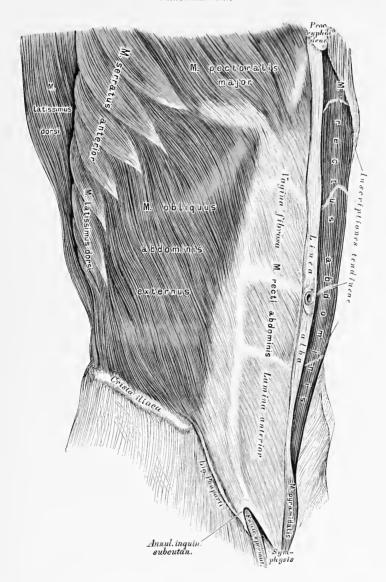


Fig. 280. Die vorderen Bauchmuskeln. M. obliquus ext., M. rectus.

M. rectus abdominis, der gerade Bauchmuskel. Urspr.: äussere Fläche des 5. bis 7. Rippenknorpels und des Schwertfortsatzes. Insert.: oberer Rand des Schambeines und vordere Fläche der Schamfuge. Die von den Aponeurosen der breiten Bauchmuskeln gebildete fibröse Scheide des geraden Bauchmuskels bedeckt die ganze vordere Fläche desselben, während sie an der hinteren Fläche zwei bis drei Querfinger breit unter dem Nabel als Linea semicircularis Douglasi aufhört.

als Linea semicircularis Douglasi aufhört.

M. pyramidalis abdominis. Urspr.: oberer Rand der Schamfuge. Insert.: an der Vagina fibrosa des geraden Bauchmuskels.

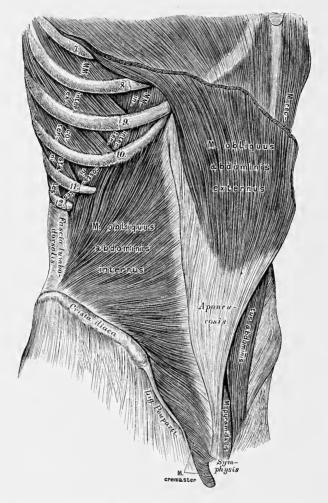


Fig. 281. Die vorderen Bauchmuskeln, M. obliquus externus und internus.

M. obliquus abdominis externus, der äussere schiefe Bauchmuskel. Urspr.: äussere Fläche der 5. oder 6.—12. Rippe. Insert.: am Labium externum des Darmbeinkammes und an einer breiten Aponeurose, welche sich am Ligamentum inguinale Poupartii befestigt und als Vagina fibrosa des geraden Bauchmuskels vor demselben zur Linea alba zieht. 25 cm nach aussen von der Schamfuge befindet sich in der Aponeurose die dreieckige Öffnung des Leistencanals, des Annulus inguinalis subcutaneus.

M. obliquus abdominis internus, der innere schiefe Bauchmuskel. Urspr.: Labium medium des Darmbeinkammes. Spina anterior superior und äussere Hälfte des Lig. inguinale Pouparti; er geht in eine Aponeurose über, welche sich in zwei Blätter spaltet, deren vor dem Rectus befindliches der ganzen Länge der Bauchwand entspricht, während das hintere Blatt nur bis zur Linea Douglasi reicht. Vom unteren Rande dieses und des queren Bauchmuskels gehen schlingenförmige Muskelbüudel zum Samenstrang herab — Musculus cremaster.

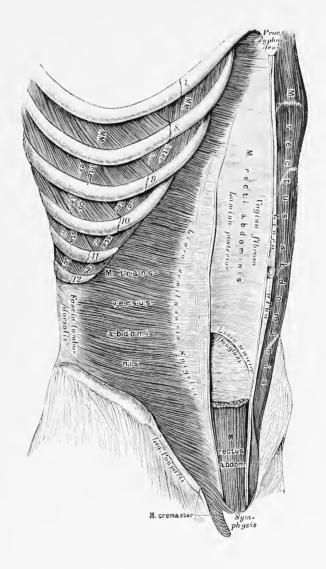


Fig. 282. Die vorderen Bauchmuskel, M. transversus, Rectusscheide.

M. transversus abdominis, der quere Bauchmuskel. Urspr.: innere Fläche des 7.—12. Rippenknorpels, tiefliegendes Blatt der Fascia lumbodorsalis, Labium internum des Darmbeinkammes und äussere Hälfte des Lig. Pouparti. Insert.: an eine Aponeurose bogenförmig als Linea semilunaris Spigelii; die Aponeurose verstärkt oben die bintere Wand.

unten die vordere Wand der fibrösen Scheide des geraden Bauchmuskels.

Als hinterer Bauchmuskel wird der *M. quadratus lumborum* bezeichnet. *M. quadratus lumborum*, der viereckige Lendenmuskel (siehe Fig. 278 u. 285).

Urspr.: hinterer Abschnitt des Darmbeinkammes, V. Lendenwirbel und *Lig. ileolumbale*. Insert: Querfortsätze der vier oberen Lendenwirbel und unterer Rand der 12. Rippe.

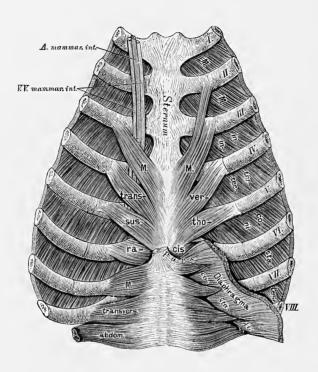


Fig. 283. M. transversus abdominis et thoracis, von innen.

M. transversus thoracis an der hinteren Fläche des Brustbeines und der Rippenknorpel. Urspr.: Schwertfortsatz und Körper des Brustbeines. Insert.: in flachen Zacken an der hinteren Fläche des III.—VI. Rippenknorpels.

Innervation der Bauchmuskeln: Rami anteriores der unteren N. intercostales und der zwei oberen N. lumbales.

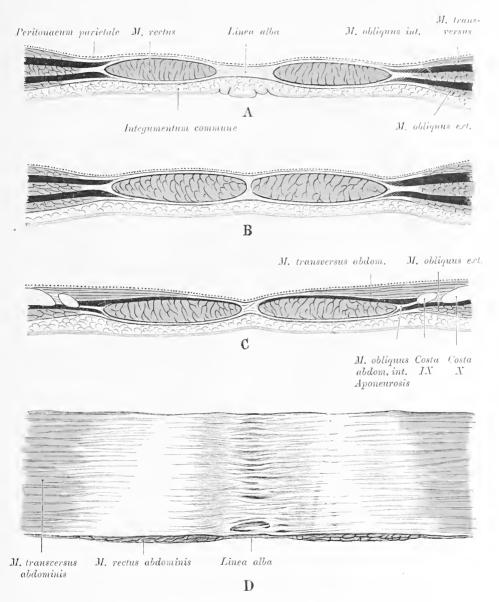


Fig. 284. Querschnitte durch die vordere Bauchwand.

- A: Querschnitt entsprechend der Nabelgegend.
- B: Durchschnitt zwischen Nabel und Symphyse oberhalb der Linea semicircularis (Douglasi).
  - C: Querschnitt entsprechend den vorderen Enden des IX. und X. Rippenknorpels.
  - D: Vordere Bauchwand von innen nach Ablösung des Bauchfelles.

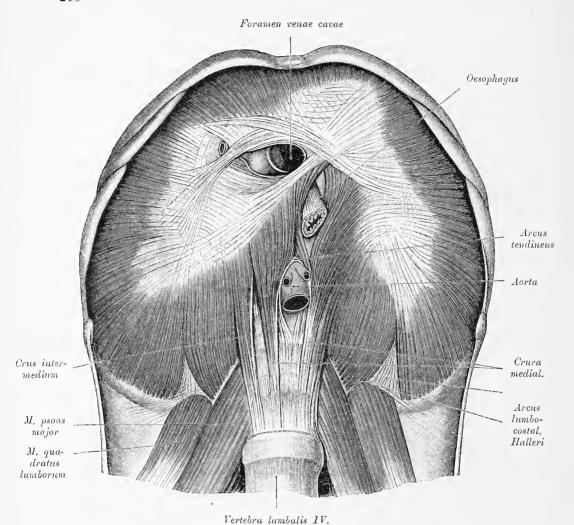


Fig. 285. Das Zwerchfell, Diaphragma. Untere Fläche.

7 1 0

Das Zwerchfell besteht aus einer Pars muscularis und einer Pars tendinea.

Die Pars muscularis zerfüllt in die Pars lumbalis, die Pars costalis und die Pars sternalis.

Die Pars lumbalis wird durch drei Schenkelpaare gebildet. Das innere Schenkelpaar, Crura medialia, entspring: von der Vorderfläche des III. und IV. Lendenwirbels; die Schenkel verbinden sich, um den Aortenschlitz, Hiatus aorticus, zu bilden. Ein Theil der Muskelbündel kreuzt sich hierauf mit denen der anderen Seite und begrenzt so den Hiatus oesophageus. Das mittlere Schenkelpaar entspringt von der Seitengegend des II. Lendenwirbels. Zwischen Crus mediale und intermedium tritt der N. splanchnicus durch. Das äussere Schenkelpaar entspringt an einem Sehnenbogen, der vom Körper des II. Lendenwirbels zum Querfortsatze dieses Wirbels und von hier zur letzten Rippe zieht (Arcus lumbocostatis Halleri).

Die Pars costalis entspringt von der Spitze der letzten Rippe an bis zum 7. Rippenknorpel. Die Pars sternalis entsteht mit zwei kleinen Zacken am Processus xiphoideus. Die Pars muscularis geht in das Centrum tendineum über, welches kleeblattförmig ist und im rechten Lappen das Foramen venae cavae enthält.

Zwerchfell. 211

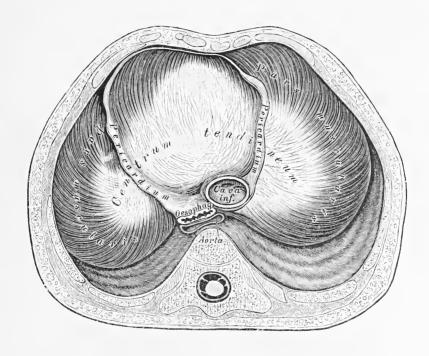


Fig. 286. Das Zwerchfell, *Diaphragma*, eines älteren Kindes.

Obere Fläche.

Der musculöse Theil des Zwerchfells dacht beiderseits gegen die Rumpfwand ab und begrenzt mit derselben den *Pleurasinus*, der je nach dem Füllungszustande der Lungen bald geschlossen, bald geöffnet ist.

Der grössere Antheil des *Centrum tendineum* wird von der unteren Wand des Herzbeutels eingenommen, auf der das Herz aufruht.

Innervation: Nn. phrenici.



Fig. 287. Die Muskeln und Fascien der Kopfhaut und des Gesichtes.

- 1. Muskeln des Schädeldaches (M. epicranius):
- M. frontalis. Ursprung: Arcus superciliar. Insertion: Galea aponeurotica.
  M. occipitalis. Urspr.: Linea nuchae super. des Hinterhauptbeines. Insert.: Galea aponeurotica.
  - 2. Muskeln der Augenlidspalte:
- M. orbicularis oculi. Urspr.: Lig. palpebrarum mediale, Proc. nasalis des Oberkiefers und Thränenbein. Er zerfällt in die Pars palpebralis, Pars orbitalis und Pars lacrimalis (Horneri).
  - M. ciliaris auf den Augenlidern dicht an den Lidrändern (Schliesser).
- M. corrugator supercilii. Urspr.: unter dem M. frontalis und orbicularis an der Glabella; geht in die beiden ihn deckenden Muskeln über.
  - 3. Muskel der Ohrmuschel:
  - Mm. auricularis ant., sup. und posterior.

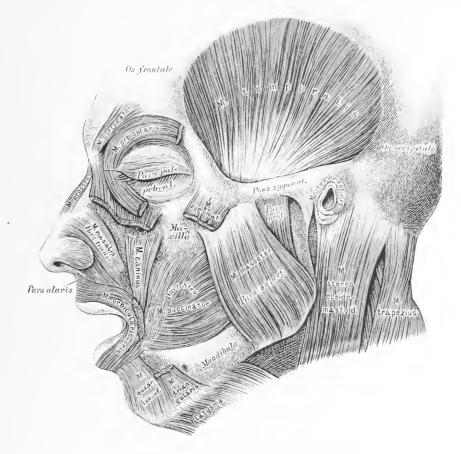


Fig. 288. Die Muskeln des Gesichtes.

- 4. Muskeln des Mundes.
- M. quadratus labii superioris. Ursprung: unterer Augenhöhlenrand. Ende: Haut des Nasenflügels und der Oberlippe. Die laterale Partie dieses Muskels wird als Caput zygomaticum, die mediale als Caput infraorbitale und angulare bezeichnet.
  - M. zygomaticus. Urspr.: Jochbein. Ende: Mundwinkel.
  - M. risorius. Urspr.: Fascia parotideomasseterica. Ende: Mundwinkel.
  - M. triangularis. Urspr.: Unterkieferrand. Ende: Mundwinkel.
  - M. caninus. Urspr.: Fossa canina. Ende: Mundwinkel.
  - M. quadratus labii inferioris. Urspr.: Unterkieferrand. Ende: Unterlippen- und Kinnhaut.
- M. buccinator. Urspr.: Raphe pterygomandibularis, Tub. maxillare, Proc. alveolaris des Ober- und Unterkiefers.
- M. orbicularis oris. Ringförmiger Muskel des Mundes. unmittelbar unter der Mucosa oris gelegen. Er bezieht seine Fasern hauptsächlich vom M. buccinatorius und von den Zahnfächern der 4 Eckzähne. Ende: Lippen.
  - 5. Muskel der Nase.
- M. nasalis. Urspr.: Von der Region des oberen Eckzahnes zum Nasenrücken  $_{\parallel}P$ . transversa), vom Eckzahn zur Cart. alaris (P. alaris).

Innervation: N. facialis.

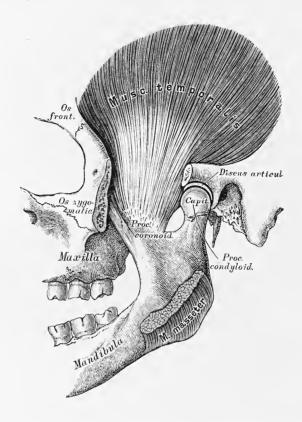


Fig. 289 u. 291. Die Muskeln des Unterkiefers, von aussen.

M. temporalis, der Schläfenmuskel. Urspr.: Planum temporale des Schädels und Innenfläche der Fascia temporalis. Insert.: unter dem Jochbogen am Proc. coronoideus des Unterkiefers. (Heber und Zurückzieher des Unterkiefers.)

M. masseter (Fig. 288), der Kaumuskel. Urspr.: Jochbogen mit einer oberflächlichen und einer tiefen Portion. Insert.: Aussenfläche des Unterkieferastes bis zum Kieferwinkel. (Heber und Vorwärtszieher des Unterkiefers.)

M. pterygoideus internus, innerer Flügelmuskel. Urspr.: Fossa pterygoideu des Keilbeines. Insert.: Innenfläche des Unterkieferwinkels. (Hebung des Unterkiefers.)

M. pterygoideus externus, äusserer Flügelmuskel. Urspr.: Äussere Fläche der Lamina externa des Flügelfortsatzes und des grossen Keilbeinflügels. Insert.: mit starker Sehne am Halse des Processus condyloideus des Unterkiefers, an der Innenwand der Kapsel und des Zwischenknorpels des Unterkiefergelenkes. (Beiderseits wirkend Vorwärtsbeweger; einerseits wirkend Seitenbeweger des Unterkiefers.)

Innervation: N. trigeminus. Ram. III.

Fig. 290. Die Muskeln des Unterkiefers (die Mm. pterygoidei), von innen.

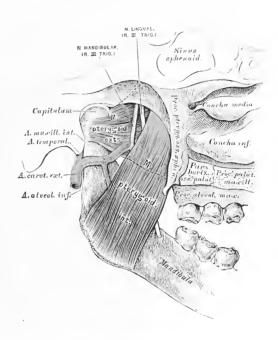
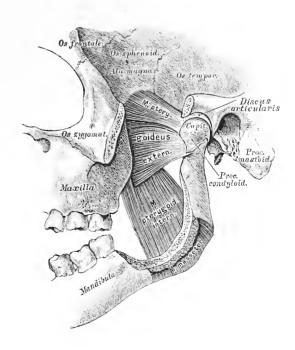


Fig. 291. Die Muskeln des Unterkiefers (die Mm. pterygoidei), von aussen.



216 Halsmuskeln.

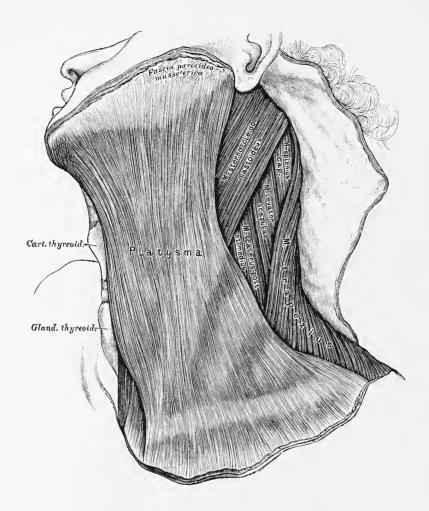


Fig. 292. Der Hautmuskel des Halses.

Platysma, Hautmuskel des Halses. Urspr.: Haut der Brust und Fascia pectoralis in der Gegend der zweiten Rippe. Insert. der inneren, sich kreuzenden Bündel: am unteren Rande des Unterkiefers; der übrigen in der Haut des Gesichtes und in der Fascia parotideomasseterica. (Herabzieher des Unterkiefers und des Mundwinkels.)

Innervation: N. facialis.

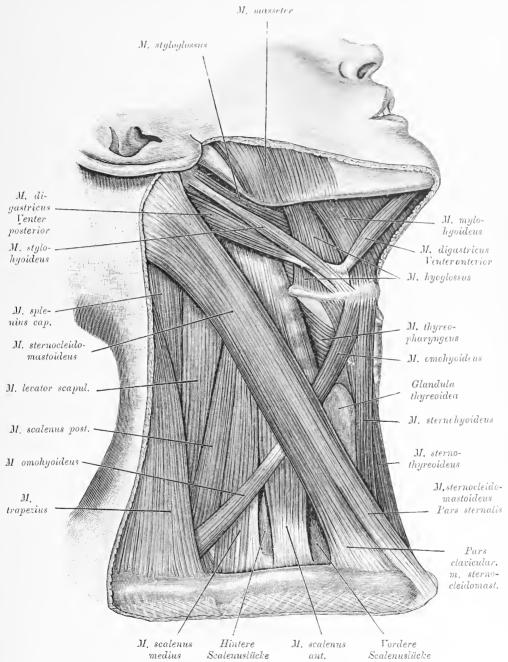


Fig. 293. Die vorderen Halsmuskel, von der Seite.

M. sternocleidomastoideus, Kopfwender. Urspr. vom Manubrium sterni und von der Extremitas sternalis claviculae. Insert.: am Processus mastoideus und an der Linea nuchae superior. (Einseitig wirkend Dreher auf die Gegenseite und Neiger des Kopfes; doppelseitig wirkend Strecker des Halses; bei fixiertem Kopfe Heber des Brustkastens.)

Innervation: N. accessorus,

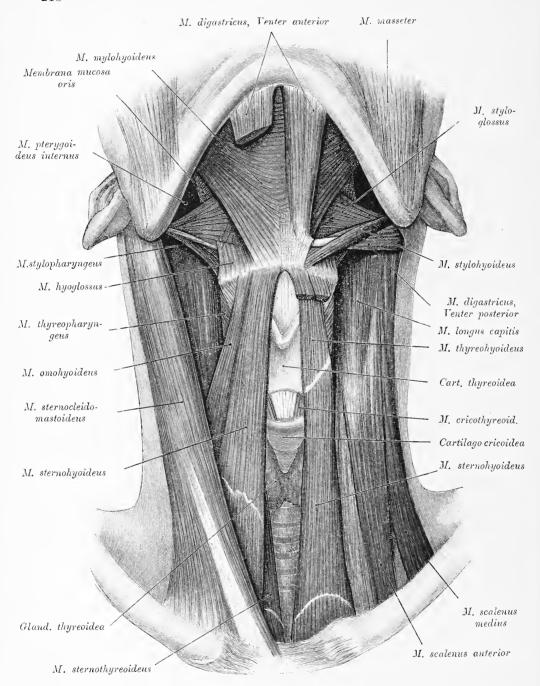


Fig. 294.

## Fig. 294. Die Halsmuskeln.

M. digastricus, zweibäuchiger Unterkiefermuskel. Urspr. des hinteren Bauches: aus der Incisura mastoidea; des vorderen Bauches: am unteren Kinnrande, die mittlere Sehne an den Zungenbeinkörper geheftet. Herabzieher des Kiefers.

Innervation: Hinterer Bauch vom N. facialis, vorderer Bauch vom N. mylohyoideus.

Zungenbeinmuskeln (Heber des Zungenbeines):

M. stylohyoideus, Griffel-Zungenbeinmuskel. Urspr.: Basis des Proc. styloideus. Insert.: am oberen Rande des Zungenbeines.

Innervation: N. facialis.

M. mylohyoideus. Urspr.: Linea mylohyoidea des Unterkiefers. Insert. der äusseren Fasern: an der Vorderfläche der Zungenbeinbasis; der inneren: in einer medialen sehnigen Raphe.

Innervation: N. mylohyoideus vom dritten Ast des Trigeminus.

- M. omohyoideus, Schulterblatt-Zungenbeinmuskel. Urspr.: am oberen Schulterblattrande neben der Incis. scapulae, oder an deren Querbande, zweibäuchig, bogenförmig verlaufend. Insert.: an der Basis des Zungenbeines (Spanner der Fascia colli profunda).
- M. sternohyoideus, Brustbein-Zungenbeinmuskel. Urspr.: hintere Fläche des Manubr. sterni. Insert.: unterer Rand des Zungenbeinkörpers. Unter diesem:
- M. sternothyreoideus, Brustbein-Schildknorpelmuskel. Urspr.: hintere Fläche des Manubr. sterni und oberer Rand des ersten Rippenknorpels. Insert.: an der Seitenplatte des Schildknorpels (Inscriptio tendinea).
- M. thyreohyoideus, Schildknorpel-Zungenbeinmuskel. Urspr.: an der Schildknorpelplatte. Insert.: am unteren Rande des Zungenbeines (Basis und grosses Horn). Innervation: N. hypoglossus.

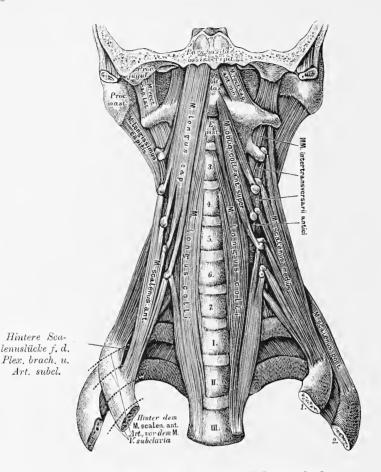


Fig. 295. Die tiefen Halsmuskeln.

Muskeln an der Seitengegend der Halswirbelsäule (Heber der 1. und 2. Rippe bei fixiertem Halse; Dreher und Vorwärtsbeuger des Halses bei fixierten Rippen):

M. scalenus anterior, der vordere Rippenhalter. Urspr.: Querfortsätze des 3.—6. Halswirbels. Insert.: am oberen Rande der 1. Rippe, Tuberculum scaleni Lisfrancii.

M. scalenus medius, der mittlere Rippenhalter. Urspr.: Querfortsätze aller sieben Halswirbel. Insert.: oberer Rand und äussere Fläche der 1. Rippe.

M. scalenus posterior, der hintere Rippenhalter. Urspr.: Querfortsätze des 5.—7. Halswirbels. Insert.: äussere Fläche der 2. Rippe.

Zwischen dem *M. sternocleidomastoideus* und dem *M. scalenus anterior* befindet sich die vordere, zwischen dem *M. scalenus anterior* und *M. scalenus medius* die hintere Scalenuslücke.

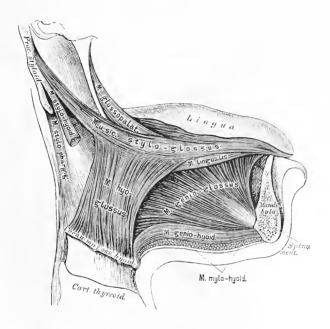


Fig. 296. Die Zungenmuskeln.

M. geniohyoideus, Kinn-Zungenbeinmuskel. Urspr.: an der Spina mentalis. Insert.: an der Basis des Zungenbeines.

M. genioglossus, Kinn-Zungenmuskel. Entspringt an der Spina mentalis und geht in das Zungenfleisch über. (Herabzieher und Vorstrecker der Zunge.)

M. hyoglossus, Zungenbein-Zungenmuskel. Urspr.: oberer Rand der Basis. des grossen und kleinen Hornes des Zungenbeines. Insert.: am hinteren Seitenrande der Zunge. (Herabzieher der Zunge.)

M. styloglossus, Griffel-Zungenmuskel. Urspr.: Processus styloideus und Lig. stylomaxillare. Insert.: am Seitenrande der Zunge im Zungenfleisch. (Einseitig wirkend Seitwärtszieher, doppelseitig wirkend Rückwärtszieher der Zunge.)

Innervation: N. hypoglossus.

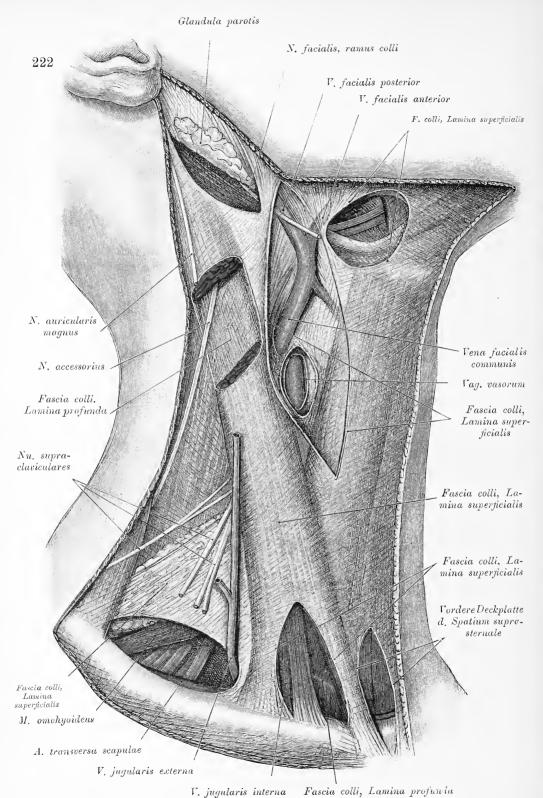


Fig. 297. Fascien des Halses.

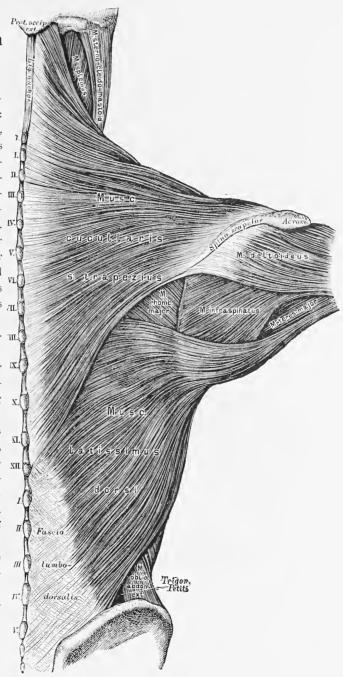
## Fig. 298. Die breiten Rückenmuskeln.

M. trapezius, Каpuzenmuskel. Urspr.: Linea nuchae superior, Protuberantia externa des Hinterhauptbeines, Ligamentum nuchae, Dornfortsätze des siebenten Hals- m wirbels und aller Brustwirbel, Ligamenta interspinalia. IS. Insert.: hinterer Rand der Spina scapulae, innerer Rand des Acromion und Extremitas acromialis des Schlüsselbeins. (Dreher des 📶 Schulterblattes.)

Innervation: N. acces- m. sorius und Cervicaläste.

M.latissimus dorsi, der breiteste Rückenmuskel. Urspr.: breitsehnig (F. lumbodorsalis) von den Dornfortsätzen der vier bis sechs unteren Brustwirbel, aller Lenden- und Kreuzwirbel, dem Labium externum des Darmbeinkammes und den untersten Rippen. Insert.: Crista tuberculi minoris des Oberarmbeines, vereinigt mit der Endsehne des M. teres major. (Rückwärtszieher des Armes.)

Innervation: N. thoracodorsalis.



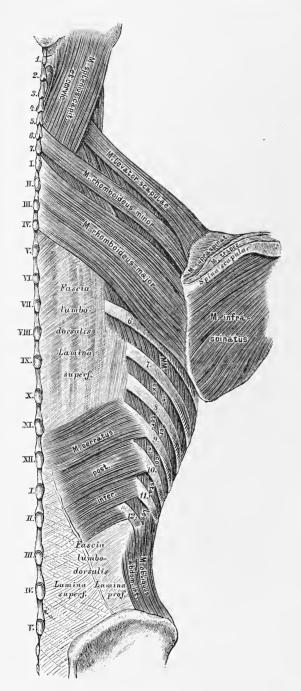


Fig. 299. Mm. rhomboid., Levator scapulae.

MM. rhomboideus major et minor. Urspr.: Dornfortsätze der zwei unteren Halswirbel und der vier oberen Brustwirbel. Insert.: am inneren Rande des Schulterblattes. (Dreher des Schulterblattes und Anzieher desselben.)

Innervation: N. dorsalis scapulae.

M. levator scapulae. Urspr.:
Querfortsätze der vier oberen
Halswirbel. Insert.: innerer
oberer Winkel des Schulterblattes. (Hebt diesen Winkel.)

Innervation: N. accessorius und Nn. cervicales.

M. sternocleidomastoid, M. traperius M. pectoralis major, pars claricularis M. deltoidens M. coracobrachialis M. biceps M. latissimus dorsi M. pectoralis major, pars sternocostalis M. serratus anterior M. obliquus abdominis externus M. pectoralis major, pars abdominalis

Fig. 300. M. pectoralis major.

M. pectoralis major, der grosse Brustmuskel. Urspr.: als Pars clavicularis an der Extremitas sternalis des Schlüsselbeines; als Pars sternocostalis an der vorderen Fläche des Brustbeines und der Knorpel der sechs oberen wahren Rippen, als Pars abdominalis an der vorderen Fläche der Rectusscheide. Insert.: mit einer starken, 5 cm breiten Sehne an der Crista tuberculi majoris des Oberarmbeines. Anzieher, Adductor der oberen Extremität.)

Innervation: Nn. thoracales anteriores.

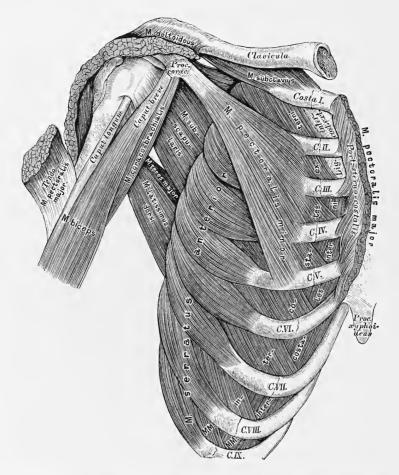


Fig. 301. M. pectoralis minor und M. serratus anterior.

M. subclavius, Schlüsselbeinmuskel. Urspr.: an der unteren Seite des Schlüsselbeines. Insert.: am oberen Rande des ersten Rippenknorpels. (Hauptsächlich Halter des Schlüsselbeines.)

Innervation: N. subclavius vom Pl. brachialis.

M. pectoralis minor, der kleine Brustmuskel. Urspr.: mit drei bis vier Zacken an der äusseren Fläche der II.—V. Rippe. Insert.: am Processus coracoideus des Schulterblattes. (Niederzieher der Schulter, Heber der Rippen.)

Innervation: Nn. thoracales anteriores.

M. serratus anterior, der grosse sägeförmige Muskel. Urspr.: mit acht bis neun Zacken von der äusseren Fläche der acht bis neun oberen Rippen. Insert.: am inneren Rande des Schulterblattes. (Bei fixierten Rippen Vorwärtszieher und Halter des Schulterblattes.)

Innervation: N. thoracalis longus.

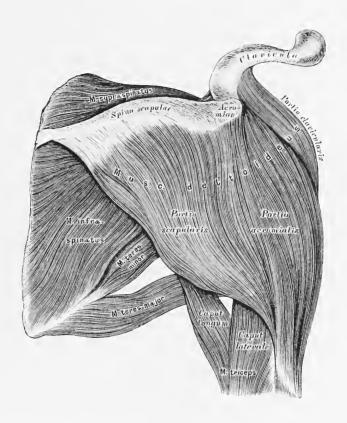


Fig. 302. M. deltoideus, M. supra- und infraspinatus.

M. deltoideus, der Deltamuskel. Urspr.: an der Extrem. acromial. claviculae als Pars clavicularis; am Acromion als Pars acromialis; an der Spina scapulae als Pars scapularis. Insert.: Tuberositas deltoidea. (Heber des Armes.)

Innervation: N. axillaris.

M. supraspinatus, der Obergrätenmuskel. Urspr.: Fossa supraspinata des Schulterblattes. Insert.: Tuberculum majus des Oberarmbeines. (Heber und Auswärtsroller des Armes.)

M. infraspinatus, der Untergrätenmuskel (Fig. 303). Urspr.: Fossa infraspinata des Schulterblattes. Insert.: Tuberculum majus des Oberarmbeines. (Auswärtsroller und Niederzieher des Armes.)

Innervation: N. suprascapularis.

M. teres minor, der kleine runde Armmuskel (Fig. 303). Urspr.: oberer Theil des äusseren Schulterblattrandes. Insert.: Tuberc. majus des Oberarmbeines. (Auswärtsroller und Niederzieher des Armes.)

Innervation: N. axillaris.

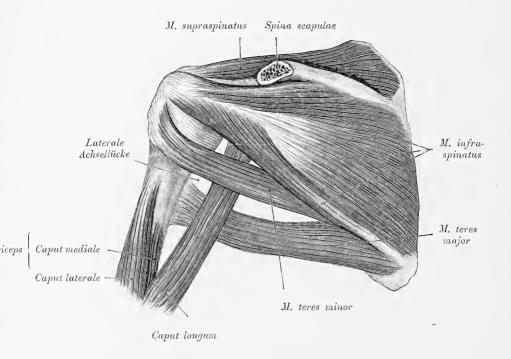
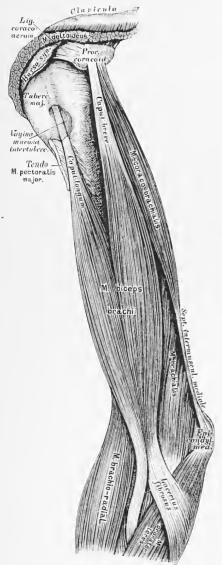


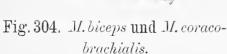
Fig. 303. Mm. teres major, M. teres minor und Mm. supra- und infraspinatus.

M. teres major, der grosse runde Armmuskel. Urspr.: unterer Theil des äusseren Schulterblattrandes. Insert.: neben der Sehne des M. latissimus dorsi an der Crista tuberculi minoris. (Anzieher und Einwärtsdreher des Armes.)

M. subscapularis, der Unterschulterblattmuskel (Fig. 301). Urspr.: vordere Flüche des Schulterblattes. Insert.: Tuberculum minus des Oberarmbeines und dessen Crista. (Einwärtsroller des Armes.)

Innervation: Nn. subscapulares.





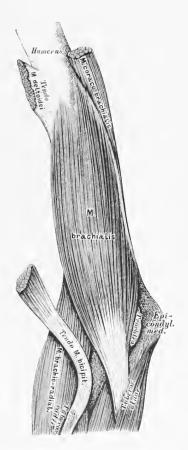


Fig. 305. M. brachialis.

M. biceps brachii. der zweiköpfige Armmuskel. Urspr.: zweiköpfig: das Caput breve verwachsen mit dem M. coracobrachialis am Processus coracoideus; das Caput longum vom oberen Rande der Gelenkfläche des Schulterblattes. Insert.: an der Tuberositas radii. Von der Endsehne geht ein aponeurotisches Band, Lacertus fibrosus. zur Fascie des Vorderarmes. (Auswärtsdreher des pronirten Radius und Beuger des Vorderarmes.)

M. coracobrachialis. Urspr.: Processus coracoideus. Insert.: Ende der Crista tuberculi minoris in der Mitte des Oberarmbeines. Durchbohrt vom Nerv. musculocutaneus. (Ein- und Vorwärtszieher des Armes.)

Innervation: N. musculocutaneus.

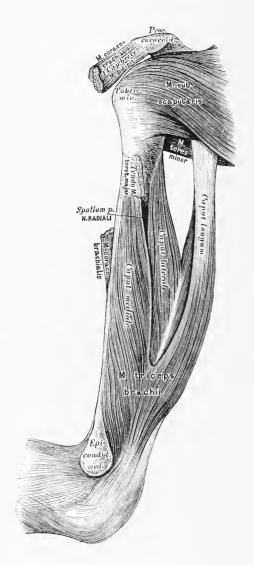


Fig. 306. M. triceps, von innen, und M. subscapularis.

M. brachialis, der innere Armmuskel (siehe Fig. 305). Urspr.: mit einer äusseren und inneren Zacke von der äusseren und inneren Fläche des Oberarmknochens. Insert.: am Processus coronoideus ulnae. (Beuger des Vorderarmes.)

Innervation: N. musculocutaneus.

Muskeln an der hinteren
Gegend des Oberarmes: M. triceps
brachii, der dreiköpfige Streckmuskel des Armes. Urspr.: das Caput
longum vom äusseren Schulterblattrande an der Tuberositas infraglenoidalis;
das Caput laterale von der Aussenseite des Oberarmbeines; das Caput
mediale an der Innenseite des Oberarmbeines. Insert.: mit einer platten
Endsehne am Olecranon ulnae.

M. anconaeus. Urspr.: Epicondylus lateralis humeri. Insert.: lateraler Rand des Olecranon und dorsale Kante der Ulna.

Innervation: N. radialis.

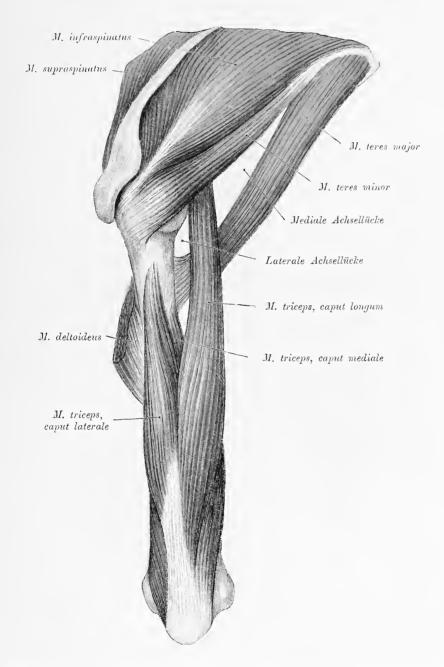


Fig. 307. M. triceps, von hinten, M. teres major, M. teres minor und die Achsellücken.

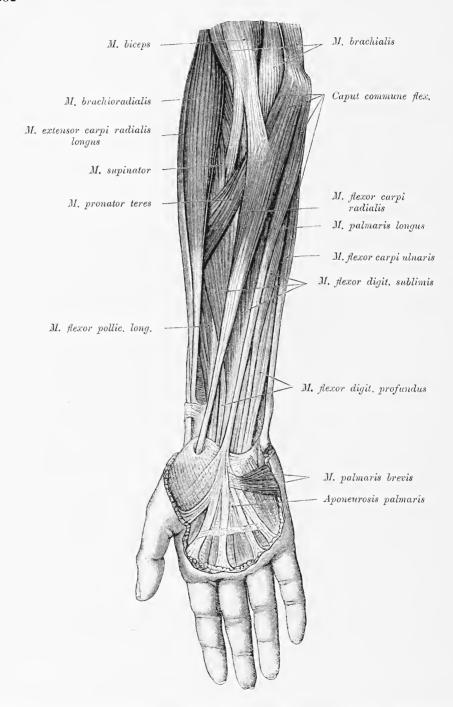


Fig. 308. Vorderarmmuskeln an der Beugeseite (I. Schichte).

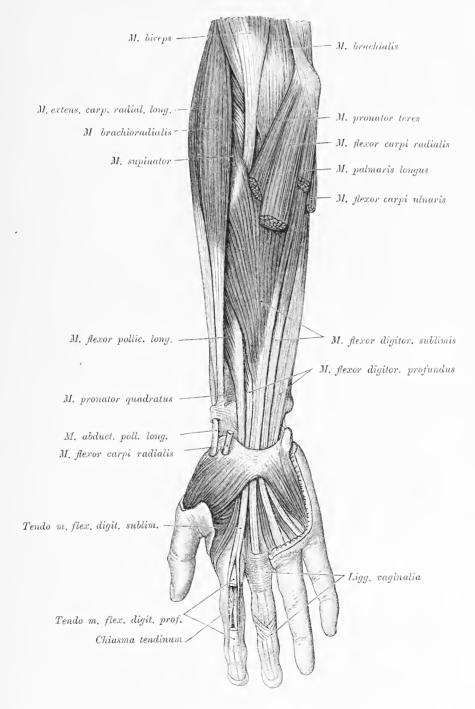
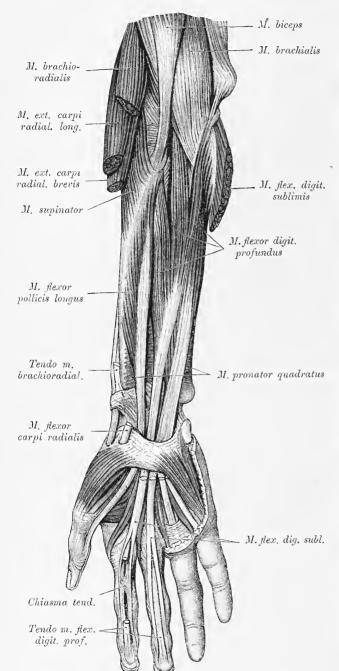


Fig. 309. Vorderarmmuskeln an der Beugeseite (II. Schichte).



M. pronator teres, der runde Drehmuskel. Urspr.: Das Caput humerale entspringt am sog. Caput commune, das Caput ulnare an der Tuberositas ulnae. Zwischen beiden Köpfen zieht der Medianus durch. Insert.: Mitte der lateralen Fläche des Radius.

Innervation: N. medianus.
M. flexor carpi radialis,
der radiale Handbeuger.
Urspr.: Epicondyl. med. des
Oberarmbeines. Insert.: Basis
des Metacarpus indicis. (Beuger
der Hand.)

Innervation: N. medianus.
M. palmaris longus, der lange Hohlhandmuskel.
Urspr.: Epicondyl. med. des
Oberarmbeines. Insert.: Aponeurosis palmaris. (Spanner dieser Aponeurose, Beuger der Hand.)

Innervation: N. medianus.
M. flexor carpi ulnaris,
der ulnare Handbeuger.
Urspr.: Epicondyl. med. des
Oberarmbeines, Olecranon,
hintere Kante der Ulna.
Insert.: Os pisiforme. (Beugung und Ulnarflexion der
Hand.)

Innervation: N. ulnaris.

M. flexor digitorum sublimis, der oberflächliche Fingerbeuger. Urspr.: Condylus. med. des Oberarmbeines, Proc. coronoideus ulnae und Radius unterhalb der Tuberosität. Insert.: mit vier Sehnen, die in der Höhe der I. Phalanx von den Sehnen des tiefliegenden Beugers durchbrochen werden, an den Seitenrändern der II. Phalanx des 2. bis 5. Fingers. (Beuger der II. Phalanx.)

Innervation: N. medianus.

Fig. 310. Vorderarmmuskeln an der Beugeseite (III. Schichte).

#### Dritte Schichte:

M. flexor digitorum profundus, der tiefe Fingerbeuger. Urspr.: zwei obere Drittel der inneren Ulnafläche, Membrana interossea. Insert.: in vier Sehnen gespalten, die an der I. Phalanx durch die Spalten der Sehnen des hoch-

liegenden Fingerbeugers durchgeschoben sind, an der III. Phalanx des zweiten bis fünften Fingers. (Beuger der III. Phalanx.) — In der Hohlhand entspringen von den Radialrändern der Sehnen die Musculi lumbricales, welche zu den Radialrändern der ersten Fingerglieder und von da in die Rückenaponeurose der Finger gehen.

Innervation: N. medianus.
M. flexor pollicis longus,
der lange Beuger des
Daumens. Urspr.: innere
Fläche des Radius und Membrana interossea. Insert.:
II. Phalanx des Daumens.

Innervation: N. medianus. Vierte Schichte:

M. pronator quadratus, der viereckige Drehmuskel. Urspr.: innere und hintere Fläche der Ulna. Insert.: innere Fläche des Radius.

Innervation: N. interosseus volaris.

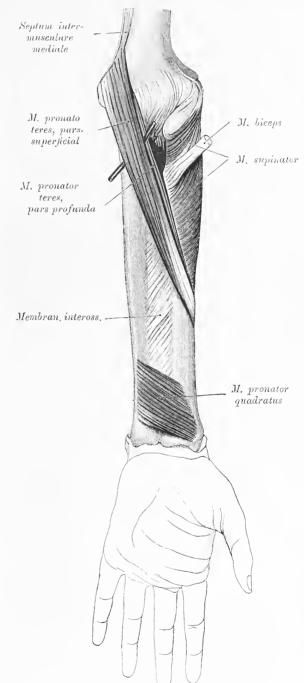


Fig. 311. Vorderarmmuskeln an der Beugeseite (IV. Schichte) und M. pronator teres.

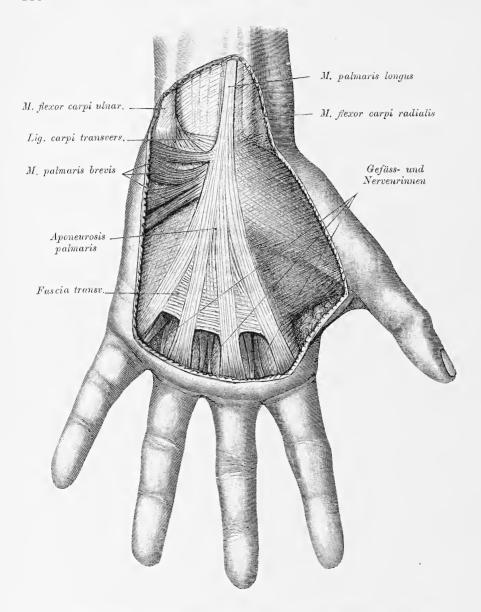


Fig. 312. Aponeurosis palmaris, M. palmaris brevis.

Die Muskeln des Daumenballens, Thenar:

M. abductor pollicis brevis, der kurze Abzieher des Daumens. Urspr.: Lig. carpi transversum. Insert.: Radialrand der Basis I. phalangis pollicis.

M. opponens pollicis, der Gegensteller des Daumens. Urspr.: Lig. carpi transversum. Insert.: Radialrand und Capitulum metacarpi pollicis.
Innervation: N. medianus.

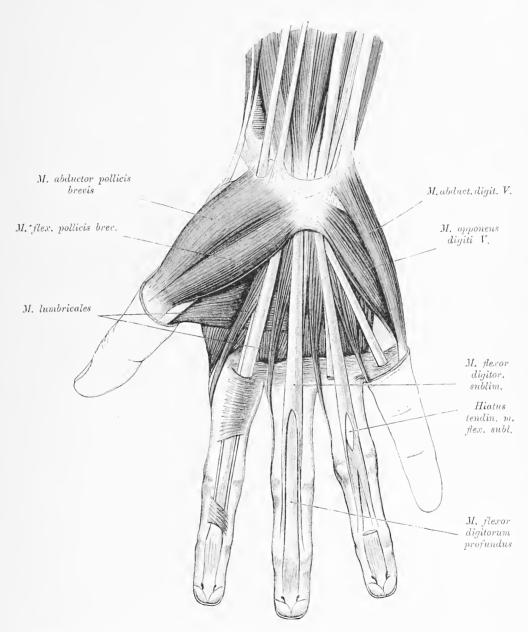


Fig. 313. Muskeln des Daumens, des kleinen Fingers, M. lumbric.

M. flexor pollicis brevis, der kurze Beuger des Daumens. Urspr.: zweiköpfig; der oberflächliche Kopf vom Lig. carpi transversum; der tiefe Kopf vom Os multangulum majus, Os capitatum, Os hamatum. Insert.: Basis I. phalangis pollicis.

Innervation: N. medianus.

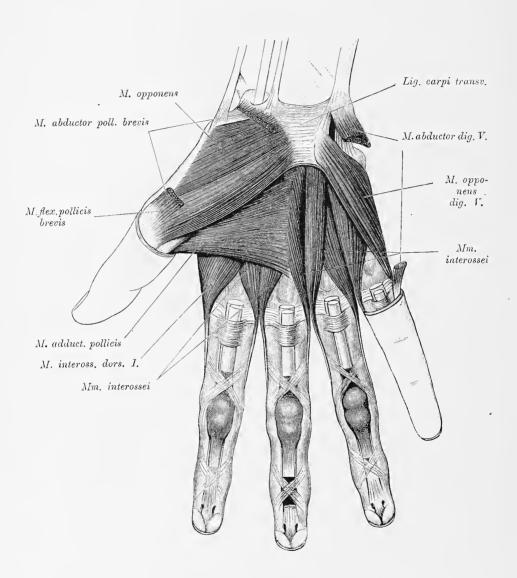


Fig. 314.

# Fig. 314. Muskeln des Daumens und des kleinen Fingers, Mm. interossei.

M. adductor pollicis, der Zuzieher des Daumens. Urspr.: breit vom Metacarpus digiti medii. Insert.: zugespitzt am inneren Sesambein des ersten Daumengelenkes.

Die Muskeln des Kleinfingerballens, Hypothenar:

M. palmaris brevis (Fig. 312). Urspr.: Aponeurosis palmaris. Insert.: Haut am Ulnarrande der Hand.

M. abductor digiti quinti (Fig. 313). Urspr.: Os pisiforme. Insert.: Basis I. phalangis und Aponeurosis dorsalis des kleinen Fingers.

M. flexor brevis dig. quinti (Fig. 309), die radiale Hälfte der freiliegenden Musculatur. Urspr.: Lig. carpi transvers. und Haken des Os hamatum. Insert.: wie die des vorigen.

M. opponens dig. quinti (Fig. 314). Urspr.: wie der des M. flexor brevis. Insert.: Mittelstück und Köpfehen des Mittelhandknochens des kleinen Fingers.

Die Zwischenknochenmuskeln, Musculi interossei (Fig. 314).

Drei Musculi interossei volares. Urspr.: des I. von der Ulnarfläche des Metacarpus indicis; des II. von der Radialfläche des Metacarpus digit. quarti; des III. von der Radialfläche des Metacarpus digit. quinti. Insert.: Rückenapon eurose der Phalanx I. (Adductoren.)

Vier *Musculi interossei dorsales*. Urspr.: zweiköpfig von den einander zugekehrten Flächen der vier Mittelhandknochen. Insert.: Rückenaponeurose des zweiten, dritten und vierten Fingers. (Abductoren.)

Innervation: N. ulnaris.

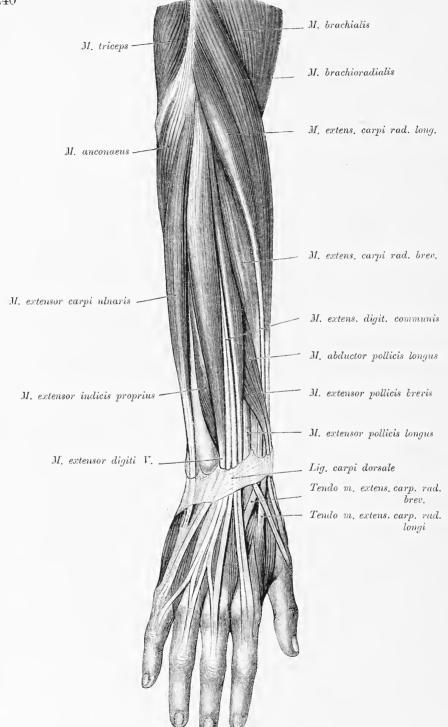


Fig. 315.

# Fig. 316. Die Muskeln an der Dorsalseite des Vorderarmes.

M. extensor digitorum communis, der gemeinschaftliche Fingerstrecker (siehe Fig. 315). Urspr.: Epicondyl. lat. humeri und Fascia antibrachii. Insert.: mit vier Sehnen am Rücken I. Phalanx, in der Aponeurose des zweiten bis fünften M. anconaens Fingers. Die Aponeurose spaltet sich in drei Schenkel, deren mittlerer an der II. Phalanx, deren seitliche an den Seitenrändern der III. Phalanx befestigt sind.

M. extensor digiti V., der eigene Strecker des kleinen Fingers (Fig. 315). Gleicher Ursprung mit dem gemeinschaftlichen Fingerstrecker; die Endsehne verschmilzt mit der vierten Endsehne des gemeinschaftlichen Finger-

streckers.

M. extensor carpi ulnaris (Fig. 315). Urspr.: Epicondyl. lat. humeri und Fascia antibrachii. Insert.: Basis metacarpi digiti V. (Ulnar-flector der Hand).

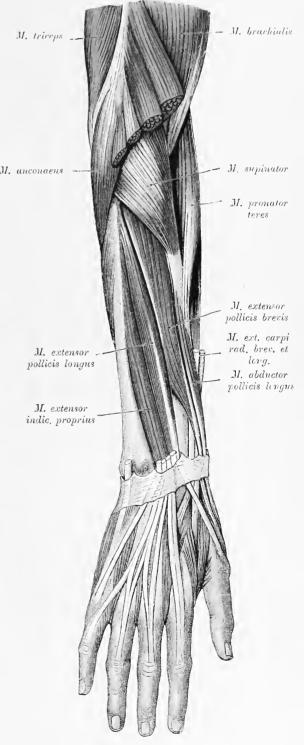
M. abductor pollicis long., der lange Abzieher des Daumens. Urspr.: Mittlerer Theil der äusseren Ulnafläche, äussere Fläche des Lig. interosseum und des Radius. Insert.: Basis metacarpi poll.

M. extensor pollicis brevis, der kurze Strecker des Daumens. Urspr.: wie der des vorigen. Insert.: Dorsalaponeurose des I. Daumengliedes (Fig. 316).

M. extensor pollicis longus, der lange Strecker des Daumens. Urspr.: Crista ulnae und Ligamentum interosseum. Insert.: Dorsalaponeurose des Daumens (Fig. 316).

M. extensor indicis proprius, der eigene Strecker des Zeigefingers. Urspr.: Crista und äussere Fläche der Ulna; verschmilzt mit der Zeigefingersehne des M. extensor digitorum communis (Fig. 316).

Innervation: N. radialis.



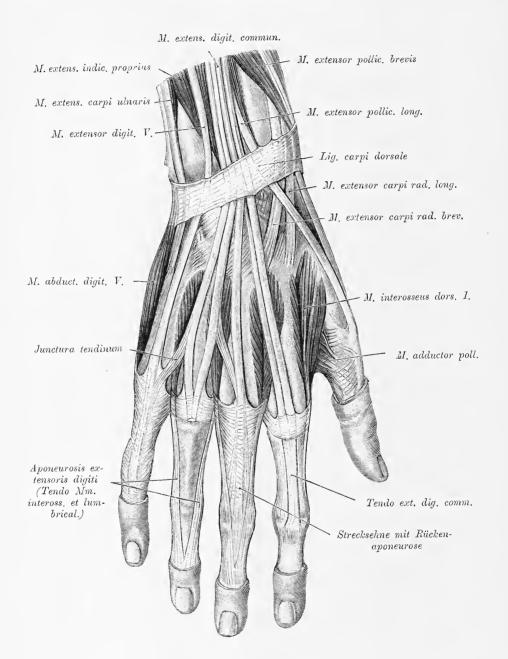


Fig. 317.

#### Fig. 317. Muskeln der Radialseite.

M. brachioradialis, Armspeichenmuskel (Fig. 315). Urspr.: unteres Drittel der äusseren Kante des Oberarmbeines. Insert.: unteres Ende des Radius am Processus styloideus. (Benger des Vorderarmes.)

M. supinator (Fig. 311). Urspr.: Ulna und Epicondyl. lat. des Oberarmbeines.

Insert.: innere Fläche des Radius unterhalb der Tuberosität. (Kräftiger Supinator.)

M. extensor carpi radialis longus, der lange radiale Handstrecker (Fig. 315). Urspr.: oberhalb des Epicondyl. lat. humeri. Insert.: Basis metacarpi indicis. (Strecker und Adductor der Hand.)

M. extensor carpi radialis brevis, der kurze radiale Handstrecker (Fig. 315). Urspr: Epicondyl. lat. humeri und Gelenkkapsel. Insert.: Basis metacarpi digiti medii. (Strecker und Adductor der Hand.)

Innervation: N. radialis.

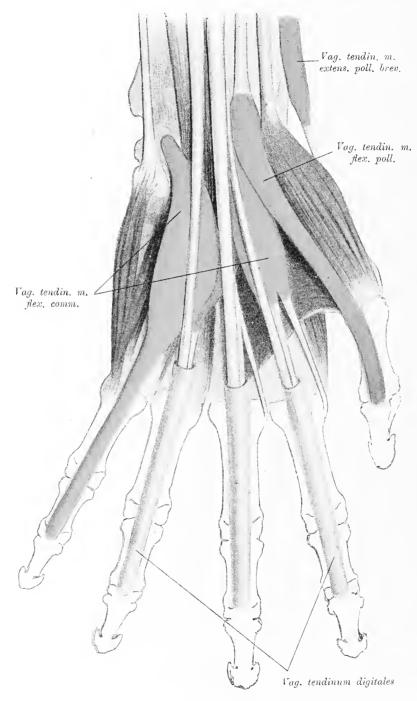


Fig. 318. Sehnenscheiden der Fingerbeuger.

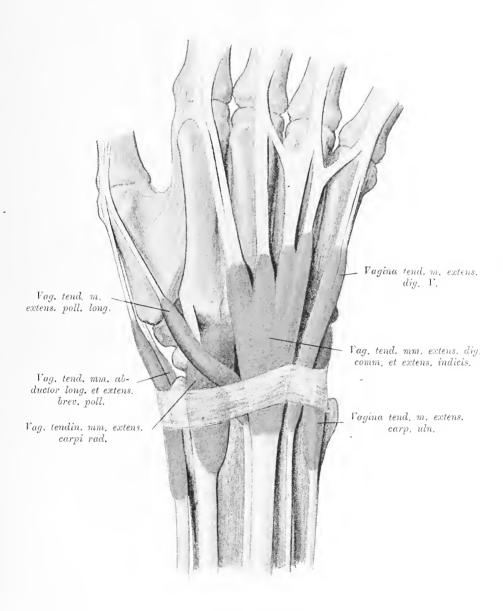
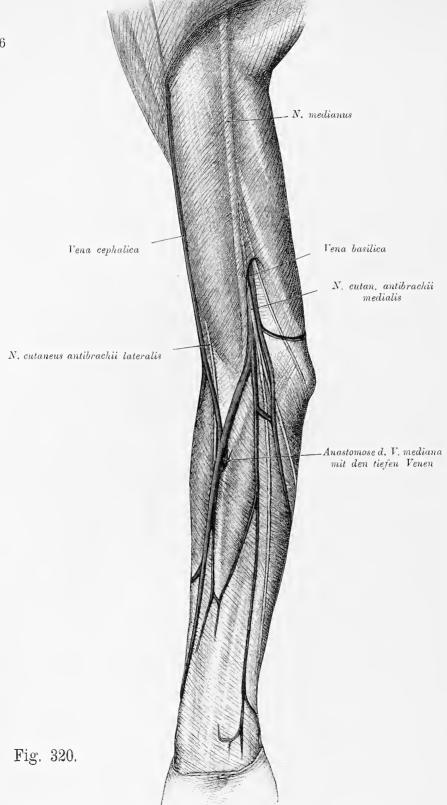


Fig. 319. Sehnenscheiden der Strecker.

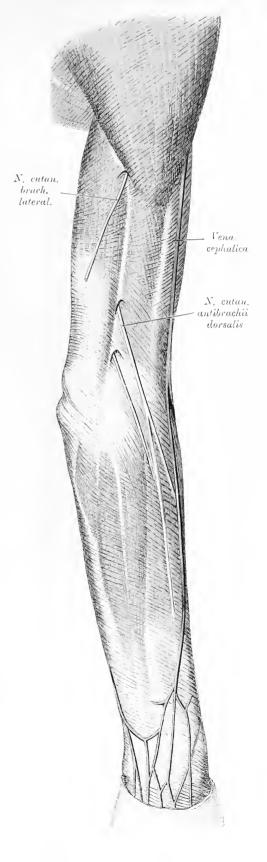


### Fig. 320 und 321. Fascien der oberen Extremität.

An der Schulter unterscheidet man eine Fascia supraspinata, infraspinata und subscapularis, welche die Schulterblattgruben zu Fächern für die gleichnamigen Muskeln abschliessen. In der Achselhöhle finden sich zwei Fascienblätter, und zwar: die Fascia axillaris superficialis zwischen den freien des M. pectoralis major Rändern des M. latissimus dorsi, und die Fascia axillaris profunda, welche als Verlängerung der Fascia coracoclavicularis das Gefässpaket umhüllt. Die Fascia brachialis bekleidet oben den M. deltoideus und sendet Septa intermuscularia zu den Kanten des Humerus. Hiedurch werden zwei Fächer gebildet, ein volares für den M. biceps und M. coracobrachialis und M. brachialis, ferner ein dorsales für den M. triceps.

Die Fascia antibrachii erhält oben eine Verstärkung von Seite des Lacertus fibrosus, besitzt entsprechend der Fossa cubiti eine Lücke für die Anastomose zwischen den oberflächlichen und tiefliegenden Venen und geht distal sowohl in das Lig. carpi volare, wie auch in das Lig. carpi dorsale über. Die Fascia antibrachii bildet gesonderte Kapseln für die radiale Gruppe, den M. flex. carp. ulnar., die Sehnen des M. palmaris longus und M. flex. carp. rad., ferner für die Fingerbeuger, den M. pronator quadratus, den M. abductor pollicis longus, einschliesslich des M. extensor pollicis brevis, den M. extensor pollicis longus, M. extensor digitorium, M. extensor digiti quinti und für den M. extens. carp. uln.

In der Vola manus tritt oberflüchlich die starke Aponeurosis palmaris auf, welche in die Fascien des Thenar und Hypothenar übergeht und für den 2. bis 5. Finger je ein Fascikelabsendet. Die Zwischenknochenmuskeln werden von der dünnen tiefliegenden Palmarfascie bekleidet. Die Fascie des Handrückens bildet die unmittelbare Fortsetzung des Ligamentum carpi dorsale.



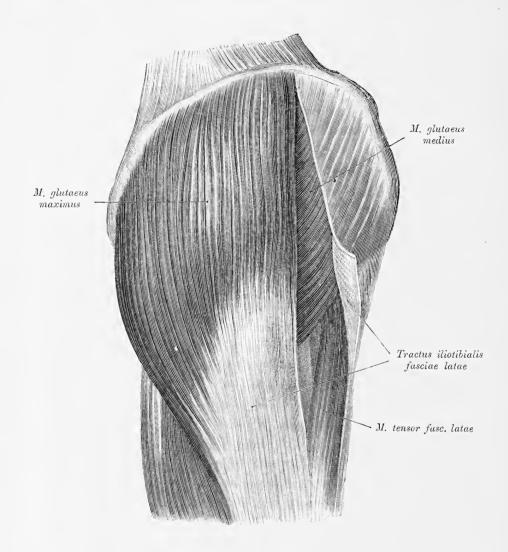


Fig. 322. Die äusseren Muskeln der Hüfte.

M. glutaeus maximus, der grosse Gesässmuskel. Urspr.: von der Tuberositas iliaca hinter der Linea glutaea sup. vom Lig. sacrotuberosum und von den zwei ersten Steisswirbeln. Insert.: Tractus iliotibialis der Fascia lata und Tuberositas glutaea. (Abductor und Rückwärtszieher des Schenkels. Beckenhälter.)

Innervation: N. glutaeus inferior.

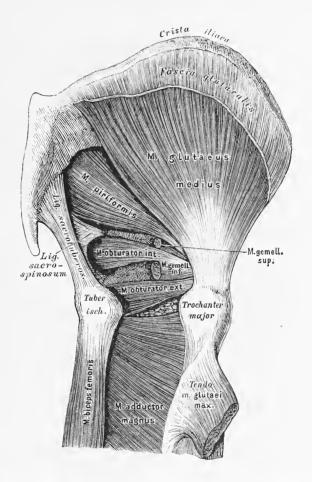


Fig. 323. Die hinteren Muskeln der Hüfte.

M. glutaeus medius, der mittlere Gesässmuskel (Fig. 322). Urspr.: Labium extern. der Crista iliaca und äussere Darmbeinfläche. Insert.: Spitze und äussere Fläche des Trochanter major. (Abductor und Einwärtsdreher des Schenkels. Beckenhälter.)

M. glutaeus minimus, der kleine Gesässmuskel (Fig. 323). Urspr.: äussere Darmbeinfläche. Insert.: Spitze des Trochanter major. (Abductor und Einwärtsdreher des Schenkels. Beckenhälter.)

M. tensor fasciae latae (Fig. 322 und 325). Urspr.: Spina anterior superior des Darmbeines. Insert.: Fascia lata. (Spanner der Fascie.)

Innervation: N. glutaeus superior.

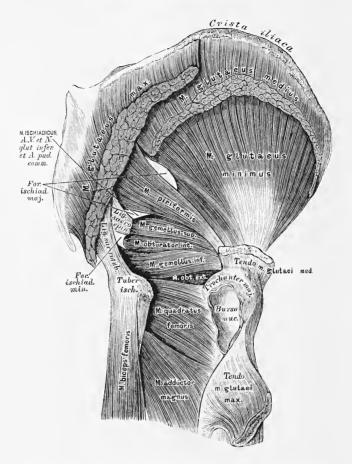


Fig. 324. Die hinteren Muskeln der Hüfte.

M. piriformis. Urspr.: in der kleinen Beckenhöhle an der vorderen Fläche des Kreuzbeines, geht durch das Foramen ischiadicum majus und inseriert an der Spitze des Trochanter major. (Auswärtsdreher des Schenkels.) Innervation: N. ischiadicus.

M. obturator internus. Urspr.: in der kleinen Beckenhöhle am Rande des Foramen obturatorium und an der Innenfläche der Membr. obturatoria; geht durch das Foramen ischiadicum minus und erhält die Musculi gemelli zu Begleitern, deren oberer von der Spina ischiadica, deren unterer von dem Tuber ischiadicum kommt. Gemeinsame Insertion: Fossa trochanterica. (Answärtsdreher des Schenkels.)

Innervation: N. glutaeus inferior.

M. quadratus femoris. Urspr.: Tuber ischiadicum. Insert.: Crista intertrochanterica. (Auswärtsdreher des Schenkels.)

Innervation: N. obturatorius.

M. obturator externus (Fig. 324 und 327). Urspr.: oberer lateraler Theil des Umfanges des Foramen obturatorium. Insert.: Fossa trochanterica. (Auswärtsdreher des Schenkels.)

### Fig. 325. Die vorderen Muskeln der Hüfte und des Oberschenkels.

M. iliopsoas besteht aus zwei Köpfen: dem längeren, medialen, auch M. psoas major, und dem kürzeren, lateralen, auch M. iliacus genannt.

M. psoas major, der grosse Lendenmuskel. Urspr.: Seitenfläche und Processus costarii der Lendenwirbel. Insert.: Trochanter minor. (Auswärtsdreher und Beuger des Schenkels.)

Beuger des Schenkels.)

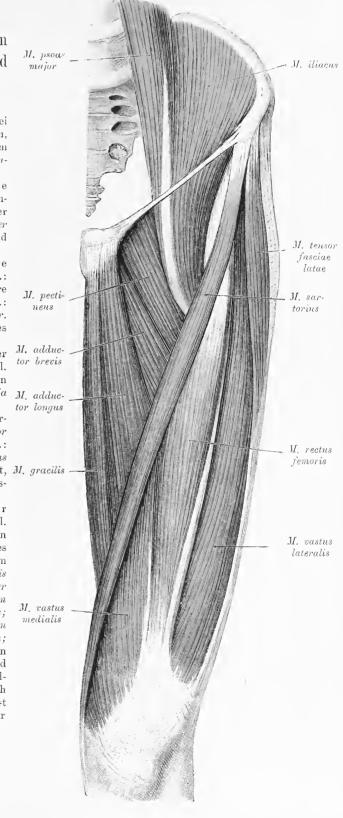
M. iliacus, der innere Darmbeinmuskel. — Urspr.: Crista iliaca und die ganzeinnere Fläche des Darmbeines. Insert.: an der Sehne des M. psoas major. (Auswärtsdreher und Beuger des Schenkels.)

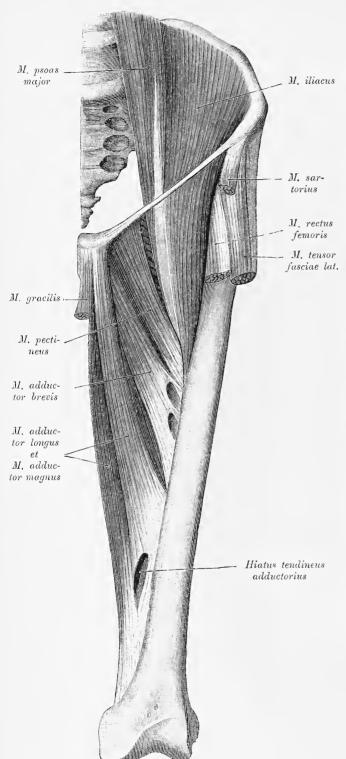
M. psoasminor. Urspr.: letzter Rücken- und erster Lendenwirbel. Insert.: Grenzlinie des grossen und kleinen Beckens und Fascia iliaca. Nicht constant.

M. sartorius, der Schneidermuskel. Urspr.: Spina anterior superior des Darmbeines. Insert.: an und unter der Tuberositas tibiae. (Adductor der Extremität, M. gracilis Beuger und hierauf Einwärtsdreher des Unterschenkels.)

M. quadriceps femoris, der vierköpfige Schenkelmuskel. Urspr.: a) M. rectus femoris von der Spina anterior inferior des Darmbeines und von dem Labrum der Pfanne; b) M. vastus lateralis von der Basis des Trochanter major und vom Labium externum Lineaaspera femoris; c) M. vastus medialis vom Labium der internum Linea aspera; d) M. vastus intermedius von der Linea intertrochanterica und der Vorderfläche des Schenkelbeines. Insert.: gemeinschaftlich an der Kniescheibe und mittelst des Ligamentum patellae an der Tuberositas tibiae.

Innervation: N. femoralis.





# Fig. 326. Die Adductoren, von vorne, M. iliopsoas.

M. gracilis, der schlanke Schenkelmuskel. Urspr.: an der Symphysis ossium pubis. Insert.: an der Innenfläche des Schienbeines unterhalb der Tuberositas tibiae. (Zuzieher der Extremität und Einwärtsdreher des Unterschenkels bei gebeugtem Knie.)

M. adductor longus, der lange Zuzieher des Schenkels. Urspr.: am Schambeine unter dem Tuberculum pubicum. Insert.: innere Lefze der Linea aspera femoris.

M. adductor brevis, der kurze Zuzieher des Schenkels. Urspr.: unterer Schambeinast. Insert.: innere Lefze der Linea aspera femoris.

M. adductor magnus, der grosse Zuzieher des Schenkels. Urspr: an beiden Ästen des Sitzbeines und am Tuber ischiadicum. Insert.: Linea aspera femoris.

Innervation: N. obturatorius.

M. pectineus, der Kammmuskel. Urspr.: Pecten ossis pubis. Insert.: Linea pectinea unter dem Trochanter minor. (Adductor und Auswärtsdreher des Schenkels.)

Innervation: N. femoralis.

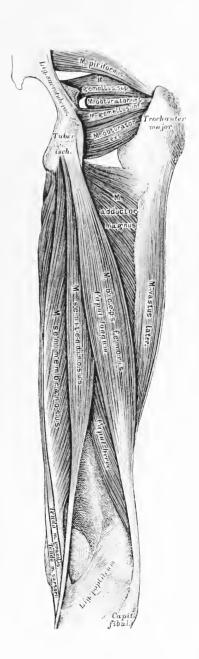
### Fig. 327. Die hinteren Muskeln des Oberschenkels.

M. biceps femoris, der zweiköpfige Schenkelmuskel. Urspr.: Caput longum am Tuber ischiadicum. Caput breve an der lateralen Lefze der Linea aspera. Insert.: mit einer gemeinschaftlichen Sehne am Capitulum fibulae. (Beuger des Unterschenkels.)

M. semitendinosus, der halbsehnige Schenkelmuskel. Urspr.: Tuber ischiadicum, gemeinsam mit dem langen Kopfe des Biceps femoris. Insert.: mit einer langen runden Sehne an der Crista interna des Schienbeines unter der Tuberositas tibiae. (Beuger des Unterschenkels.)

M. semimembranosus, der halbhäutige Schenkelmuskel. Urspr.: Tuber ischiad.; die Sehne beginnt in der Mitte des Oberschenkels, an dieselbe setzen sich seitlich die Fleischbündel an. Insert.: Condylus medialis tibiae. (Beuger des Kniegelenkes und Strecker des Hüftgelenkes.)

Innervation: N. ischiadicus.



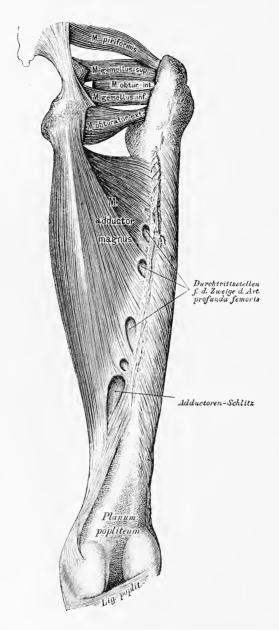


Fig. 328. M. adductor magnus nach Entfernung der Beuger. Tiefe Muskeln des Hüftgelenkes.

Die Muskeln an der vorderen Seite.

M. tibialis anterior, der vordere Schienbeinmuskel. Urspr.: Condylas externas und äussere Fläche des Schienbeines, Membr. interossca und Fascia cruris. Insert.: erstes (inneres) Keilbein und Basis metatarsi hallucis. (Beuger des Fusses, Heber des inneren Fussrandes.)

M. extensor hallucis longus, der lange Strecker der grossen Zehe. Urspr.: Mittelstück der inneren Wadenbeinfläche, Membr. interossea. Insert.: Phalanx II. hallucis.

M. extensor digitorum longus, der lange Zehenstrecker. Urspr.: Köpfchen und vordere Seite des Wadenbeines, Condylus externus tibiae, Membr. interossea. Insert.: mit vier Sehnen in der Rückenaponeurose der vier dreigliedrigen Zehen und mit einer fünften Sehne an der Basis des Oss. metatars. F. Ist das Fleisch dieser fünften Sehne höher oben abgetrennt, dann spricht man von einem M. peronaeus tertius.

Innervation: N. peronaeus prof. Die Muskeln an der äusseren Seite:

M. peronaeus longus, der lange Wadenbeinmuskel. Urspr.: mit zwei Köpfen vom Capitulum jibulae und vom Wadenbeine an dessen oberer Hälfte. Insert.: mit schief über die Planta pedis laufender Sehne am ersten (inneren Keilbein und an der Taberositas ossis metatarsal. hallucis. (Strecker und Abzieher des Fusses.)

M. peronaeus brevis, der kurze Wadenbeinmuskel. Urspr.: vom zweiten Drittel des Wadenbeines an bis zum äusseren Knöchel. Insert.: Tuberositas ossis metatars. V. (Strecker und Adductor des Fusses.)

Innervation: N. peron. superf.

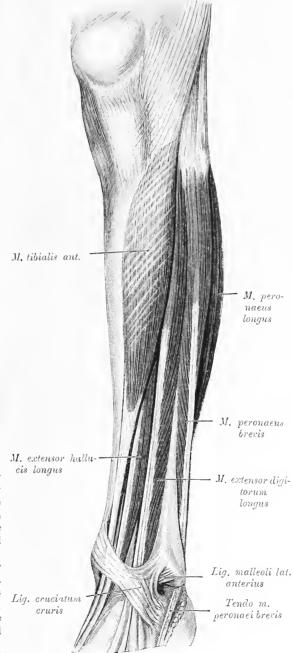


Fig. 329. Die Muskeln an der vorderen und äusseren Seite des Unterschenkels.

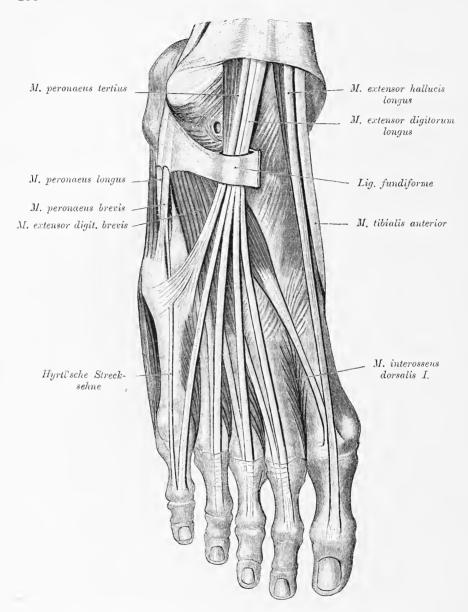
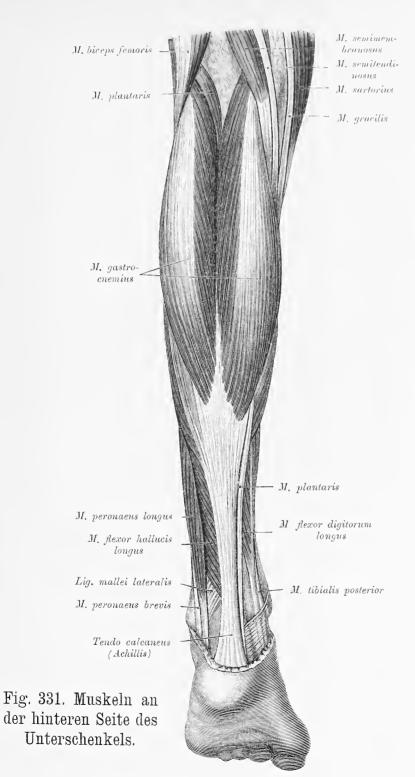


Fig. 330. Muskeln und Sehnen am Fussrücken.

M. extensor digitorum brevis, der kurze Strecker der Zehen. Urspr.: obere Fläche des Fersenbeines am Lig. cruciatum und im Sinus tarsi. Insert.: mit vier platten Sehnen gemeinsam mit den vier Sehnen des M. extensor digitorum longus an der Rückenaponeurose der vier inneren Zehen. Die fünfte Zehe erhält eine entsprechende Sehne vom M. peronaeus brevis (Hyrtl'sche Strecksehne).

Innervation: N. peronaeus profundus.



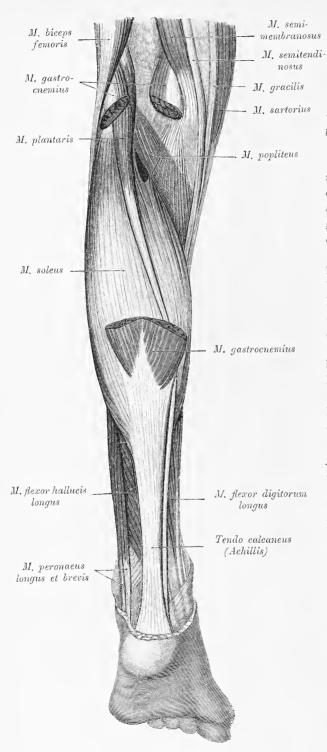


Fig. 332. Muskeln an der hinteren Seite des Unterschenkels.

M. soleus, M. plantaris, M. popliteus.

Der M. triceps surae zerfällt in den M. gastrocnemius und in den M. soleus. Sie enden in einer gemeinsamen Sehne, Tendo calcaneus (Achillis).

M. gastrocnemius, der Zwillingsmuskel der . Wade. Urspr.: mit zwei Köpfen oberhalb des Condylus lateralis und medialis femoris. Insert.: mittelst Tendo Achillis am Fersenbeinhöcker. (Strecker des Fusses.)

M. soleus, der Schollenmuskel. Urspr.: Köpfchen und hintere Kante des Wadenbeines, Linea poplitea tibiae, Arcus tendineus musculi solei und innerer Rand des Schienbeines (Fibular- und Tibialportion). Insert.: mittelst der Achillessehne am Fersenbeinhöcker. (Strecker des Fusses.)

M. plantaris, der Sohlenmuskel. Urspr.: Condylus lateralis des Schenkelbeines. Insert.: mit einer langen schmalen Sehne an der Tendo Achillis. (Schwacher, zuweilen fehlender Hilfsmuskel der Strecker des Fusses.)

Innervation: N. tibialis.

Fig. 333. Muskeln an der hinteren Seite des Unterschenkels, Zehenbeugemuskeln, M. popliteus, M. tibialis post.

#### Tiefliegende Schichte:

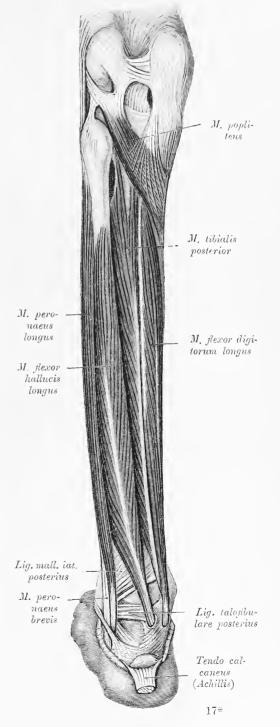
M. popliteus, der Kniekehlenmuskel. Urspr.: medialer Tibiaknorren.bis zur Linea poplitea tibiae hinab. Insert.: Condyl. lateralis femoris.

M. tibialis posterior, der hintere Schienbeinmuskel. Urspr.: hintere Fläche des Schienbeines, Membr. interossea und innerer Winkel des Wadenbeines. Insert.: Taberositas ossis navicularis. (Strecker und Zuzieher des Fusses, Heber des inneren Fussrandes.)

M. flexor digitorum longus, der lange Beuger der Zehen. Urspr. des langen Kopfes: hintere Schienbeinfläche. Urspr. des kurzen Kopfes: in der Mitte der Fussohle von der unteren und inneren Fläche des Fersenbeines als M. quadratus plantae. Insert.: mit vier Sehnen, von welchen die M. lumbricales entspringen, an der Phalanx II. der vier äusseren Zehen; in der Höhe der Phalanx I. durchbrechen dieselben die Sehnen des M. flexor digit. comm. brevis.

M. flexor hallucis longus, der lange Beuger der grossen Zehe. Urspr.: an den zwei unteren Dritteln des Wadenbeines. Insert.: Phalanc II. hallucis.

Innervation: V. tibialis.



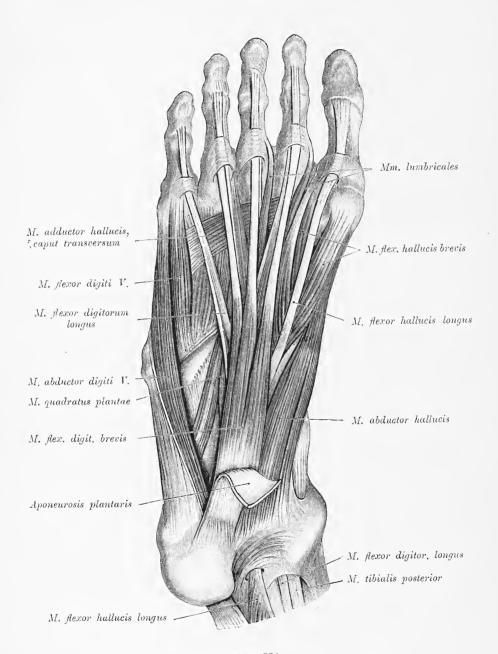


Fig. 334.

#### Fig. 334. Muskeln der Planta pedis, Zehenbeuger.

M. flexor digitorum brevis. Urspr.: Aponeurosis plantaris und Tuber calcanei. Insert.: in vier Sehnen gespalten, die in der Höhe der Phalanx I. von den Sehnen des M. flex. dig. comm. longus durchbrochen werden, an den Seitenflächen der Phalanx II. der vier äusseren Zehen. Anschliessend an die Sehnen liegt: der M. quadratus plantae, der kurze Kopf des M. flex. dig. longus. Unterhalb des M. flexor digit. brevis liegt der M. flexor digit. longus und der M. flexor hallucis (siehe auch Fig. 333 und 335).

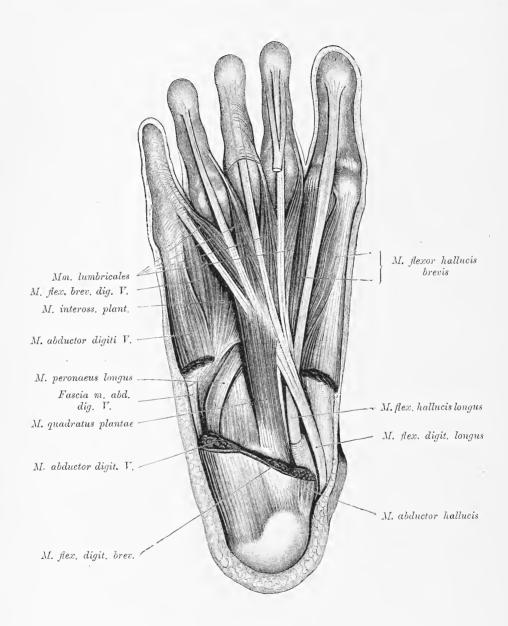


Fig. 335.

Fig. 335—338. Muskeln der *Planta pedis*, Zehenbeuger, Sehne des *M. peronaeus longus*, Muskeln des inneren und des äusseren Fussrandes.

M. abductor hallucis. Urspr.: Tuber und innere Fläche des Fersenbeines, Lig. laciniatum s. annulare internum. Insert.: Phalanx I. hallucis und inneres Sesambein der grossen Zehe.

M. flexor brevis hallucis. Urspr.: Keilbeine und Plantarbünder zwischen Tarsus und Metatarsus. Insert.: in zwei Portionen an beiden Sesambeinen.

M. adductor hallucis. Urspr.: zweiköpfig (Fig. 337): a) Caput obliquum von der Basis ossis metatarsi II., III., IV. und von der fibrösen Scheide der Sehne des M. peronaeus longus; b) von der unteren Kapselwand der Articulatio metatarsophalangea IV., selten V. Insert.: gemeinsam am äusseren Sesambein.

Innervation: N. plantaris medialis.

M. abductor digiti quinti. Urspr.: untere Fersenbeinfläche und Fascia plantaris.
Insert.: Aussenfläche der Phalanx I. digiti V.

M. flexor brevis digiti. V. Urspr.: Basis ossis metatarsi V. Insert.: untere Kapselwand der Articul. metatarsophalangea dig. V.

Innervation: N. plantaris lateralis.

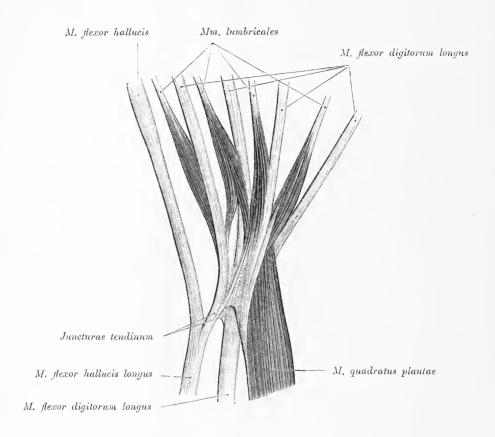


Fig. 336. Sehnenverbindung der Zehenbeuger.

Die Sehne des *M. flexor hallucis* ist in der Fussohle durch Sehnenbündel mit dem *M. quadratus plantae* und mit dem *M. flexor digitorum longus* verbunden. Durch diese Verbindung kommt die beugende Wirkung des *M. flexor hallucis* auf alle fünf Zehen zustande.

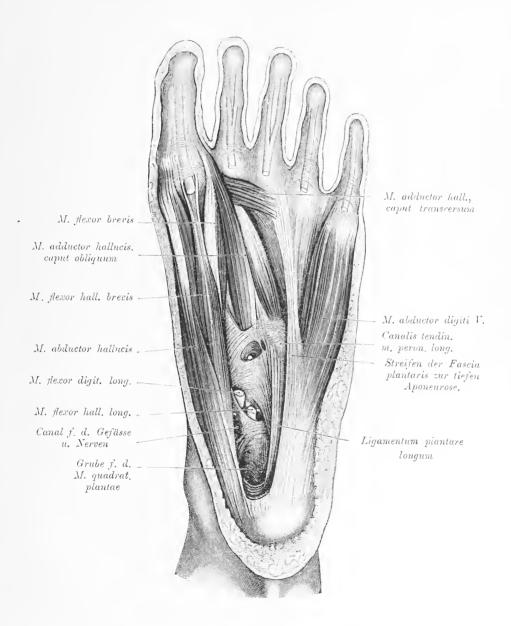


Fig. 337. Muskeln der Zehenballen.

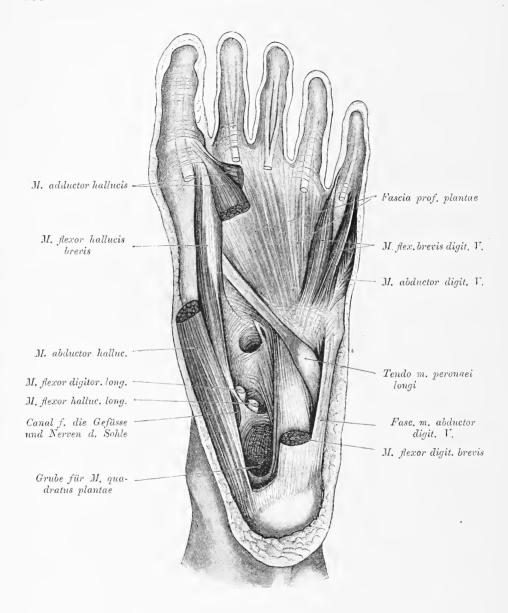


Fig. 338. Muskeln der Zehenballen, Sehne des M. peronaeus longus.

Die Fascie (siehe auch Fig. 335), welche die laterale Fläche des M. abductor digit. V. bedeckt, befestigt sich an der Basis des fünften Mittelfussknochens.

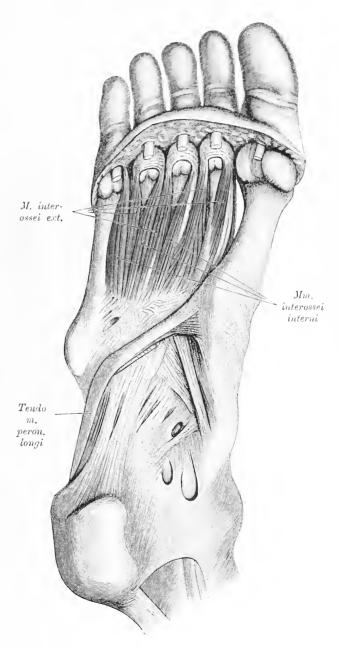
Fig. 339. Mm. interossei, M. peronaeus longus.

Vier Musculi interossei
dorsales. Urspr.: zweiköpfig von den einander
zugekehrten Flächen der
Metatarsalia I—IV.

Die 2. Zehe besitzt zwei dorsale *Interossei*, einen medialen und einen lateralen, die 3. und 4. je einen, und zwar den lateralen.

Drei Musculi interossei plantares. Urspr.: einköpfig am medialen Rande des Metatarsale III., IV. und V. Insert.: Basis der Grundphalange der 3., 4. und 5. Zehe an der medialen Seite.

Innervation: N. plantaris lateralis.



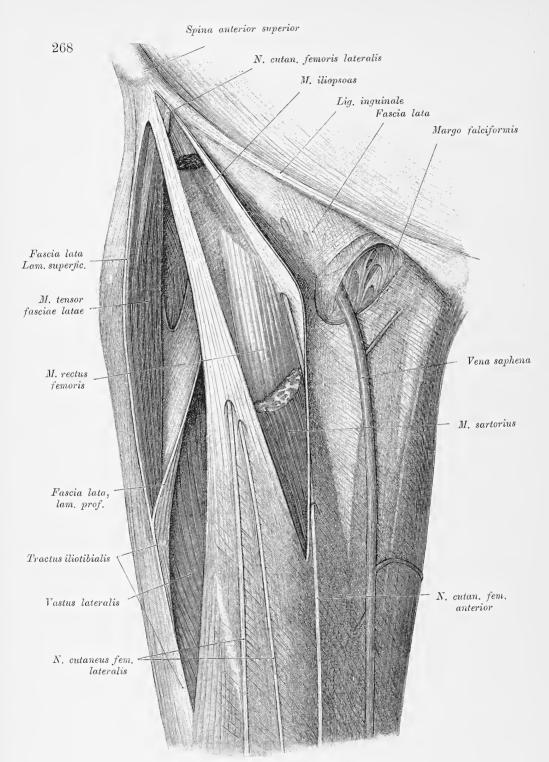
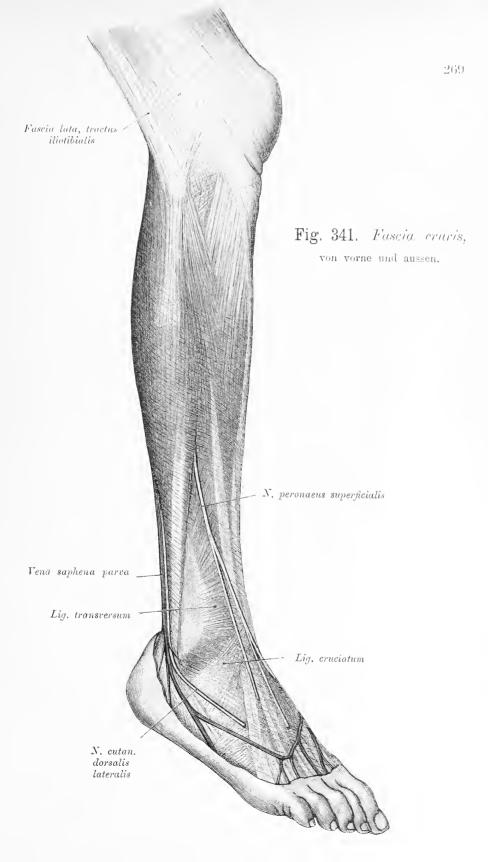
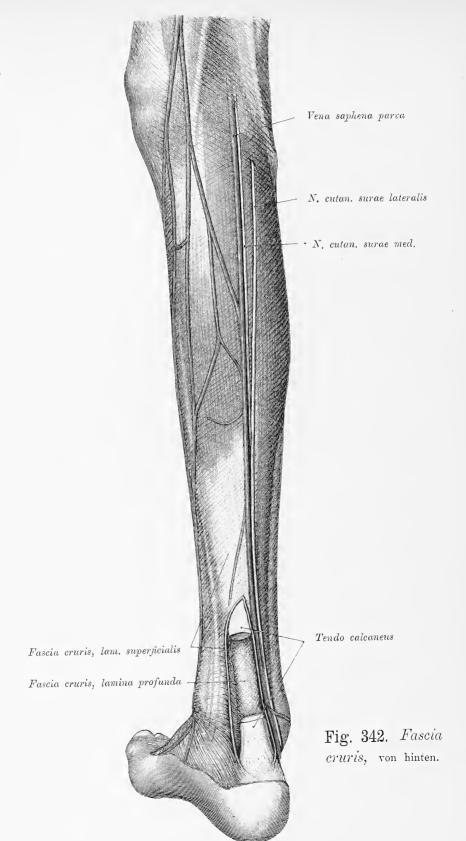


Fig. 340. Fascia lata, Fovea ovalis.





# Fig. 340-343. Fascien der unteren Extremität.

In der Region des Darmbeines unterscheidet man die Fascie des M. lliopsoas, Fascia iliaca; ferner die Fascia glutaealis, welche die beiden oberflächlichen Mm. glutaci bedeckt. Der Oberschenkel wird von der Fuscia lata bedeckt. Sie entspringt vorne am Lig. Poupartii, und schliesst sich hinten unmittelbar an die Fuscia glataealis an, hüllt die Oberschenkelmusculatur ein, bildet besondere Fächer für den M. sartorius und den M. tensor fasciae, und sendet zwischen den M. vastus lateralis und dem kurzen Kopf des M. biceps ein Dissepiment zum Oberschenkelbein, während das mediale Dissepiment von der Adductorensehne beigestellt wird. Die Fascia lata ist an ihrer lateralen Seite in der Linie zwischen der Spina anterior superior und dem äusseren Knorren der Tibia sehr derb (Tractus iliotibialis). Am Knie schliesst sich die Fascie an das Ligamentum patellae, sowie an die Tuberositas tibiae an, und geht theilweise unmittelbar in die Fascie des Unterschenkels über. Die Fascia cruris bildet vorne ein Fach für die Zehenstrecker, seitlich ein zweites für die M. peronaei, und hinten zwei Fächer: eines für die Wadenmusculatur, ein zweites für die Zehenbeuger, welche durch das eingeschobene tiefe Blatt der Fascia surae von einander geschieden sind. Die Fascia dorsalis pedis ist eine Fortsetzung der Fascia cruris und zeigt zwei verstärkte Stellen; eine gerade am Übergange in die genannte Fascie (Ligamentum transversum), eine zweite (Ligamentum cruciatum) über dem Sprunggelenke. Der M. extensor digit. brevis besitzt eine eigene Hülle. An der Sohlenfläche des Fusses tritt die mächtige Aponeurosis plantaris auf, welche am Tuber calcanci entspringt, und sich nach vorne in fünf Zipfel für die Zehen spaltet. Eine laterale Portion der Fascia plantaris begibt sich zur Tuberositas digiti quinti.

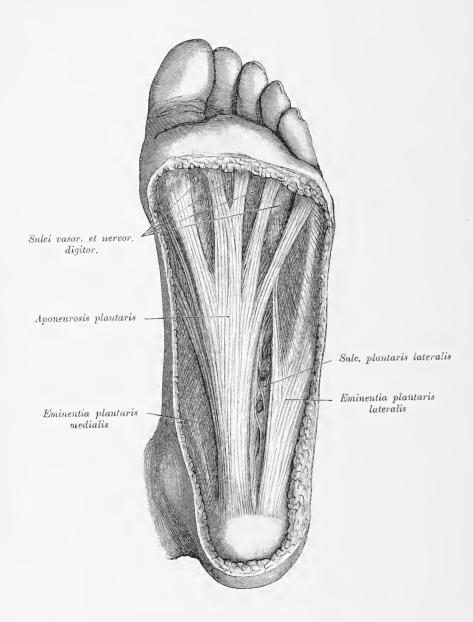


Fig. 343. Aponeurosis plantaris.

# INDEX.

(Die Zahlen beziehen sich auf die Seiten.)

Articulatio calcaneocuboidea 195.

Bandscheibe 146.

Basis cranii interna 57.

#### capituli costae 149. Acetabulum 123. carpometacarpea 174. Achsellücken 231. carpometacarpea pollicis 174. : , costosternalis 151. Acromion 99. Aditus orbitae 79. costotransversaria 149. Agger nasalis 84. coxae 182. Ala magna ossis sphenoid. 29, 35. cubiti 166. cuneonavicularis 195. parragenu 188. romeris 74. Angulus costae 21. humeri 163. intercarpea 174. frontalis 47. inferior scapulae 98. interchondralis 152. interphalangea 175. mandibulae 76. mastoideus 47. intertarsea 195. occipitalis 47. mandibularis 158. sphenoidalis 47. metacarpophalangea 175. metatarsophalangea 198. Annulus fibrosus fibrocart. intervert. 146. inguinalis subcutaneus 205. ossis pisiformis 174. radiocarpalis 173. tympanicus 54. radioulnaris 174. Apertura externa aquaeductus vestibuli 51. sacroiliaca 178. canaliculi cochleae 51. piriformis 69. sternoclaricularis 160. talocalcanea 195. sinus sphenoidalis 38. frontalis 42. talonavicularis 195. Aponeurosis extensoris digiti 242. tarsometatarsea 195. ,, palmaris 236. tibiofibularis 189. plantaris 272. Atlas (Kind) 17. Apex oss. sacri 10. Atlas 6. ,, patellae 128. Augenhöhle 80. Arcus lumbocostalis (Halleri) 210. superciliaris 40. B. tendineus 200.

Articulatio aeromioclavicularis 161.

vertebrae 5.

A.

Basis cranii externa 59. Centrum tendineum 211. Becken, weibliches 177. Chiasma tendinum 233. männliches 176. Choana 60. Brustbein 26. Circumferentia articularis 109. Brustbein (d. Neugeborenen) 28. Clavicula 97. Brustwirbel 5. Clivus 35. Bulla ethmoidalis 44, 84. Collum anatomicum 102. Bursa musculi subscapularis 162. Collum costae 21. praepatellaris subfascialis 186. femoris 125. suprapatellaris subfascialis 186. mandibulae 76. radii 109. scapulae 99. C. tali 136. Columna vertebralis 3. Calcaneus 138. Concha nasalis inferior 73, 83. Calvaria 61. ,, media 44, 83. Canalis basipharyngcus 37. superior 44, 83. caroticus 49, 52, 58. suprema 46. condyloideus 31. Conchae ethmoidales 43. ٠, hypoglossi 31. sphenoidales 36. ٠, incisivus 60, 63. Condulus lateralis tibiae 130. 12 mandibularis 77. lateralis femoris 125. nasolacrimalis 84. medialis femoris 125. Canaliculus petrosus 51. medialis tibiae 130. Canalis pterygoideus (Vidii) 36. occipitalis 32. ,, sacralis 11. Cornua coccygea 13. supracondyloideus 104. Cornu sacrale 11. Caput femoris 125. majus oss. hyoid 93. humeri~102.minus oss. hyoid 93. tali 136. Corpus vertebrae 5. Capsula articulationis radioulnaris dist. 171. Corpus sterni 26. Capitulum costae 21. Costa vera 20. fibulae 133. Costae spuriae 25. humeri 102. Crista capituli costae 21. mandibulae 76. colli costae 24. radii 109. ,, conchalis maxillae 63. ulnae 107. ,, oss. palatini 68. Cartilago arytaenoidea 94. ,, costae 20. alaris major 70. ,, ethmoidalis oss. palatini 68. cricoidea 94. cthmoidalis maxillae 63. epiphyseos acetabuli 124. ,, frontalis 41. ischiopubica 124. ,, galli 43, 85. marginalis ilii 124. iliaca 120. marginalis pubis 124. ,, " Meckeli 96. infratemporalis 82. " intertrochanterica 126. nasi lateralis 70. ,, lacrimalis posterior 72. septi nasi 71. ;; nasalis maxillae 87. thyreoidea 94. " occipitalis interna 31. Cavitas glenoidalis 100. externa 32. Cavum tympani 54. 2 2 Cellulae ethmoidales 43. sacralis articularis 11. ,, Cellula palatina 43. lateralis 11. Cellulae ethinoidales 81. media 11.

,,

Crista tuberculi majoris 102.
, tympanica 55.

#### D.

Darmbein 121.

Dens epistrophei 7.

Diaphragma 210.

Discus articularis 158, 160, 172.

Dorsum sellae 35.

Dreieckiges Bein 116.

Ductus nasolaerimalis 79.

### Ē.

Ellbogengelenk 166.
Elle 107.
Eminentia canalis semicircularis sup. 51.
Eminentia carpi radialis 115.
,, ulnaris 115.
,, cruciata 31.
,, iliopectinea 120.

,, intercondyloidea 130 ,, plantaris lateralis 272. ,, ,, medialis 272. Emissarium Santorini 33.

Epicondylus lateralis 102.

,, lateralis femoris 125.

" medialis 102.

,, ,, femoris 125.

Epiphyse des Calcaneus 138. Epiphysen des Femur 126.

> , der *Fibula* 132. , des Hüftbeines 124.

des Hüftbeines 124.
" Humerus 106.

,, ,, os metatarsale. 143.

,, der Phalangen 119.
,, des Radius 110.

,, der Scapula 101. ,, Tibia 131.

", ", Tibia 131.", ", "Ulna 108.

Epistropheus (Kind) 17.

Epistropheus 7. Erbsenbein 116.

Extremitas acromialis 97.

,, sternalis 97. .. sternalis costae 20.

vertebralis costae 20.

#### F.

Facies articularis capituli coctae 21.

,, jihulae 132.

Facies articularis carpea 109.

,, ,, jibularis 129.

,, malleoli lateralis 132

,, ., tubercali costae 21.
,, oss. temporalis 49.

., auricularis 122.

,, lunata 120.

" malleolaris lateralis 136.

,, medialis 136.

,, orbitalis maxillae 62.

,, oss. sphenoid, 35.

" patellaris 125.

" sphenomaxillar is 36.

,, symphyseos 122.

" temporalis 212.

, temporalis oss. sphenoid. 36.

Fascia cruris 269.

lata 268.

" lumbodorsalis 200.

" parotideomasseterica 212.

Fascien der oberen Extremität. 247.

Fascien des Halses 222.

Femur 125.

Fenestra vestibuli 50.

Fersenbein 138.

Fibrocartilago basalis 58.

intervertebralis 145.

navicularis 197.

Fibula 133.

Fissura occipitalis longitudinalis 91.

" orbitalis inferior 60, 79, 82.

. orbitalis superior 35, 79.

,, petrosquamosa 53, 54.

, petrotympanica (Glaseri) 49, 52.

,, pterygoidea 36. ,, sphenooccipitalis 60.

" sphenooccipitalis 60. " squamosomastoidea 54.

,, tympanomastoidea 49.

Fontancllen 89.

Fonticulus frontalis 89.

mastoideus 90.

,, occipitalis 89.

,, sphenoidalis 90.

Foramen caecum 41, 85.

, ethmoidale post. 41, 79.

., ethmoidale ant. 41, 79.

., infraorbitale 62.

.. obturatum 120.

Foramina intervertebralia 4. Foramen intervertebrale oss. sacri 12. ischiadicum maius 176. minus 176. jugulare 57, 60. lacerum 57, 60. mentale 76. mastoideum 51. mandibulare 77. 2 2 ovale 35, 57. opticum 35. occipitale magnum 31. palatinum majus 64. ,, minus 64. parietale 47. rotundum 35. sacrale anterius 10. sphenopalatinum 80, 85. spinosum 35, 57. stylomastoideum 49, 52, 59. transversarium 6. vertebrale 6. zygomaticotemporale 75. zygomaticofaciale 75. Foramina cribrosa 43. sacralia posteriora 11. acetabuli 120, 123. Fossacanina 62. condyloidea 33. coronoidea 102. qlandulae lacrymalis 41. hypophyseos 57. ,, intercondyloidea 126. jugularis 49, 52. infraspinata 99. sacci lacrimalis 72. olecrani 103. pterygopalatina 82. radialis 102. supraspinata 99. ,, subarcuata 53, 54. temporalis 82. trochanterica 126 Fossula fenestrae cochleae 50. Forea capitis femoris 125. costalis inferior 5. .superior 5. ,, transversalis 5. dentis atlantis 6. oralis 268. trochlearis 41, 59.

G.

Galea aponeurotica 212. Gaumenbein 68. Gaumen, harter 64. Glabella 40.

#### H.

Hakenbein 117. Halswirhel 6. Hamulus lacrimalis 72. pterygoideus 36. trochlearis 41. Handwurzelknochen 114. Hiatus canalis facialis 57. maxillaris 63, 84. ossis tympanici 56, 60. sacralis 11. semilunaris 44, 84. tendineus adductorius 252. Hinterhauptbein 31. Hüftbein 121. Hüftgelenk 182. Humerus 102. Hvrtl'sche Strecksehne 256.

#### Ī.

Impressio trigemini 54. Impressiones digitatae 48, 61. Incisura acetabuli 123. clavicularis sterni 26. ethmoidalis 41. ,, fibularis 130. ,, ischiadica major 120. ,, minor 120. jugularis sterni 26. ,, oss. occipitalis 31. mandibularis 76. ,, mastoidea oss. tempor. 49. mastoidea 59. radialis 107. sacrococcygea 10. scapulae 98. semilunaris 107. sphenopalatina oss. palatini 68. supraorbitalis 40. Incisurae costales sterni 26. Incus 96.

### J.

Janetura tendinum 212, 261. Jochbein 75. Juga alreolaria 62. Juga cerebralia 48, 61.

#### K.

Kahnbein 116. Kahnbein des Fusses 139. Keilbein 35. Keilbeine des Fusses 141. Keilbeinhöhle 80. Kiefergelenk 158. Kieferhöhle 80. Kniegelenk 186. Kniescheibe 128. Knochenkerne 144. Kopfbein 117. Kreuzbein 10. Kreuzwirbel 15.

#### L.

Labrum glenoidale 165, 184. Lacertus fibrosus 229. Lamina cribrosa 43, 86. fibrocartilaginea interpubiea 181. lateralis proc. pterygoid. 36. malaris 75. medialis proc. pterygoid. 36. ,, papyracea 43. perpendicularis 43. Lendenwirbel 9. Liq. acromioclaviculare 161. accessorium volare 175. alaria 156. annulure radii 166, 169. apicis dentis 157. ,, arcuatum pubis 181. basium dorsalia 194, 173. ,, plantaria 196. ;; volariu 171. " bifurcatum 194. calcaneocuboideum dorsale 193, 194. ,, plantare 197. calcaneotibulare 193. ,, calcaneonaviculare plantare 197. ,, capitulorum 175.

capituli costae interarticulare 150.

tibulae 185. .

,,

,,

,,

costae radiatum 150.

Lig. capituli metatavsi plantare 198. carpi dorsale 212. carpometacarpea dorsalia 173. carpi radiatum 171. transversum 238. collaterale carpi radiale 173. ulnare 173. fibulare 191. radiale 166. tibiale 191. ulnare 166. ,, colli costae 149. conoideum 161. coracoaeromiale 161. coracolumerale 163. costotransversarium ant. 150. costoxiphoideum 152. cruciata 189. eruciatum 156. cruciatum cruris 255. cuboideonaviculare dorsale 193. deltoideum 193. flavum 147. fundiforme 256. hyothyreoideum laterale 94. iliofemorale (Bertini) 182. iliolumbale 178. inguinale (Pouparti) 268. intercarpea dorsalia 173. ,, intercostale externum 152. interclariculare 160. interspinale 148. longitudinale anterius 145. ,, posterius 145. malleoli lateralis anterius 193 ٠, posterius 193. ; ; menisci lateralis Roberti 191. 3.7 naviculocunciforme plantare 197. nuchae 148. , , patellae 187. pisohamatum 171. pisometacarpeum 171. plantare longum 196, 194. popliteum obliquum 190. pubicum superius 179. radiocarpeum dorsale 173. volare 172. ,, sacrococcygeum post, superfic, 178. anterius. 179. ,, post. prof. 178 sacrotuberosum 176. sacroiliaca interessea 180. ,, posteriora 178.

Manubrium sterni 26.

Margo frontalis oss. sphenoid. 35.

1: 170	11
Lig. sacroiliacum anterius 179.	Margo frontalis 47.
,, sacrospinosum 176.	,, occipitalis 47.
,, sphenomandibulare 159.	,, sagittalis 47.
,, sternoclaviculare 160 sternocostale interarticulare 151.	,, squamosus 47.
n	,, infraorbitalis 62.
,, sternocostalia radiata 151.	,, liber conchae nasalis inf. 73.
,, stylohoideum 94.	,, axillaris scapulae 98.
,, stylomandibulare 159.	,, superior ,, 98.
,, supraspinale 148.	,, supraorbitalis 40.
,, talocalcaneum anterius 193.	,, vertebralis scapulae 98.
,, interosseum 193.	,, zygomaticus oss. sphenoid. 36.
,, posterius 193.	Massa lateralis atlantis 3.
,, talofibulare anterius 193.	", ", oss. sacri 10.
,, ,, posterius 193.	Maxilla 29, 62.
,, talonaviculare dorsale 194.	Meatus narium 83.
,, tarsometatarsea plantaria 197.	,, nasi superior 44.
,, tarsometatarseum dorsale 194.	Membrana atlantooccipitalis anterior 153.
,, temporoman dibulare~158.	,, posterior 154.
,, teres femoris 184.	,, hyothyreoidea 94.
" transrersum 156.	,, interossea antibrachii 235.
,, $atlantis$ 6, 156.	,, interessea cruris 191.
,, $,,$ $genu~192.$	,, mucosa oris 94.
,, scapulae superius 162.	,, obturatoria 179.
,, trapezoideum 161.	,, tectoria 155.
,, tuberculi costae 149.	Meniscus lateralis 191.
Linea alba 209.	,, medialis 191.
,, arcuata 122.	Mittelfussknochen 142.
,, aspera 126.	Mittelhandknochen 118.
,, glutaea anterior 121.	Mondbein 116.
,, ,, inferior 121.	Musculi abductores femoris 252.
,, ,, posterior 121.	77: 050
,, intertrochanterica 125.	t
", mylohyoidea 77.	interconsi 999 907
,, nuchae inferior 32.	interessing Lea 201
,, ,, superior 32.	intentagnon manniti and 901
alliana mandilulaa 76	1 901
nating 196	7
monlitor tilian 120	11
aminimalania (Danglasi) 207	,, lumbricales 237, 260.
	Musculus abductor digiti V. 237, 260.
tomer and the interior A7	,, ,, hallucis 260.
22422000 47	,, ,, pollicis breris 207.
., ,, superior 41. Lingula mandibulae 77.	,, ,, longus 241.
7 : 1. 1:- 9.5	,, adductor hallucis 265.
" sphenouaus 55.	,, anconaeus 230, 240.
7-	,, auricularis anterior 212.
M.	" " posterior 212.
	" superior 212.
Malleolus lateralis 132.	,, biceps 229.
" medialis 129.	", ", femoris 253.
Malleus 96.	, brachialis 229.
Mandibula 30, 76.	,, brachioradialis 233.
Manual mineral estatusi QC	7 010

buccinator 213.

caninus 213.

Musculu	s ciliaris 212.	Musculu	s mylohyoidens 217.
,,	coracobrachialis 229.	, , ,	nasalis 213.
11	corrugator supercilii 213.	1)	obliquus abdominis externus 205,
,,	ovemaster 206.	,,	,, internas 206.
,,	ericothyrcoideus 218.	,,	,, capitis inferior 201.
,,	deltoideus 227.	,,	,, superior 201.
,,	digastricus 217.	,,	obturator externas 219.
,,	extensor carpi radialis brevis 240.	,,	,, internus 219.
,,	,, ,, ,, longus 240.	,,	occipitalis 212.
	,, ,, ulnaris 210.	,,	omohyoidens 217.
,,	,, digiti 1 240.	,,	opponens digiti 1° 237.
	digitorum brevis 956	,,	" pollicis 238.
,,	communic 940	,,	orbicularis oculi 212.
,,	Lorans 955	,,	,, oris 212.
17	hallynia langue 955	,,	palmaris brevis 232, 236.
"	indiaie monnine 910	,,	,, longus 232.
	nallinia Irania 9.11	,,	pectineus 251.
1,	Janaua 9.11	11	pectoralis major 225.
,,	flexor carpi ulnaris 232.	11	", minor 226.
,,	agami vadialie 939	,,	peronacus brevis 255, 259.
٠,	Jiniti II 900	,,	,, longus 255, 259.
,,	divitanian lavaria 260	,,	,, tertins 286.
"	Lightanna Langua 950	1,	piriformis 249.
,,	Linitary Santagardin 921	,,	plantaris 257.
,,	entitimie 933	,,	popliteus 259.
,,	hullunia Imaria 960 965	,,	procerus 213.
17	Louisius 950	,,	pronator quadratus 235.
"	mullinia Incomia 927	",	$\frac{1}{1}$ ,, $\frac{1}{teres}$ 232, 235.
"	$t_{corars} = 9.34$	,,	psoas major 251.
",		,,	minor 251.
7.7	frontalis 212. gastrocnemius 257.	,,	pterygoideus externus 215.
,,	genioglossus 221.	,,	,, internus 215.
"	geniohyoideus 221.	,,	pyramidalis 205.
"	glossopalatinus 221.		quadratus femoris 250.
17	glutaeus maximus 248.	,,	,, labii inferioris 212.
,1		,,	aussanian 119
;;	·· 050	,,	,, ,, supertor 212. ,, lumborum 203, 210.
"	gracilis 251.	,,	" plantae 262.
,,	hyoglossus 221, 217.	,,,	rectus abdominis 205.
,,	iliacus 251.	17	,, capitis auterior 220.
,,	iliocostalis 202.	"	,, ,, lateralis 204, 220.
"	iliopsoas 251.	17	,, ,, post. min w 204.
: ,	intraspinatus 228.	,,	aurien 201
,,	latissimus dorsi 223.	,,	d mania 251
17	levator scapulae 200, 224.	,,	rhomboideus major 200, 224.
, ,	lingualis 221.	,,	minar 200 221
"		"	risorius 212.
"	longissimus dorsi 202. ,, capitis 202.	,,	sacrospinalis 202.
٠,	" anniaia 909	,,	sacrospinatis 202. sartorius 251.
"		"	scalenus anterior 220.
,,	longus colli 220.	,,	. 1 220
,,	" capitis 220.	"	mustavina 990
17	masseter 213. multifidus 203.	17	semimembranosus 253.
• •	mangans 200.	2.9	otherwine and and

Musculus semispinalis capitis 202. Os capitatum 117. semispinalis cervicis 203. coxae 121. ,, dorsi 203. coccygis 13. semitendinosus 253. cuneiforme 141. ,, serratus anterior 201, 205, 226. cuboideum 140. posterior inferior 200. ethmoidale 39, 43. superior 201. frontale 29, 40. 22 soleus 258. hamatum 117. ,, spinalis dorsi 202. huoideum 93. splenius capitis et cervicis 200. ilium 121, 124. sternocleidomastoideus 217. incisivum 65. sternohyoideus 217. interparietale 34. ,, ischii 121. sternothyreoideus 217. styloglossus 221. lacrimale 29, 72. stylohyoideus 217. lunatum 116. stylopharyngeus 218. metacarpale 119. 11 subclavius 226. multangulum majus 117. subscapularis 230. minus 117. ,, supinator 235. nasale 29, 69. supraspinatus 228. naviculare 116. temporalis 214. naviculare pedis 139. tensor fasciae latae 251. occipitale 31. teres major 228. palatinum 68. minor 228. parietale 30, 47. thyreohyoideus 218. pisiforme 116. pubis 121. thyrcopharyngeus 217. ,, tibialis anterior 255. sacrum 3, 10. posterior 259. sesamoideum 199. 22 sphenoidale 35. transversus abdominis 207. thoracis 208. temporale 49. trapezius 223. trigonum 137. triangularis 212. triquetrum 116. 22 triceps 230. " zygomaticum 29, 75. Ossa carpi 114. vastus 251. zygomaticus 212. metatarsalia 142. Ossicula suturarum 48. Ossiculum centrale 113. N. Ostium maxillare 63.

Nahtknochen 92. Nasenbein 69. Nasenhöhle 80. Nasenmuschel 73. Nasenscheidewand 88. Nucleus pulposus fibrocart, intervert, 146.

#### 0.

Oberarmbein 102. Oberkieferbein 62. Oberschenkelbein 125. Olecranon 107. Orbita 76.

## Ρ.

Pacchionische Gruben 48.

Palatum durum 65.

Pars anterior oss. sphenoidalis 39.

, basilaris 31.

, horizontalis oss. palatini 68.

, lateralis oss. occipitalis 60.

, mastoidea oss. temporalis 49.

, mastoidea squamae temporal. 55.

, perpendicularis oss. palatini 68.

, petrosa oss. temporalis 49.

, posterior oss. sphenoidalis 39.

, tympanica oss. temporal. 50.

Patella 128.	Processus .ygomaticus maxillar 62.	
Paukenhöhle 96.	,, ass. temporal, 50.	
Pecten ossis pubis 123.	Promontorium 3, 12.	
Pflugscharbein 74.	Promontorium der Trommelhöhle 54.	
Phalangen der Hand 119.	Protubevantia mentalis 29, 76,	
Planum popliteum 126.	,, occipitalis externa 32.	
Platysma 216.	., interna 31, 57.	
Plicae alares 188.		
Plica synorialis patellaris 188.	-	
Porus acusticus externus 30, 49, 51.	$\mathbf{R}_{\cdot}$	
Internal 51 59 57	D 21 4000	
	Radius 109.	
Processus accessorius 8 alveolaris 63.	Ramus inferior oss. ischii 124.	
antiquitania inferior e	., inferior oss. pubis 121.	
., articularis inferior 8.	,, superior oss. ischii 121.	
,, ,, superior 8. ,, ,, anterius 35.	,, superior oss. pubis 121.	
antique 35	Recessus epitympanicus 55.	
12 9.5	,, sacciformis 171.	
mosterior 35	,, sphenoethmoidalis 83.	
condulardone 76	Retinacula patellar 187. Rippe 20.	
enstavins 9	Rippen, falsche 25.	
coracuidens 98	1 - 27	
ulnae 107	,, wante 25. Rostrum sphenoidale 36.	
,, coronoideus mandibulae 76.	The state of the s	
,, ethmoidalis conch. nas. 84.		
,, frontalis maxillae 62.	S.	
,, frontosphenoidalis 75.		
,, jugularis oss. occipitalis 31.	Scapula 93.	
., lacrimalis conchae nas. inf. 73.	Schädel 29.	
,. mammillaris 8.	Schambein 121.	
,, marginalis 75.	Scheitelbein 47.	
,, mastoideus 50.	Schienbein 129.	
,, maxillaris oss. zygomatici 75.	Schläfenbein 49.	
,, ,, lacrimalis 72.	Schläfengrube 82.	
,, conch. nas. inf. 73.	Schlüsselbein 97.	
,, orbitalis oss. palatini 68, 79.	Schultergelenk 162.	
., palatinus 63.	Schulterblatt 98.	
,, pyramidalis oss. palatini 60, 68.	Sehnenscheiden 245.	
., pterygoideus 35.	Semicanalis musculotubarius 50.	
,, sphenoidalis oss. palatini 68.	Septum nasi 88.	
,, spinosus 5.	., sinuum sphenoidalium 86. Siebbein 43.	
,, styloideus 50, 94. ,, styloideus radii 109.	Siebbeinlabyrinth 43.	
when 107	Siebbeinzellen S1.	
cumpagondaloidene 105	Sinus frontalis 41, 85.	
,, supracondyloideus 105. ,, transversus 5.	1 maillania Highwayi (2 50)	
	7 * 7 7* - 9.5 .5	
temmonalia aga comanut 75	,, sphenoutaus 58, 85. ,. tarsi 134.	
tumnaviene autorior 55	Sitzbein 121.	
mainatus 11 16 81 85	Speiche 109.	
,, xiphoideus sterni 26.	Spina angularis 37.	
,, zygomaticus oss. frontalis 40.	frontalis 40.	
,. 00	•	

Spina iliaca anterior inferior 120. ,, ,, ,, superior 120. ,, ,, posterior inferior 120. ,, ,, superior 120. ,, ischiadica 120.	Sutura occipitalis transversa 34. " petrososquamosa 54. Symphysis ossium pubis 181. Synchondrosis intersphenoidalis 88. " sphenooccipitalis 31, 88.		
,, mentalis 77.			
,, nasalis anterior 62.			
,, ,, posterior 68.	TT.		
,, ,, scapulae 99.	Т.		
,, supra meatum 49.			
,, trochlearis 81.	Talus 136.		
Sprungbein 136.	Tegmen tympani 54.		
Sprunggelenk 193.	Tendo calcaneus (Achillis) 257.		
Squama frontalis 40.	Tendo m. peronaei longi 266.		
,, occipitalis 30.	Thränenbein 72.		
Stapes 96.	$T_{i}bia$ 129.		
Steissbein 13.	Tractus iliotibialis 248.		
Sternum 26.	Trigonum Petiti 223.		
Stirnbein 40.	Trochanter major 125.		
Sulcus arteriosus 48.	minor 125.		
7	Trochlea humeri 102.		
" amotiona 95	,, tali 136.		
" asstan 90	Tuba auditiva 88.		
othmoidalis ass nasalis 69	Tuber calcanei 138.		
in financiality in 70	,, frontale 40.		
intentul marlunia 102	,, ischiadicum 120.		
La mini alia manillas 69	,, parietale 47.		
ose lacrimalis 79	Tuberculum anterius 6.		
,, m. flexoris hallucis long. 197.	atlantie 6		
malloclavia 120	antiquiana AO		
m managai 140	agnoticum 2 7		
	acutae 91		
,, m. poplitei 125.	laterale muc nost tali 131		
,, mylohyoideus 77. ,, n. optici 35.	infraglancidale 98		
" a almania 102	mains 109		
Atunatoring 190	minue 109		
notroeve interior 31	maeterine 6		
	noctovine atlantic 6		
motionia gamerica 51	mulicum 190		
ntanagan alatinua 68	and ani (Lietvanai) 22		
annittulia 91	2011 00 25		
sign sidena can temperalia 51	eumantervilate 100		
#all: 190	Tuberositas costae secundae 23.		
turan an energy 9.1	Jultaidea 109		
to Landau ditional 27			
7.7	,, glutaca 126. ,, iliaca 122.		
,, tympanicus 55.	,, ittaca 122. ,, infraglenoidalis 98.		
Sustentaculum tali 137.	maxillaris 62.		
Sutura coronalis 61.	,, maxiliaris 62. ossis cuboidei 140.		
,, incisiva 63, 65.	oss. navicularis 139.		
,. internasalis 69.	7,1		
,, lambdoidea 61.	,, radii 109.		
,, mendosa 91.	,, tibiae 129.		
,, nasofrontalis 69.	,, ulnae 107.		

U.

Ulna 107. Unterkiefer 76.

V.

Vagina fibrosa m. recti abdominis 205.
Vaginae tendinum 244, 245.
Vertebrae coccygeae 3.
Vertebra lambalis 9.
,, prominens 7.
,, thoracalis I. 8.

Vielwinkeliges Bein, gross 117.

. Fomer 29, 60, 74.

W.

Wadenbein 133. Wirbelsäule 3. Würfelbein 140.

Z

Zahnalveolen 78. Zona orbicularis 183. Zungenhein 93. Zungenbeinapparat 95. Zwerchfell 210. Zwischenkiefernaht 66.

# Corrigenda.

Seite 87, Fig. 106: Apert. nasal. canal. incisie, statt Apert. nasal. foram. incis.
Seite 172, Text, 1 Zeile: Lig. radiocarpeum volure, statt Lig. radiocarpale volure
Seite 174, Fig. 243: Art. radiocarpea, statt Art. brachiocarpea.
Seite 228, Überschrift zu Fig. 303: M. teres major, statt Mm. teres major.
Seite 237, Fig. 313: Mm. lumbricales, statt M. lumbricales.



